

REC

UNIVERSIDADE ESTADUAL DE CAMPINAS
FACULDADE DE ENGENHARIA DE CAMPINAS
DEPARTAMENTO DE ELETROÔNICA & COMUNICAÇÕES

Tese de Mestrado FEE

13

M. Jose

MAPEAMENTO MUNDIAL DE INTENSIDADE
DE CAMPO DE ONDAS DE VLF GERADAS
POR UM TRANSMISSOR TERRESTRE

R.F. SOUZA R.R. SCARABUCCI

Setembro de 1972

04/72

Setembro - 1972
Caixa Postal 1170
13100 - Campinas
fone 2-1001, ramal 40.

BIBLIOTECA DA ÁREA DE ENGENHARIA
UNICAMP

UNICAMP
BIBLIOTECA CENTRAL



A meus pais

AGRADECIMENTOS

Desejo expressar meu agradecimento a todas as pessoas que direta ou indiretamente colaboraram na realização deste trabalho. Em particular sou grato a:

Dr. Rege R. Scarabucci, meu orientador, pela sua assistência, estímulo e inúmeras sugestões em todas as fases deste trabalho.

Dr. Manoel Sobral Jr., Diretor da Faculdade de Engenharia da UEC, por ter propiciado condições favoráveis à execução deste estudo.

Meus colegas Dalton Soares Arantes, Ricardo M. O. Galvão e Alberto Kin Kwei Yin pelo apoio e incentivo.

Dr. Fernando Walter pelo estímulo proporcionado no estudo de Radio-Propagação.

Sra. Sandra Silva e Srt. Ivone Aparecida Onisto pela paciência e boa vontade no trabalho de datilografia.

Setor de Matemática Aplicada (SEMA) do Instituto de Física da USP pelo processamento dos programas no computador IBM/360 modelo 44.

Í N D I C E

I.	Introdução	1
I.1	- Objetivo do trabalho	1
I.2	- Organização do Trabalho	3
I.3	- Conceitos Básicos	3
II.	Teorias e Modelos Utilizados	6
III.1	- Distribuição Eletrônica e Frequência de Colisão na Ionosfera	6
III.1.1	- Baixa Ionosfera	6
III.1.2	- Perfil Eletrônico Equatorial na Alta Ionosfera	6
III.1.3	- Variação Latitudinal do Per- fil Eletrônico	11
III.2	- Campo Magnético Terrestre	15
III.3	- Teoria de Onda Completa	18
III.4	- Teoria de Traçado de Raios	21
III.	Trajeto da Onda de VLF na Alta Ionosfera	23
III.1	- Utilização do Programa de Traçado de Raios	23
III.2	- Resultados do Traçado de Raios	25
IV.	Propagação da Onda de VLF abaixo da Ionosfera e na Baixa Ionosfera	30
IV.1	- Percurso abaixo da Ionosfera	30
IV.1.1	- Distância menor que 1000 Km entre Transmissor e Ponto de Penetração	30
IV.1.2	- Atenuação no Guia Superfície Ter- restre-Baixa Ionosfera	32
IV.2	- Campo da Onda de VLF na Alta Ionosfera	38
IV.3	- Programa de Onda Completa	43
IV.3.1	- Dados Necessários	43
IV.3.2	- Resultados	44
V.	Mapeamento das Intensidades do Campo da Onda de VLF	49
V.1	- Processo Utilizado	49
V.2	- Comparação entre resultados teóricos e experimentais	55
V.3	- Conclusões	63

Apêndice A - Programa de Onda Completa	65
Apêndice B - Programa de Traçado de Raícs	66
Apêndice C - Determinação da Distância entre Dois Pontos da Superfície Terres tre e do Ângulo Azimutal no Trans missor e Receptor	67
Apêndice D - Conversão de Coordenadas Geogrâ- ficas para Magnéticas	69
Referências	70

R E S U M O

Faz-se um estudo da intensidade do campo magnético de uma onda de VLF (17,8 KHz) proveniente da estação NAA localizada em Cutler (USA). Para isso utiliza-se um modelo de ionosfera constituída sómente de eletrons e apresentando uma variação latitudinal da densidade eletrônica. A ausência de ions no modelo utilizado não acarreta modificações apreciáveis nas conclusões obtidas devido à frequência da onda em estudo.

A onda proveniente do transmissor percorre três regiões distintas. Na primeira região, entre transmissor e ponto de penetração na baixa ionosfera, pode-se dividir o problema em duas partes; se a distância entre transmissor e ponto de penetração for maior que 1000 Km, calcula-se a atenuação total sofrida pela onda ao percorrer o guia de onda formado pela superfície terrestre e a borda inferior da baixa ionosfera; se a distância considerada for menor que 1000 Km, pode-se determinar a intensidade do campo magnético da onda admitindo atenuação nula no guia e utilizando-se considerações geométricas. Para a segunda região compreendida entre 50 e 120 Km (regiões D e E da ionosfera) utilizando-se perfis eletrônicos e frequência de colisão obtidos por Deeks (1966), sendo o campo magnético da Terra aproximado por um dipolo centrado. Para a determinação do coeficiente de transmissão nesta região, utiliza-se um programa de onda completa desenvolvido por R.R. Scarabucci (1969). Após atravessar a camada E (acima de 120 Km), a onda proveniente do transmissor segue uma trajetória que pode ser prevista utilizando-se a aproximação WKB, pois o meio nesta região varia lentamente com relação ao comprimento

mento de onda nesta região; usa-se para esta previsão um programa de traçado de raios devido a F. Walter (1969). Faz-se um mapeamento das intensidades de campo magnético da onda válido para o período noturno e supondo a estação NAA transmitindo à meia noite. Finalmente as previsões teóricas são comparadas com alguns dados registrados pelo satélite de órbita polar OGO-4.

I - INTRODUÇÃO

I.1 - Objetivo do Trabalho

A propagação de onda eletromagnética de frequência muito baixa (na faixa de 3 a 30 KHz) sofre pequena atenuação ao per correr o guia de onda formado pela superfície terrestre e a bor da inferior da baixa ionosfera. Além disso, estas ondas podem atravessar a baixa ionosfera e serem guiadas via magnetosfera ao hemisfério terrestre conjugado. Devido a estas características, é possível manter uma comunicação praticamente ininterrupta en tre um transmissor de VLF (Very Low Frequency) e qualquer ponto da superfície da Terra. O estudo deste tipo de onda é importan te na pesquisa da distribuição de partículas carregadas na io nosfera, sincronização remota de relógios padrões, comunicação com submarinos, etc.

As ondas de VLF que penetram na alta ionosfera podem ser medidas por satélites artificiais. Na verdade, grande quantidade de dados de VLF é obtida por meio de satélites. Neste trabalho iremos utilizar alguns dados registrados pelo satélite OGO-4 (Orbital Geophysical Observatory) na comparação entre resultados teóricos e experimentais. O problema a ser estudado po~~de~~de ser colocado na seguinte forma: dado um transmissor de VLF localizado em um ponto determinado sobre a superfície terrestre e irradiando uma potência conhecida, queremos determinar a intensidade do campo magnético da onda no ponto em que se encontra o satélite. O problema poderia ser colocado em uma forma mais geral: dado um transmissor T irradiando certo tipo de sinal e um receptor R onde registramos o sinal recebido, queremos

determinar as propriedades do meio para que sejam satisfeitas as condições de contorno no transmissor e no receptor (Fig. 1).

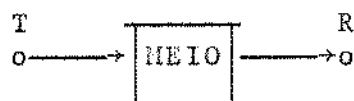


Fig. 1 - Fluxo do Sinal

No caso a ser estudado conhecemos as características do transmissor e do receptor:

Transmissor (T):

- estação NAA localizada em Cutler, Maine (USA)
- frequência: 17,8 KHz
- potência transmitida: 1,0 Mwatt
- polarização vertical da onda irradiada
- localização: latitude geográfica: $44,7^{\circ}\text{N}$
longitude geográfica: $67,3^{\circ}\text{W}$

Receptor (R):

- satélite OGO-4 sintonizado na estação NAA
- período de revolução de ~ 100 minutos
- altitude entre 400 e 900 Km
- inclinação da órbita: 86° (polar)

Como conhecemos o sinal recebido pelo satélite poderíamos pesquisar quais as características que o meio deveria possuir para que acarretasse a mudança observada no sinal. Este problema, entretanto, não apresenta necessariamente, uma única solução. No presente estudo, iremos fixar certas propriedades do

meio e prever teoricamente a intensidade do sinal na região do satélite; em seguida compararemos os resultados teóricos com os experimentais.

I.2 - Organização do Trabalho

O restante do capítulo é dedicado à introdução de conceitos básicos que serão utilizados posteriormente. No capítulo II apresentaremos os modelos de campo magnético terrestre, distribuição eletrônica e frequência de colisão, juntamente com as características principais das duas teorias que irão fazer uso destes modelos: onda completa e traçado de raios. Os resultados do traçado de raios na magnetosfera são apresentados no capítulo III. No capítulo IV é usado extensivamente o programa de onda completa na obtenção dos coeficientes de transmissão e reflexão na baixa ionosfera; introduz-se também neste capítulo o conceito de onda guiada na região entre a Terra e baixa ionosfera. As conclusões e comparações com dados experimentais são apresentadas no capítulo V. Nos apêndices estão as listagens dos principais programas de computador utilizados e, em seguida, as referências bibliográficas.

I.3 - Conceitos Básicos

A ionosfera pela qual se propaga a radiação eletromagnética em estudo pode ser dividida em três regiões com características específicas:

a - região compreendida entre a superfície terrestre e a

altura de 50 Km; características - número de partículas carregadas muito pequeno e que para efeito de radiopropagação pode ser considerada como espaço livre.

b - região compreendida entre 50 e 120 Km (baixa ionosfera); características - apresenta grandes gradientes de densidade de partículas carregadas; corresponde a proximadamente, às camadas D e E da ionosfera; a frequência de colisão dos eletrons com as partículas neutras é importante e será considerada no estudo a ser feito.

c - região acima de 120 Km (alta ionosfera); características - os gradientes da densidade eletrônica são menores que os das regiões D e E, porém a densidade de eletrons não é desprezível; a frequência de colisão entre eletrons e partículas neutras pode ser desprezada.

A ionosfera (acima de 50 Km) é um meio magnetoionico pois além de conter eletrons e diversos tipos de ions, apresenta sobreposto o campo magnético terrestre. Devemos notar que durante o período noturno, devido à ausência de radiação ionizante proveniente do sol, há o desaparecimento da camada D da ionosfera e a região b mencionada acima começa a partir de aproximadamente 70 Km. A distribuição iônica (H^+ , O^+ , H_e^+ , etc) também afeta a propagação de ondas eletromagnéticas através da ionosfera, porém o seu efeito é bem menor que o efeito causado pelos eletrons no caso de VLF; isto está ligado ao fato de os ions pos-

suirem uma massa muito maior que a do eletron e portanto, apresentarem uma maior dificuldade para se deslocarem sob a influência do campo elétrico da onda. Isto ocorre porque a frequência da onda em estudo está acima da mínima frequência híbrida de ressonancia para os ions (LHR). Iremos, portanto, considerar apenas eletrons no estudo a seguir.

No estudo da propagação de ondas eletromagnéticas através da ionosfera, duas propriedades deste meio são fundamentais:

a - distribuição eletrônica

b - campo magnético terrestre

Além disso, a frequência de colisão entre eletrons e partículas neutras é importante na baixa ionosfera. A presença do campo magnético confere ao meio uma anisotropia que acarreta uma bi-refrigênciā do mesmo, caracterizada pela existência de dois índices de refração para uma mesma direção do vetor de propagação.

II - TEORIAS E MODELOS UTILIZADOS

III.1 - Distribuição Eletrônica e Frequência de Colisão na Ionosfera

III.1.1 - Baixa Ionosfera

Iremos, a seguir, considerar a Terra como sendo uma esfera com raio de 6372 Km. Para a densidade eletrônica na baixa ionosfera iremos utilizar os valores deduzidos por Deeks(1966a). O perfil A é apropriado para o período diurno e o perfil B ao noturno (Fig. 2).

A frequência de colisão entre eletrons e partículas neutras na atmosfera (nitrogênio, oxigênio, etc.) é diretamente proporcional à energia do eletron. Deeks (1966b) mostrou que o uso desta frequência de colisão já resultados equivalentes aos obtidos pelo uso de uma frequência de colisão efetiva(Fig.3) baseada em resultados experimentais. Esta será a frequência de colisão utilizada na baixa ionosfera e é válida apenas para ondas de VLF.

Estes três perfis serão necessários como dados de entrada no programa de onda completa desenvolvido por Scarabucci(1969a) que permite a determinação do coeficiente de transmissão e reflexão na baixa ionosfera.

III.1.2 - Perfil Eletrônico Equatorial na Alta Ionosfera

Para esta região adotamos um modelo matemático para a densidade eletrônica baseado no equilíbrio difusivo entre ions de hidrogênio, hélio e oxigênio. Para uma temperatura constante ao longo da linha de força de campo magnético terrestre a densida-

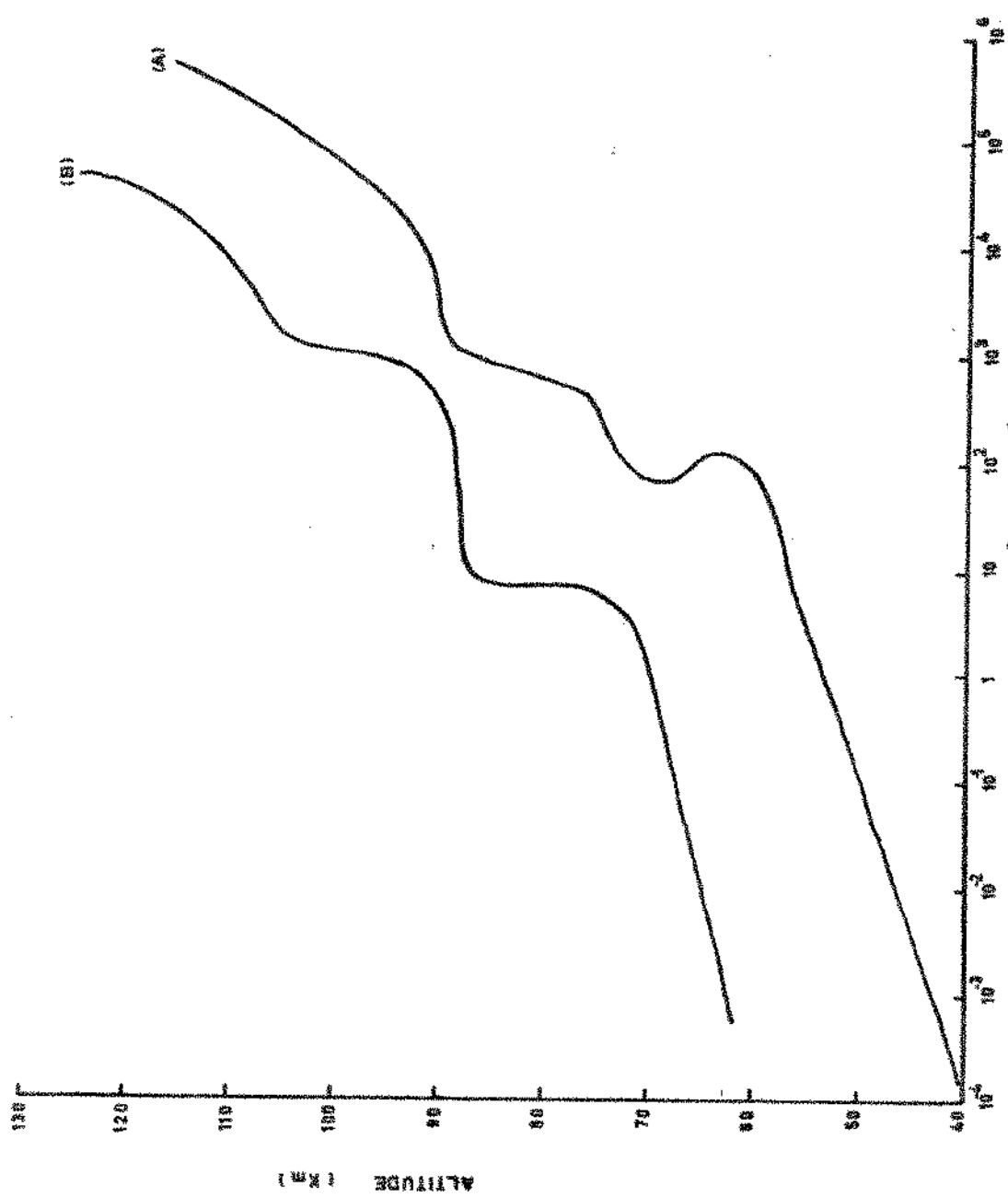


FIG. 2 - PERFIS DA DENSIDADE ELETRÔNICA PARA DIA (A) E NOITE (B)

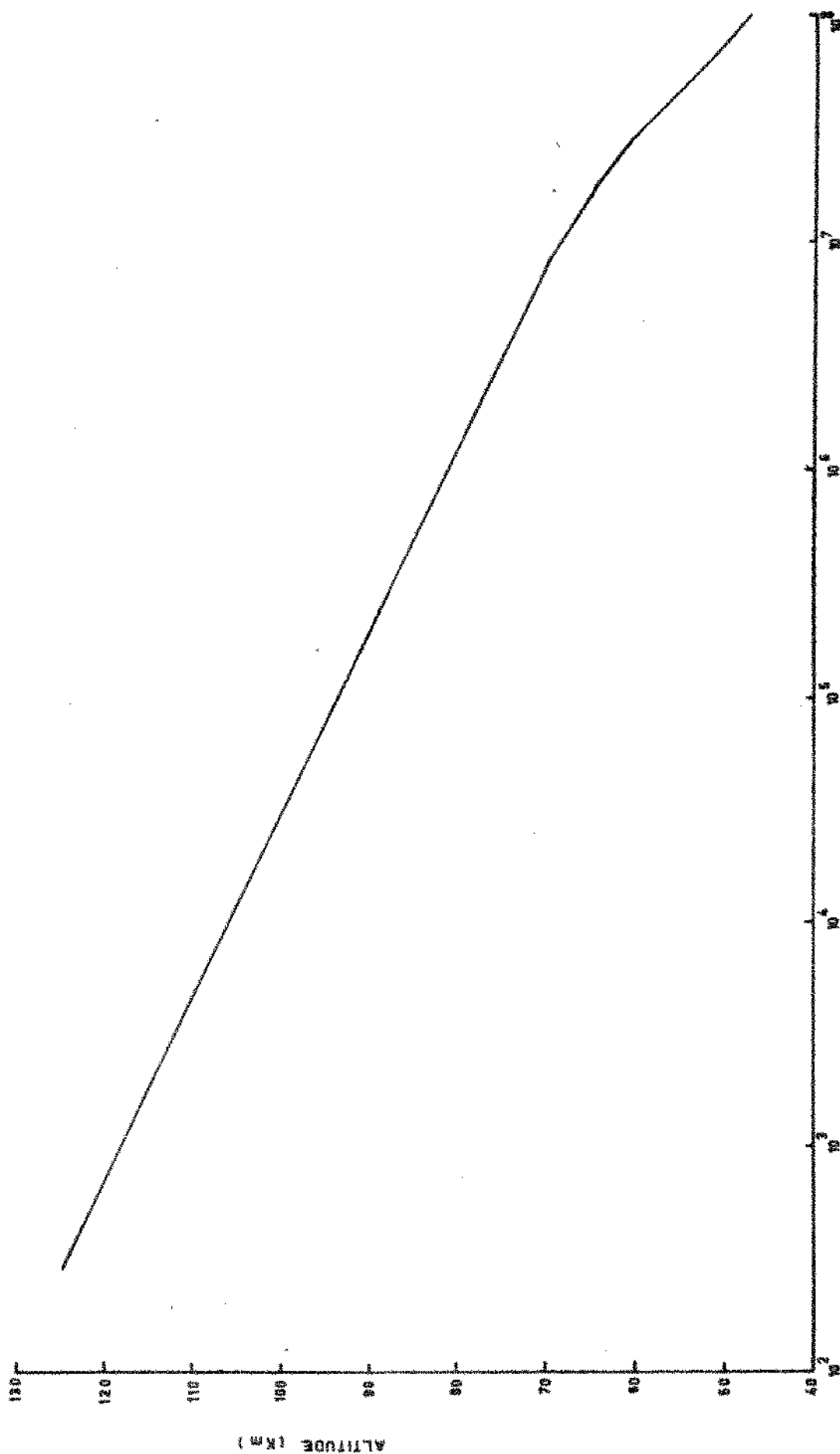


FIG. 3 - VARIACÃO DA FREQUÊNCIA DE COLISÃO COM A ALTITUDE

de eletrônica no equador N_e é dada por (Angerami e Tomas, 1964)

$$N_e(R) = N_B \sqrt{\xi_{O^+} e^{-z/H_{O^+}} + \xi_{He^+} e^{-z/H_{He^+}} + \xi_{H^+} e^{-z/H_{H^+}}} \quad (2.1)$$

onde

ξ_i é a porcentagem do ion i

$$z = R_B \left[1 - \frac{R_B}{R} \right] \quad (2.2)$$

R = distância geocêntrica

R_B = distância geocêntrica tomada como referência (6772 Km)

$H_i = \frac{k \cdot T_i}{m_i \cdot g}$ - escala de altura para o i-ésimo constituinte

$k = 1,372 \times 10^{-16}$ erg/ $^{\circ}$ K - constante de Boltzmann

T_i = temperatura absoluta do i-ésimo constituinte

m_i = massa molecular média do i-ésimo constituinte

g = aceleração local da gravidade

Na altura escolhida como referência ($h_B = 400$ Km), supondo todos os ions com a mesma temperatura, foram utilizados os seguintes valores para as escalas de altura, composição iônica e densidade eletrônica

$$H_{O^+} = 50 \text{ Km} \quad H_{He^+} = 200 \text{ Km} \quad H_{H^+} = 300 \text{ Km}$$

$$\xi_{O^+} = 0,95 \quad \xi_{He^+} = 0,015 \quad \xi_{H^+} = 0,035$$

$$N_B = 10^5 \text{ eletrons/cm}^3$$

O perfil dado pela expressão (2.1) é suporte válido acima de uma certa altitude h_T (menor que h_B) abaixo da qual impomos uma variação gaussiana da concentração eletrônica (Fig. 4) da forma

$$N_G(R) = N_p \cdot e^{-\frac{1}{2} \left(\frac{R-R_p}{\sigma} \right)^2} \quad (2.3)$$

Para obter a concordância entre estes dois perfis (equilíbrio difusivo e gaussiana) devemos impor

$$\left. \begin{array}{l} (i) \quad N_G = N_e \\ (ii) \quad \frac{dN_G}{dR} = \frac{dN_e}{dR} \end{array} \right\} \text{para } h = h_T$$

Para fixar a gaussiana (2.3) impomos um valor para a densidade eletrônica em uma certa altitude. No nosso caso escolhemos esta altitude igual a 120 Km, correspondendo aproximadamente à borda superior da camada E; a densidade de eletrons correspondente designamos por N_{120} (vide Fig. 4).

De (2.2) obtemos:

$$\frac{dz}{dR} = \left(\frac{R_B}{R} \right)^2 \quad (2.4)$$

Derivando (2.1) e utilizando (2.4) resulta:

$$\frac{dN_e}{dR} = -N_B \frac{\xi_{O^+} e^{-z/H_{O^+}} \cdot \frac{1}{H_{O^+}} + \xi_{He^+} e^{-z/H_{He^+}} \cdot \frac{1}{H_{He^+}} + \xi_{H^+} e^{-z/H_{H^+}} \cdot \frac{1}{H_{H^+}}}{\sqrt{\xi_{O^+} e^{-z/H_{O^+}} + \xi_{He^+} e^{-z/H_{He^+}} + \xi_{H^+} e^{-z/H_{H^+}}}} \cdot \left(\frac{R_B}{R} \right)^2 \quad (2.5)$$

Usando a notação

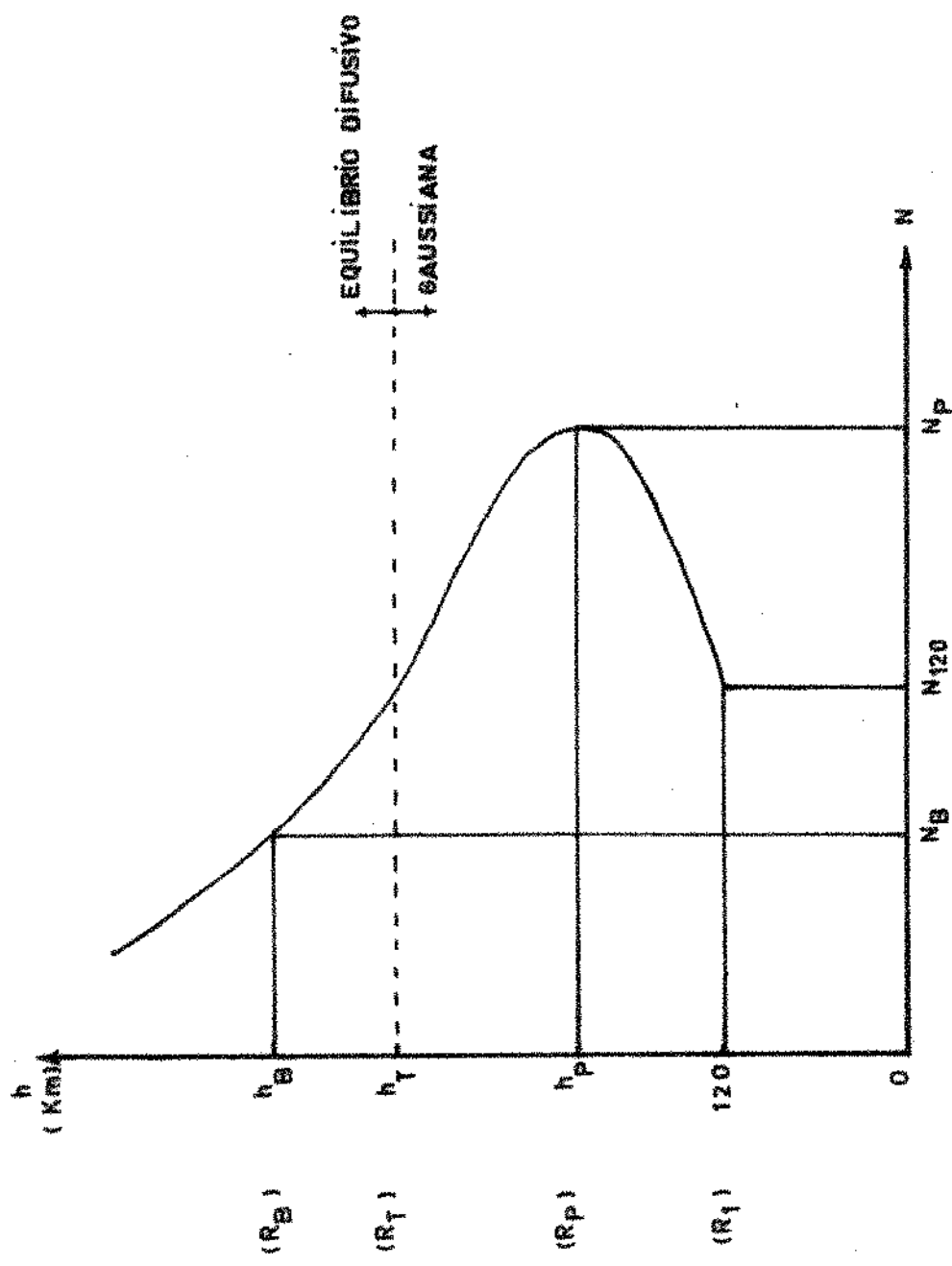


FIG. 4 - VARIAÇÃO DA DENSIDADE DE ELETRONS (N) COM A ALTITUDE (h); R = ALTITUDE GEOCÉNTRICA.

$$S = \frac{1}{N_{H_0^+}} \left\{ \xi_{H_0^+} e^{-z/H_{H_0^+}} + \xi_{He^+} \cdot \frac{e^{-z/H_{He^+}}}{4} + \xi_{H^+} \cdot \frac{e^{-z/H_{H^+}}}{16} \right\} \quad (2.6)$$

podemos reescrever (2.5) na forma

$$\frac{dN_e}{dR} = - \frac{N_B^2 \cdot S}{2 \cdot N_e} \left(\frac{R_B}{R} \right)^2 \quad (2.7)$$

ou

$$\frac{1}{N_e} \cdot \frac{dN_e}{dR} = - \frac{S}{2} \cdot \left[\frac{N_B \cdot R_B}{N_e \cdot R} \right]^2 \quad (2.8)$$

De (2.3) obtemos

$$\frac{dN_G}{dR} = - \frac{[R - R_p]}{\sigma^2} \cdot N_p \cdot e^{-\frac{1}{2} \left(\frac{R - R_p}{\sigma} \right)^2} \quad (2.9)$$

ou

$$\frac{1}{N_G} \cdot \frac{dN_G}{dR} = - \frac{(R - R_p)}{\sigma^2} \quad (2.10)$$

Podemos agora reescrever as condições (i) e (ii) na forma

$$N_p \cdot e^{-\frac{1}{2} \left(\frac{R_T - R_p}{\sigma} \right)^2} = N_e (R_T) \quad (2.11)$$

$$\frac{R_T - R_p}{\sigma^2} = \frac{S}{2} \cdot \left[\frac{N_B \cdot R_B}{N_e (R_T) \cdot R_T} \right]^2 \quad (2.12)$$

e ainda

$$N_{120} = N_p \cdot e^{-\frac{1}{2} \left(\frac{R_1 - R_p}{\sigma} \right)^2} \quad (2.13)$$

Para obter a concordância entre os dois perfis devemos a

gora resolver o sistema formado pelas equações (2.11), (2.12) e (2.13). Para isso iremos fixar a altura em que ocorre a concordância (R_T) e a densidade de eletrons a 120 Km de altura do solo (N_{120}), restando como incógnitas σ , R_p , N_p . Resolvendo o sistema obtemos:

$$\sigma = \frac{\Delta R}{\sqrt{2 \ln \left[\frac{N_e(R_T)}{N_{120}} \right] + S(R_T) \cdot \Delta R \cdot \left[\frac{N_B \cdot R_B}{N_e(R_T) \cdot R_T} \right]^2}} \quad (2.14)$$

$$R_p = R_T - \sigma^2 \cdot \frac{S(R_T)}{2} \cdot \left[\frac{N_B \cdot R_B}{N_e(R_T) \cdot R_T} \right]^2 \quad (2.15)$$

$$N_p = N_e(R_T) \cdot \exp \left\{ + \frac{1}{2} \cdot \left[\frac{R_T - R_p}{\sigma} \right]^2 \right\} \quad (2.16)$$

onde

$$\Delta R = R_T - R_1$$

Nos cálculos foi feito

$$R_T = 6372 + 300 = 6672 \text{ Km}, N_{120} = 10^4 \text{ eletrons/cm}^3$$

Obtemos desta forma

$$\sigma = 56 \text{ Km}, h_p = 268 \text{ Km}, N_p = 3,19 \cdot 10^5 \text{ eletrons/cm}^3$$

e portanto

$$N_G = 3,19 \cdot 10^5 \cdot \exp \left\{ - \frac{1}{2} \left(\frac{h - 268}{56} \right)^2 \right\} \text{eletrons/cm}^3 \quad (2.17)$$

Observar que na expressão acima devemos ter $h > 120$ Km pois abaixo desta altitude a densidade eletrônica utilizada é dada pela Fig. 2. Além disto, h deve ser menor que h_T , pois acima deste valor vale a densidade obtida pela expressão (2.1).

II.1.3 - Variação Latitudinal do Perfil Eletrônico

Se deslocarmos sobre um meridiano magnético conservando a altitude fixa, iremos observar que a densidade de eletrons varia sensivelmente com a latitude. Isto faz com que o perfil apresentado na seção II.1.2 (obtido com valores típicos encontrados no equador) deva ser modulado para latitudes diferentes de zero. Observando as medidas feitas com o uso de satélites artificiais (Reddy e outros, 1967), verificamos que durante o período diurno a densidade eletrônica apresenta um máximo próximo do equador magnético, diminuindo gradativamente até latitudes próximas de 60° (norte ou sul); o mínimo que ocorre nestas latitudes é devido à localização da plasmapausa nesta região; acima destas latitudes (em direção aos polos) a densidade eletrônica aumenta de uma forma bastante irregular. No período noturno o pico da densidade eletrônica ocorre a aproximadamente 30° do equador e o mínimo conserva-se próximo de 60° .

Para pontos localizados fora do equador magnético iremos calcular a densidade eletrônica pela expressão

$$N(R) = N_1(R) \cdot F_N(\Phi_o) \cdot F_H(\Phi_o, R) \quad (2.18)$$

onde $N_1(R)$ é a densidade eletrônica equatorial acima de 120 Km

já obtida na seção II.1.2. F_N e F_H são fatores de modulação da "densidade eletrônica" e da "escala de altura" respectivamente. Designamos por Φ_0 a latitude invariante que caracteriza as linhas de força do campo magnético terrestre. Estas linhas de força podem também serem caracterizadas pelo parâmetro L de McIlwain, valendo a relação (vide Fig. 5)

$$L = \frac{R}{R_E} \cdot \frac{1}{\cos^2 \Phi} = \frac{1}{\cos^2 \Phi_0} \quad (2.19)$$

Temos ainda:

$$\frac{\partial \Phi_0}{\partial R} = \frac{1}{2R \tan \Phi_0} = \frac{1}{2R \sqrt{L-1}} \quad (2.20)$$

$$\frac{\partial \Phi_0}{\partial \Phi} = \frac{\tan \Phi}{\tan \Phi_0} = \frac{\tan \Phi}{\sqrt{L-1}} \quad (2.21)$$

Foi utilizado para o fator modulante F_H a seguinte expressão (Scarabucci, 1969b)

$$F_H = \exp \left\{ \frac{R_1}{2H_0} \left(1 - \frac{R_1}{R} \right) \right\} \cdot \exp \left\{ - \frac{R_1}{2H_0 F} \left(1 - \frac{R_1}{R} \right) \right\} \quad (2.22)$$

Onde foi adotado $R_1 = 6492$ Km, correspondendo à altitude de 120 Km e $H_0 = 850$ Km, representando a escala de altura do hidrogênio no equador e na altitude de 400 Km. Pode-se verificar que F_H não irá influir de maneira apreciável no valor de $N(R)$ para altitudes menores que 1000 Km. O fator F na expressão (2.22) foi feito igual ao fator de modulação F_N . Para a obtenção da expressão analítica para F_N foram aproximadas as variações latitudinais do perfil eletrônico registradas pelos satélites

δ_0 = LATITUDE INVARIANTE
 ϕ = LATITUDE MAGNÉTICA
 Θ = COLATITUDE MAGNÉTICA
 R_E = RAIO DA TERRA (6372 Km)
 L = PARÂMETRO DE MCILWAIN
 N_S = POLOS MAGNÉTICOS

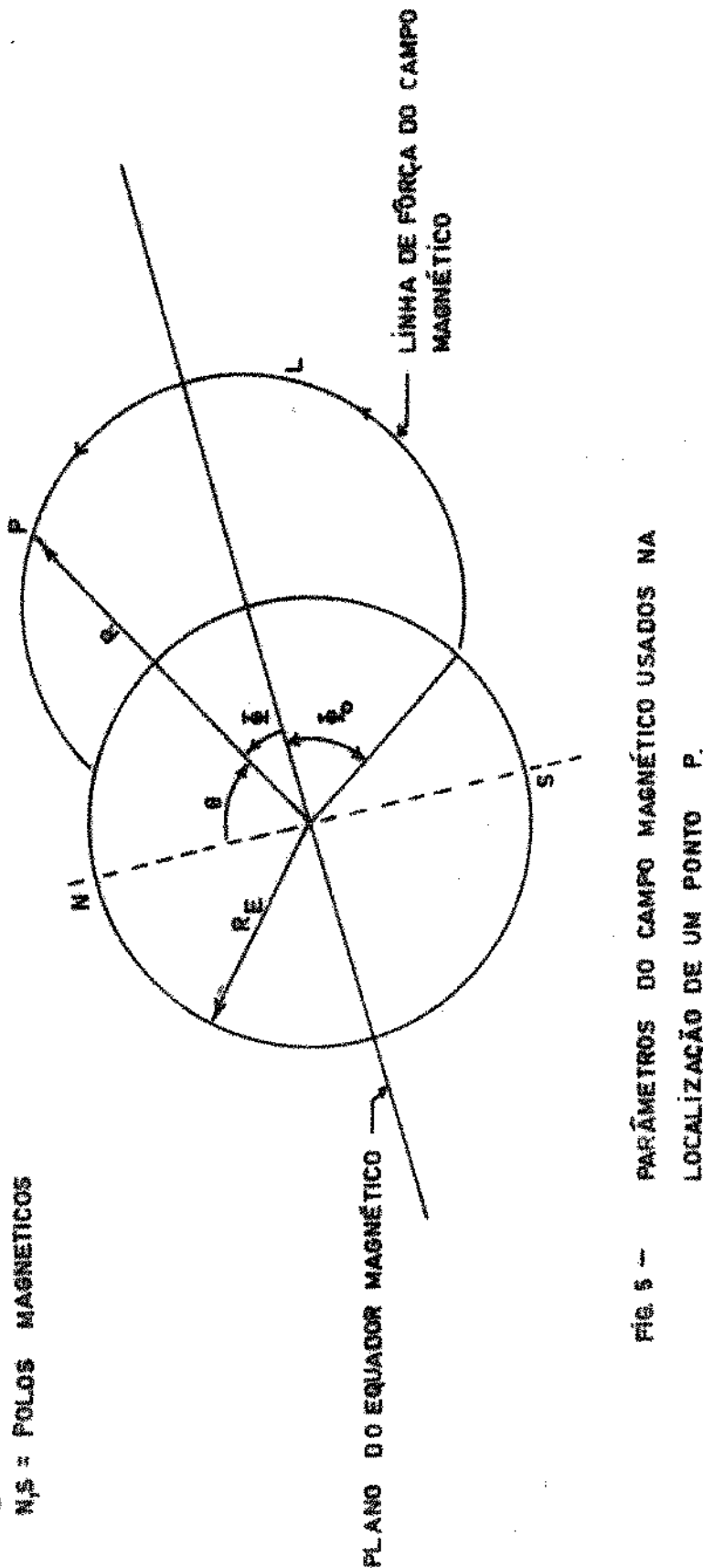


FIG. 5 - PARÂMETROS DO CAMPO MAGNÉTICO USADOS NA LOCALIZAÇÃO DE UM PONTO P.

tes TIROS 7 e EXPLORER 22 (Reddy e outros, 1967). Tomando por base estes dados adotamos as seguintes expressões para F_N (Figs 6 e 7)

$$\text{Dia: } F_N = DD1 + D1 \cdot e^{-\frac{1}{2}(\frac{\Phi_0}{\sigma})^2} \quad (2.23)$$

$$\text{Noite: } F_N = DD1 + D1 \cdot e^{-\frac{1}{2}(\frac{\Phi_0 - \Phi_1}{\sigma_1})^2}, \quad \Phi_0 < \Phi_1 \quad (2.24)$$

$$F_N = DD1 + D1 \cdot e^{-\frac{1}{2}(\frac{\Phi_0 - \Phi_1}{\sigma_2})^2} \quad \Phi_1 < \Phi_0 < \Phi_{e1} \quad (2.25)$$

$$F_N = \alpha - \beta \Phi_0, \quad \Phi_{e1} < \Phi_0 < \Phi_{e2} \quad (2.26)$$

$$F_N = DD2 - D2 \cdot e^{-\frac{1}{2}(\frac{\Phi_0 - \Phi_2}{\sigma_3})^2}, \quad \Phi_{e2} < \Phi_0 < \Phi_2 \quad (2.27)$$

$$F_N = DD2 - D2 \cdot e^{-\frac{1}{2}(\frac{\Phi_0 - \Phi_2}{\sigma_4})^2}, \quad \Phi_0 > \Phi_2 \quad (2.28)$$

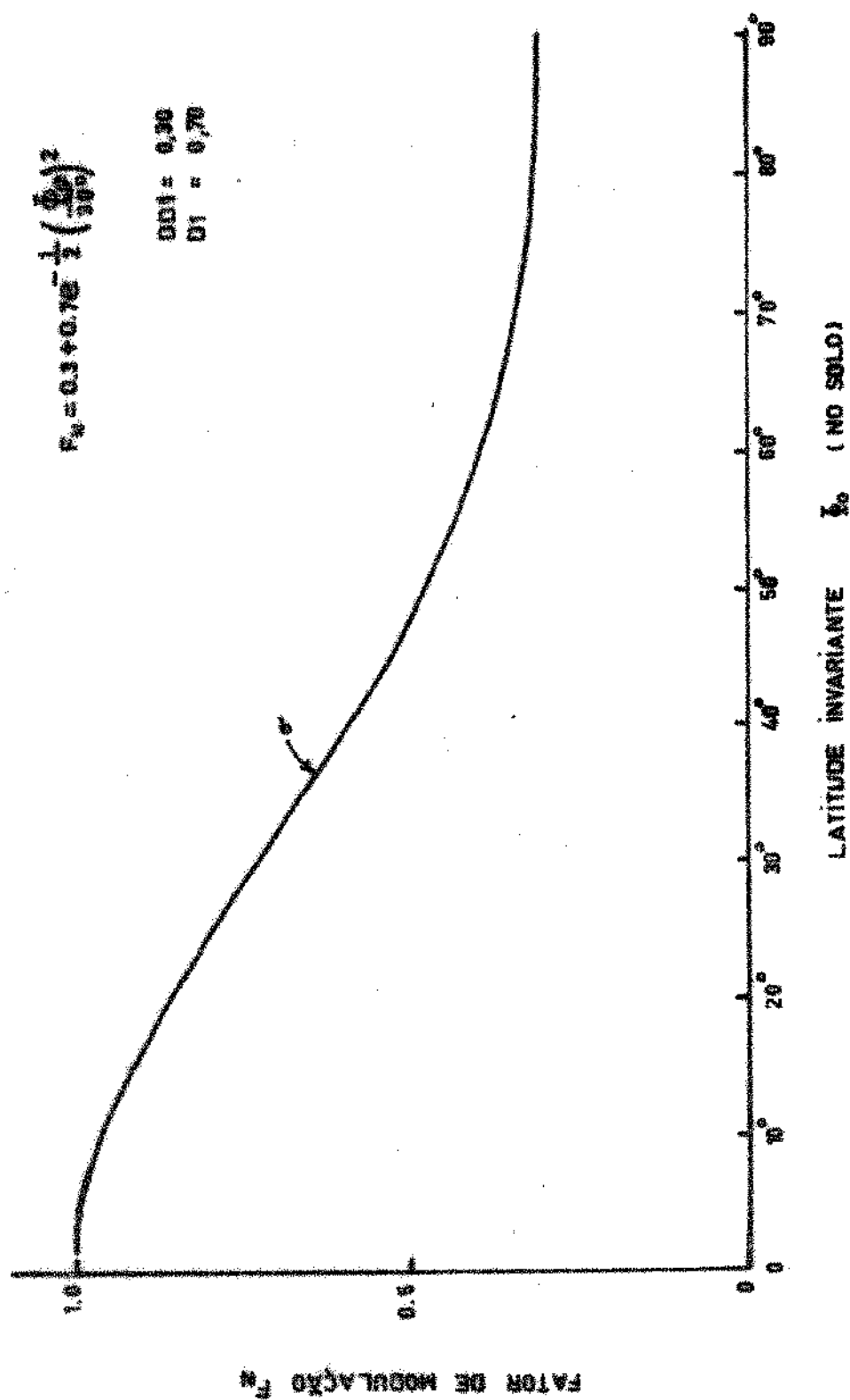
Foram utilizados os seguintes valores numéricos para os parâmetros que aparecem na expressão de F_N :

$$\text{Dia: } DD1 = 0,3 \quad D1 = 0,7 \quad \sigma = 30^\circ$$

$$\begin{array}{llll} \text{Noite: } DD1 = 1,0 & DD2 = 0,8 & \alpha = 2,90 & \beta = 2,29 \\ \sigma_1 = 8^\circ & \sigma_2 = 8^\circ & \sigma_3 = 2^\circ & \sigma_4 = 2^\circ \\ \Phi_1 = 30^\circ & \Phi_2 = 60^\circ & & \end{array}$$

Com estes valores o perfil diurno de F_N fica completamente definido. Porém, para o período noturno (Fig. 7) restam ainda as incógnitas Φ_{e1} , Φ_{e2} , $D1$ e $D2$. Estes valores são determinados

FIG. 6 - VARIACÃO DIURNA DE F_N



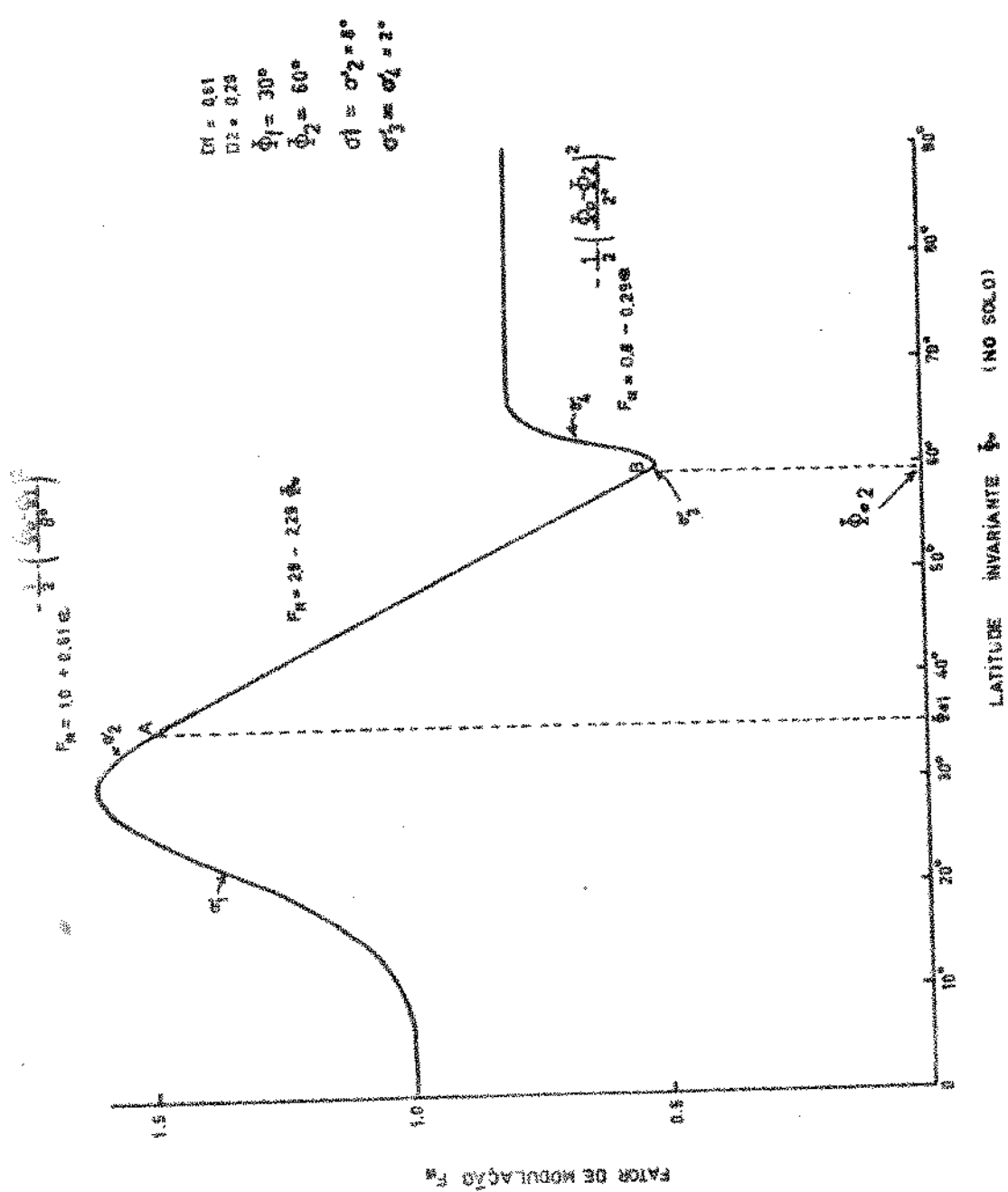


FIG. 7 VARIACAO NOTURNA DE F_n

dos impondo a concordância das duas curvas gaussianas (σ_2 e σ_3) com a reta. No ponto A, em que $\Phi_o = \Phi_{e1}$, supondo conhecidos Φ_1 , α , β , σ_2 e $DD1$, impomos a igualdade das expressões (2.25) e (2.26) e de suas derivadas primeiras. Obtemos deste modo

$$DD1 + D1 . e^{-\frac{1}{2}(\frac{\Phi_{e1}-\Phi_1}{\sigma_2})^2} = \alpha - \beta \Phi_{e1} \quad (2.29)$$

$$-D1 . e^{-\frac{1}{2}(\frac{\Phi_{e1}-\Phi_1}{\sigma_2})^2} \cdot \frac{(\Phi_{e1}-\Phi_1)}{\sigma_2^2} = -\beta \quad (2.30)$$

Fazendo a mudança de variável $x = \frac{\Phi_{e1}-\Phi_1}{\sigma_2}$, podemos reescrever o sistema acima na forma

$$\beta \sigma_2 x^2 - (\alpha - \beta \Phi_1 - DD1)x + \beta \sigma_2 = 0 \quad (2.31)$$

Com o valor de x determinado resolvendo-se a equação (2.31), podemos calcular Φ_{e1} e $D1$

$$\Phi_{e1} = x \cdot \sigma_2 + \Phi_1 \quad (2.32)$$

$$D1 = \frac{\beta \sigma_2}{x} \cdot e^{x^2/2} \quad (2.33)$$

De modo análogo, para concordar as curvas representadas por (2.26) e (2.27) no ponto B ($\Phi_o = \Phi_{e2}$), supomos conhecidos Φ_2 , α , β , σ_3 e $DD2$; devemos, neste caso, satisfazer a equação

$$\beta \sigma_3 x^2 - (\alpha - \beta \Phi_2 - DD2)x + \beta \sigma_3 = 0 \quad (2.34)$$

onde $x = \frac{\Phi_{e2} - \Phi_2}{\sigma_3}$. Obtido x , calculamos Φ_{e2} e D_2 :

$$\Phi_{e2} = x \cdot \sigma_3 + \Phi_2 \quad (2.35)$$

$$D_2 = - \frac{8\sigma_3}{x} \cdot e^{x^2/2} \quad (2.36)$$

Utilizando as exparessões (2.18) e (2.22) podemos deduzir como varia a densidade eletrônica com a altura geocêntrica (R) e com a colatitude magnética (θ). Obtemos:

$$\frac{1}{N} \cdot \frac{\partial N}{\partial R} = \frac{1}{N_1} \cdot \frac{\partial N_1}{\partial R} + \frac{1}{2R\sqrt{L-1}} \left\{ \frac{1}{F_N} \cdot \frac{\partial F_N}{\partial \Phi_0} + \frac{R_1}{2H_0} \left(1 - \frac{R_1}{R} \right) \frac{1}{F^2} \frac{\partial F}{\partial \Phi_0} \right\} + \frac{R_1^2}{2R^2 H_0} \left(1 - \frac{1}{F} \right) \quad (2.37)$$

$$\frac{1}{N} \cdot \frac{\partial N}{\partial \theta} = - \frac{\tan \theta}{\sqrt{L-1}} \left\{ \frac{1}{F_N} \frac{\partial F_N}{\partial \Phi_0} + \frac{R_1}{2H_0} \left(1 - \frac{R_1}{R} \right) \frac{1}{F^2} \cdot \frac{\partial F}{\partial \Phi_0} \right\} \quad (2.38)$$

Nas figuras 6 e 7 indicamos os valores de σ correspondentes às várias curvas gaussianas que são usadas no perfil de F_N , além dos valores numéricos utilizados. Devemos observar que estas curvas para F_N impõem uma distribuição de densidade eletrônica simétrica com relação ao equador magnético. Este modelo utilizado aproxima-se do valor correto principalmente quando o Sol encontra-se no plano do equador magnético.

II.2 - Campo Magnético Terrestre

Em uma primeira aproximação, o campo magnético da Terra é

dado por um dipolo que passa pelo seu centro e cujo eixo corta a superfície terrestre em dois pontos chamados polos magnéticos. O polo magnético S situado no hemisfério sul geográfico (Fig.8) possui coordenadas geográficas $78,3^{\circ}\text{S}$, 111°E e será referido como polo sul do dipolo; o polo norte magnético N possui coordenadas $78,3^{\circ}\text{N}$, 69°W . O plano que passa pelo centro da Terra e é perpendicular ao eixo do dipolo é chamado plano equatorial do dipolo e o círculo formado pela intersecção deste plano com a esfera terrestre é chamado equador magnético devido ao dipolo. Os semicírculos unindo N e S são chamados meridianos magnéticos; o meridiano magnético que passa pelo polo sul geográfico é escondido como longitude magnética zero. Para obter as coordenadas de um ponto relativas ao dipolo (latitude Φ e longitude Λ) a partir das coordenadas geográficas correspondentes (latitude ϕ e longitude λ) usamos as relações (K.Davies, 1965)

$$\sin\Phi = \sin\phi \cdot \sin\phi_0 + \cos\phi \cdot \cos\phi_0 \cdot \cos(\lambda - \lambda_0) \quad (2.39)$$

$$\sin\Lambda = \frac{\cos\phi \cdot \sin(\lambda - \lambda_0)}{\cos\Phi} \quad (2.40)$$

onde ϕ_0 e λ_0 são a latitude e longitude geográficas do polo norte magnético respectivamente ($\phi_0 = -78,3^{\circ}$, $\lambda_0 = -69^{\circ}$). Se desejarmos transformar as coordenadas magnéticas para geográficas usamos

$$\sin\phi = \sin\Phi \cdot \sin\phi_0 + \cos\Phi \cdot \cos\phi_0 \cdot \cos(\Lambda - \Lambda_0) \quad (2.41)$$

juntamente com (2.40), que pode ser escrita na forma

$$\text{sen}(\lambda - \lambda_0) = \frac{\text{sen}\Lambda \cdot \cos\phi}{\cos\psi} \quad (2.42)$$

onde $\phi_0 = 78,3^\circ$, $\Lambda_0 = 180^\circ$ são as coordenadas magnéticas do polo norte geográfico.

Na Fig. 8 indicamos os meridianos e paralelos correspondentes a longitudes e latitudes iguais a zero. Os pontos NG e SG representam o polo norte e sul geográficos respectivamente.

Supondo a aproximação do dipolo, existe uma relação simples entre o ângulo de inclinação magnética (DIP) e a latitude magnética

$$\tan(\text{DIP}) = 2 \cdot \tan\phi \quad (2.43)$$

A girofrequência f_H em um ponto genérico da ionosfera pode ser expressa na forma

$$f_H = f_{H_0} \cdot \left(\frac{R_E}{R}\right)^3 \cdot \sqrt{1 + 3 \cdot \text{sen}^2\phi} \quad (2.44)$$

onde f_{H_0} = girofrequência na superfície da Terra e no equador magnético

R_E = raio da Terra ($= 6372$ km)

R = distância geocêntrica do ponto em questão

ϕ = latitude magnética do ponto

Valores típicos de f_H a 100 km de altitude (K.Davies, 1965) variaram entre 700 KHz e 1,7 MHz para latitudes magnéticas entre equador e polos.

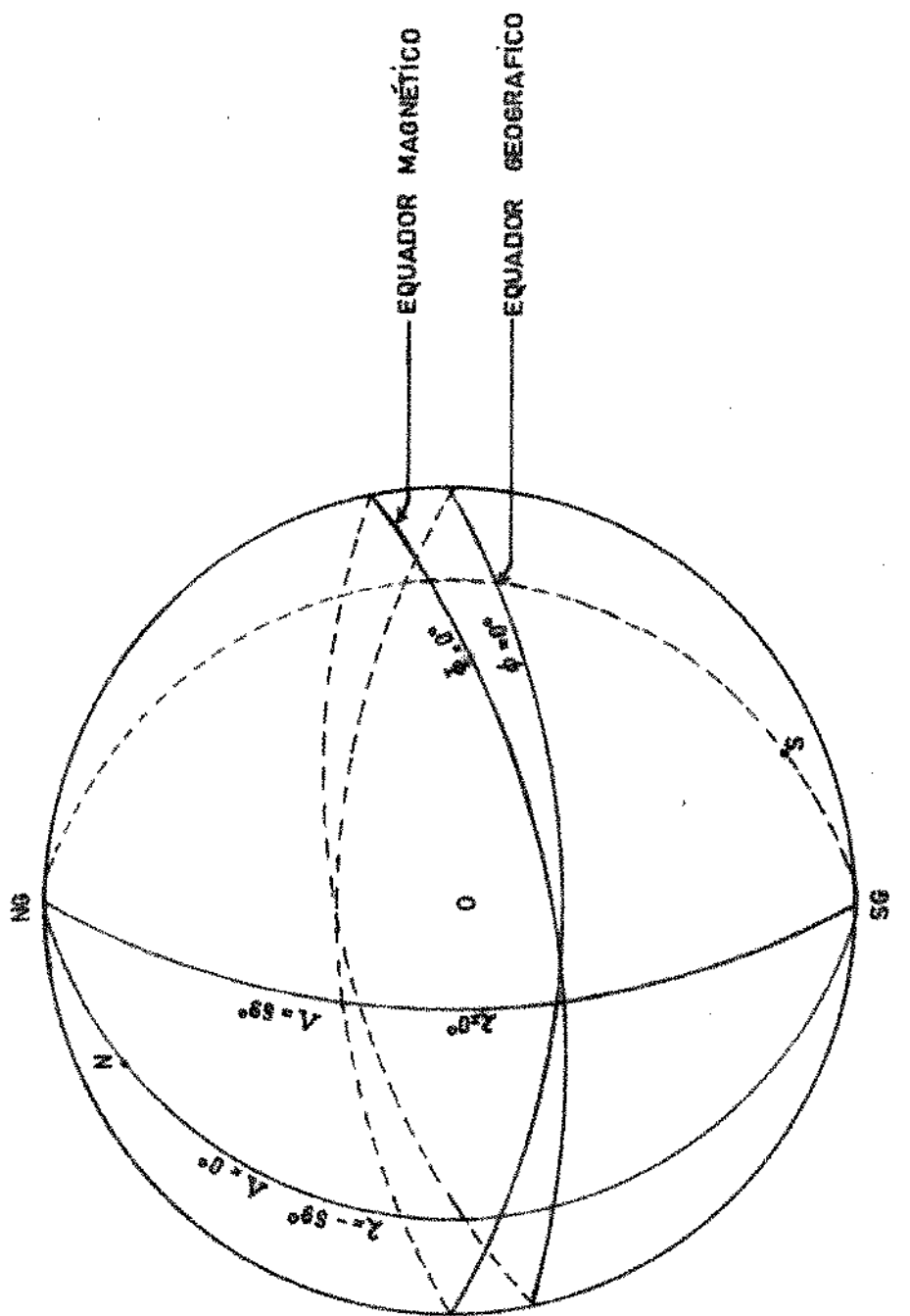


FIG. 8 - COORDENADAS GEOGRÁFICAS E MAGNÉTICAS (APROXIMAÇÃO
DO DÍPOLO CENTRADO)

II.3 - Teoria de Onda Completa

Na baixa ionosfera o meio (densidade eletrônica e frequência de colisão) varia consideravelmente em distâncias comparáveis ao comprimento de onda local da radiação de VLF. Devido a este fato certas aproximações (tal como WKB) não podem ser usadas e torna-se necessário a construção dos campos eletromagnéticos ponto a ponto na ionosfera. A derivação das equações de onda para este caso foi feita por Scarabucci (1969a), levando aos resultados expostos abaixo.

Para a obtenção da equação da onda foi utilizado o sistema de referência indicado na Fig.9, onde: as estratificações do meio são paralelas ao plano xy, o eixo z está na direção vertical, o eixo y aponta para o norte, I é o ângulo de incidência (entre o vetor de propagação \vec{k} e a vertical), o campo magnético terrestre B_0 está no plano yz formando um ângulo de inclinação magnética DIP com o eixo y. A projeção do vetor de propagação no plano xy (OA na Fig. 9) forma um ângulo azimutal χ com o eixo y. O sentido positivo dos ângulos está indicado na figura. O plano kz é chamado plano de incidência.

Usando o sistema descrito acima, obtém-se o seguinte sistema de equações diferenciais que governa a propagação da onda

$$\frac{d\hat{\mathbf{e}}}{dz} = - jk\tilde{T}\cdot\hat{\mathbf{e}} \quad (2.45)$$

onde $\hat{\mathbf{e}}$ é o vetor coluna

$$\vec{e} = \begin{bmatrix} E_x \\ -E_y \\ Z_0 H_x \\ Z_0 H_y \end{bmatrix} \quad (2.46)$$

Z_0 é a impedância característica do espaço livre ($= 120 \pi \Omega$), k é a constante de propagação no espaço livre ($k = \frac{\omega}{c}$) e \tilde{T} é uma matriz 4×4 que depende do meio e da direção de propagação da onda. Para o caso considerado em que o meio contém apenas eletrons como partícula ionizada, temos para os elementos desta matriz as expressões:

$T_{11} = j\ell XU\gamma Y/b$ $T_{12} = \ell XY\xi Y^2/b$ $T_{13} = \ell mU(U^2 - Y^2)/b$ $T_{14} = 1 - \ell^2 U(U^2 - Y^2)/b$	$T_{21} = -jmXU\gamma Y/b$ $T_{22} = -mXY\xi Y^2/b$ $T_{23} = 1 - m^2 U(U^2 - Y^2)/b$ $T_{24} = T_{13}$
$T_{31} = -ml - jX\xi Y(U-X)/b$ $T_{32} = 1 - \ell^2 - [XU(U-X) - XY^2 Y^2]/b$ $T_{33} = T_{22}$ $T_{34} = T_{12}$	$T_{41} = 1 - m^2 - XU(U-X)/b$ $T_{42} = -\ell m + jX\xi Y(U-X)/b$ $T_{43} = -T_{21}$ $T_{44} = -T_{11}$

(2.47)

onde

$$b = U(U^2 - Y^2) - X(U^2 - \xi^2 Y^2) \quad (2.48)$$

$(0, \gamma, \xi)$ = cossenos diretores de \vec{B}_0

(ℓ, m, q_1) = cossenos diretores de \vec{k}

$$U = 1 - j \frac{\nu}{\omega}$$

$$Y = \frac{eB_0}{m_0 \omega} = \frac{\omega_H}{\omega}$$

$$X = \frac{N \cdot e^2}{\epsilon_0 m_0 \omega^2} = \frac{\omega_N^2}{\omega^2}$$

v = frequência de colisão eletron-partícula neutra

e = módulo da carga do eletron

m_0 = massa de repouso do eletron

N = densidade eletrônica

ϵ_0 = permitividade elétrica do espaço livre

ω_H = girofrequência angular

ω_N = frequência angular de plasma

ω = frequência angular da onda

A resolução do sistema (2.45) para o caso de incidência de ondas de baixo para cima na ionosfera é feita em termos de ondas tipo "penetrante" e "não penetrante". O modo penetrante é definido como sendo aquele que maximiza a potência transmitida através da baixa ionosfera e no modo não penetrante a potência transmitida é nula no topo da baixa ionosfera. Portanto, o modo penetrante é o responsável pela geração de ondas tipo "whistler" na alta ionosfera. Uma onda genérica terá sempre uma parte penetrante e outra não penetrante e sua transmissão será tanto maior quanto mais próxima estiver sua polarização da polarização do modo penetrante. Conhecendo-se os campos (resolvendo o sistema (2.45)) podemos calcular os coeficientes de transmissão e reflexão para os diversos tipos de polarização da onda (penetrante, não penetrante, horizontal, vertical, paralela ou normal ao plano de incidência).

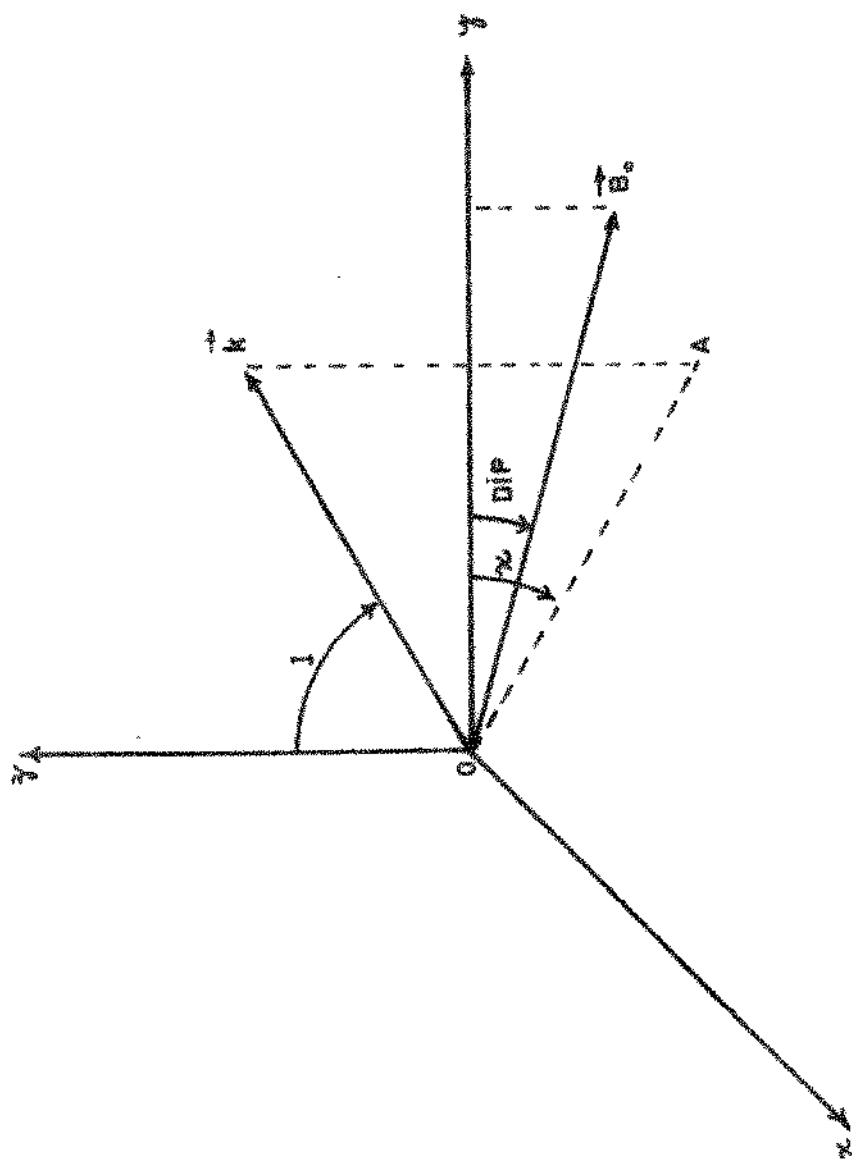


FIG. 9 - GEOMETRIA UTILIZADA PARA ONDA COMPLETA

III.4 - Teoria de Traçado de Raios

Acima de aproximadamente 120 Km podemos considerar que o meio varia lentamente com relação ao comprimento de onda da radiação eletromagnética em estudo (VLF). Devido a este fato podemos calcular como se propagam os campos da onda usando a aproximação WKB. Baseando-se no conceito de velocidade de grupo e de fase, F.Walter (1969) deduziu as variações temporais da distância geocêntrica (R), colatitude (θ) e do ângulo δ entre o vetor de propagação e o versor da direção radial (\hat{e}_R) para o ponto em que se encontra a onda. A geometria usada é bi-dimensional (Fig. 10) e iremos supor que a propagação da onda ocorre no meridiano magnético. Na figura 10 a direção indicada por RAIO é a direção de propagação da energia.

As equações do traçado de raios em coordenadas polares são (F.Walter, 1969):

$$\begin{aligned}\frac{dR}{dt} &= \frac{c}{\mu} (\cos\delta - \tan\alpha \cdot \sin\delta) \\ \frac{d\theta}{dt} &= \frac{c}{R\mu} (\sin\delta + \tan\alpha \cdot \cos\delta) \\ \frac{d\delta}{dt} &= -\frac{c}{\mu^2} \left(\frac{\partial\mu}{\partial R} \cdot \sin\delta - \frac{1}{R} \cdot \frac{\partial\mu}{\partial\theta} \cdot \cos\delta \right) - \frac{c}{R\mu} \sin\delta\end{aligned}\quad (2.52)$$

onde os ângulos e seus sentidos positivos estão indicados na Fig. 10, c representa a velocidade da luz no vácuo e o índice de refração de fase μ é calculado pela expressão (Stix, 1962)

$$A\mu^4 - B\mu^2 + C = 0 \quad (2.53)$$

onde

$$\begin{aligned} A &= S \cdot \operatorname{sen}^2 \psi + P \cos^2 \psi \\ B &= R \cdot L \cdot \operatorname{sen}^2 \psi + P \cdot S \cdot (1 + \cos^2 \psi) \\ C &= P \cdot R \cdot L \\ S &= \frac{1}{2} (R + L) \\ D &= \frac{1}{2} (R - L) \\ R &= 1 - \frac{X}{1+Y} \\ L &= 1 - \frac{X}{1-Y} \end{aligned} \tag{2.54}$$

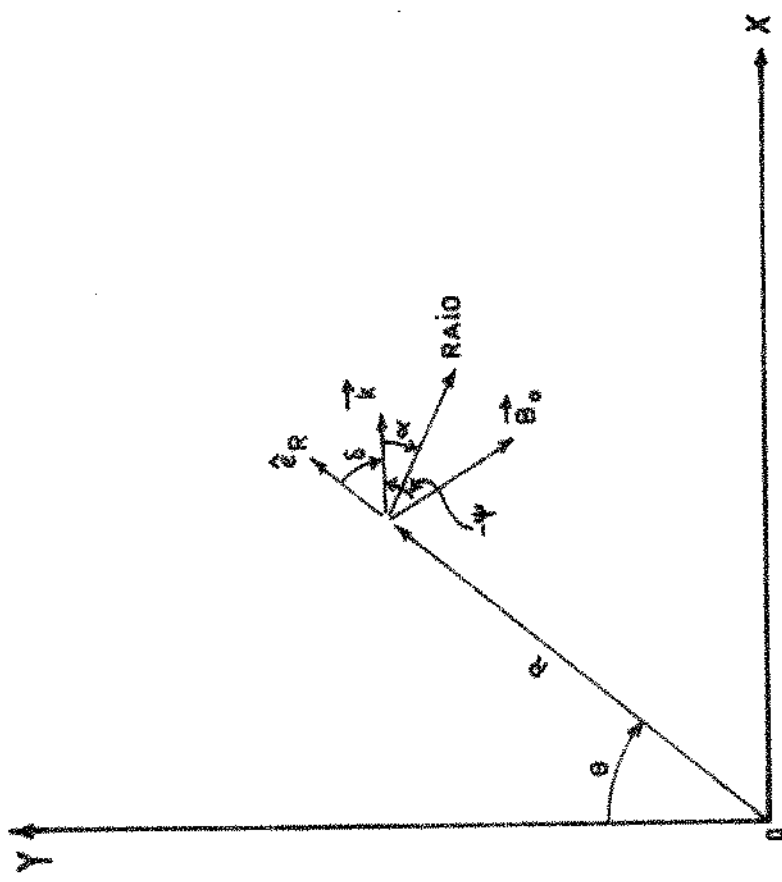


FIG. 10 - GEOMETRIA UTILIZADA NO TRACADO DE RAIOS

III - TRAJETO DA ONDA DE VLF NA ALTA IONOSFERA

III.1 - Utilização do Programa de Traçado de Raios

Kimura (1966) foi o primeiro a incluir ions no traçado de raios. Para resolver o sistema formado pelas expressões (2.52) (2.53) e (2.54), Walter (1969) desenvolveu um programa de computador bastante geral e que permite a inclusão de até três tipos de ions na composição da ionosfera. Neste estudo particularizamos o número de constituintes da ionosfera (apenas eletrons) e introduzimos os fatores modulantes da densidade eletrônica expostos na seção II.1.3. Desta forma, o programa de traçado de raios (Apêndice B) requer como dados de entrada os seguintes parametros:

a - frequência da onda: foi utilizada a frequência de 17,8 KHz (VLF), correspondendo à estação transmissora NAA (Cf. I.1).

b - girofrequência equatorial na superfície terrestre: fixada em 870 KHz; esta quantidade fixa os valores da girofrequência dos eletrons em qualquer ponto da ionosfera, supondo válida a aproximação do dipolo para o campo magnético da Terra (Cf. II.2).

c - altitude onde começa o traçado do raio: foi fixada em 120 Km e corresponde aproximadamente à borda superior da camada E da ionosfera. Acima desta região a aproximação WKB (variação lenta do meio com relação ao comprimento de onda local) é satisfatória (Cf. II.4).

d - latitude magnética de entrada na alta ionosfera (a 120 Km): foi variada entre 0° e $+90^\circ$ correspondendo, portanto, ao hemisfério norte magnético. Esta escolha prende-se à localização da estação transmissora neste hemisfério.

e - ângulo entre a vertical local (a 120 Km) e o vetor de propagação; em todos os cálculos este ângulo foi suposto igual a zero; este procedimento é justificado pela aplicação da lei de Snell à onda durante sua propagação através da baixa ionosfera; verifica-se, desta maneira, que a normal à onda irá aproximar-se da vertical devido ao aumento gradativo da concentração de eletrons com o aumento da altitude.

f - dados para a fixação do perfil eletrônico na região do equador magnético (Cf. II.1.2):

$$h_B = 400 \text{ Km}, h_T = 300 \text{ Km}, H_{0+} = 50 \text{ Km}$$

$$N_B = 10^5 \text{ eletrons/cm}^3, \xi_{0+} = 0,95, \xi_{H+} = 0,015, \xi_{\infty} = 0,035$$

g - dados para o cálculo da modulação do perfil eletrônico (F_N) com a latitude magnética (Cf. II.1.3): baseado em resultados experimentais (Reddy e outros, 1967) utilizamos para o período noturno os seguintes valores:
 $DD1 = 1,0, DD2 = 0,8, \alpha = 2,90, \beta = 2,29, \sigma_1 = 8,0,$
 $\sigma_2 = 8,0, \sigma_3 = 2,0, \sigma_4 = 2,0, \phi_1 = 30^\circ, \phi_2 = 60^\circ,$
 $R_1 = 6492 \text{ Km}, H_0 = 850 \text{ Km}.$ Com estes dados obtemos pe

la imposição de concordância das curvas acima os valores: $D_1 = 0,61$, $\phi_{e_1} = 35,2^\circ$, $D_2 = 0,29$, $\phi_{e_2} = 59,4^\circ$. Estes valores numéricos foram utilizados no traçado da Fig. 7.

Para o período diurno fornecemos: $DD_1 = 0,3$, $D_1 = 0,7$, $\sigma = 30^\circ$, $R_1 = 6\ 492$ Km, $H_0 = 850$ Km, utilizados na Fig. 6. Com os valores acima o programa de computador (subrotina PLASM -apêndice B) fornece três fatores:

$$F_1 = F_N \cdot F_H$$

$$F_2 = \frac{1}{N} \cdot \frac{\partial N}{\partial R} - \frac{1}{N_1} \cdot \frac{\partial N_1}{\partial R} \quad [\text{vide (2.37)}]$$

$$F_3 = \frac{1}{N} \cdot \frac{\partial N}{\partial \theta} \quad [\text{vide (2.38)}]$$

que são re-utilizados pelo programa.

Com todas as quantidades acima conhecidas, o programa fornece o percurso da onda na alta ionosfera (altitude e latitude magnética dipolar) além dos ângulos α , δ , ψ (vide Fig. 10), tempo de atraso da onda, valor do parâmetro L (cf.II.1.3), f_H , densidade eletrônica e índice de refração μ em cada ponto especificado da trajetória.

III.2 - Resultados do Traçado de Raios

Utilizando o programa de traçado de raios podemos deter-

minar como a energia da onda se propaga na alta ionosfera. Algumas trajetórias para o período noturno estão indicadas na Fig. 11. Analisando esta figura observamos que ocorre um grande "espalhamento" dos raios que iniciam entre 8° e 10° de latitude (a 120 Km de altitude) e uma grande concentração de raios próximos de -20° (a 500 Km de altitude) quando os mesmos iniciam entre 10° e 12° no hemisfério norte. A altitude de 500 Km foi escolhida nesta análise por ser um valor na faixa de altitudes do satélite polar OGO-4. Para o período diurno temos trajetórias semelhantes às da Fig. 11 com a máxima concentração de raios ocorrendo em uma latitude mais distante do equador (-28°). Para colocar em uma forma quantitativa este espalhamento e concentração dos raios podemos definir um ganho de focalização (Scarabucci, 1969b) da seguinte forma

$$G_F = \left(\frac{R_i}{R_S}\right)^2 \cdot \frac{\Delta\Phi_i \cdot \cos\phi_i \cdot \cos\beta_i}{\Delta\Phi_S \cdot \cos\phi_S \cdot \cos\beta_S} \quad (3.1)$$

onde o índice i refere-se à posição de entrada na alta ionosfera (120 Km) e o índice S à posição do satélite (500 Km). A Fig. 12 mostra os parâmetros envolvidos na expressão (3.1), onde

$$\begin{cases} R_i = 6492 \text{ Km} \\ R_S = 6872 \text{ Km} \end{cases}$$

R é a altitude geocêntrica
 ϕ é a latitude magnética

β é o ângulo entre o raio (direção de propagação da energia) e a vertical local

Na expressão do ganho de focalização (3.1) é suposto que a propagação da onda se processa em um plano paralelo ao meridiano.

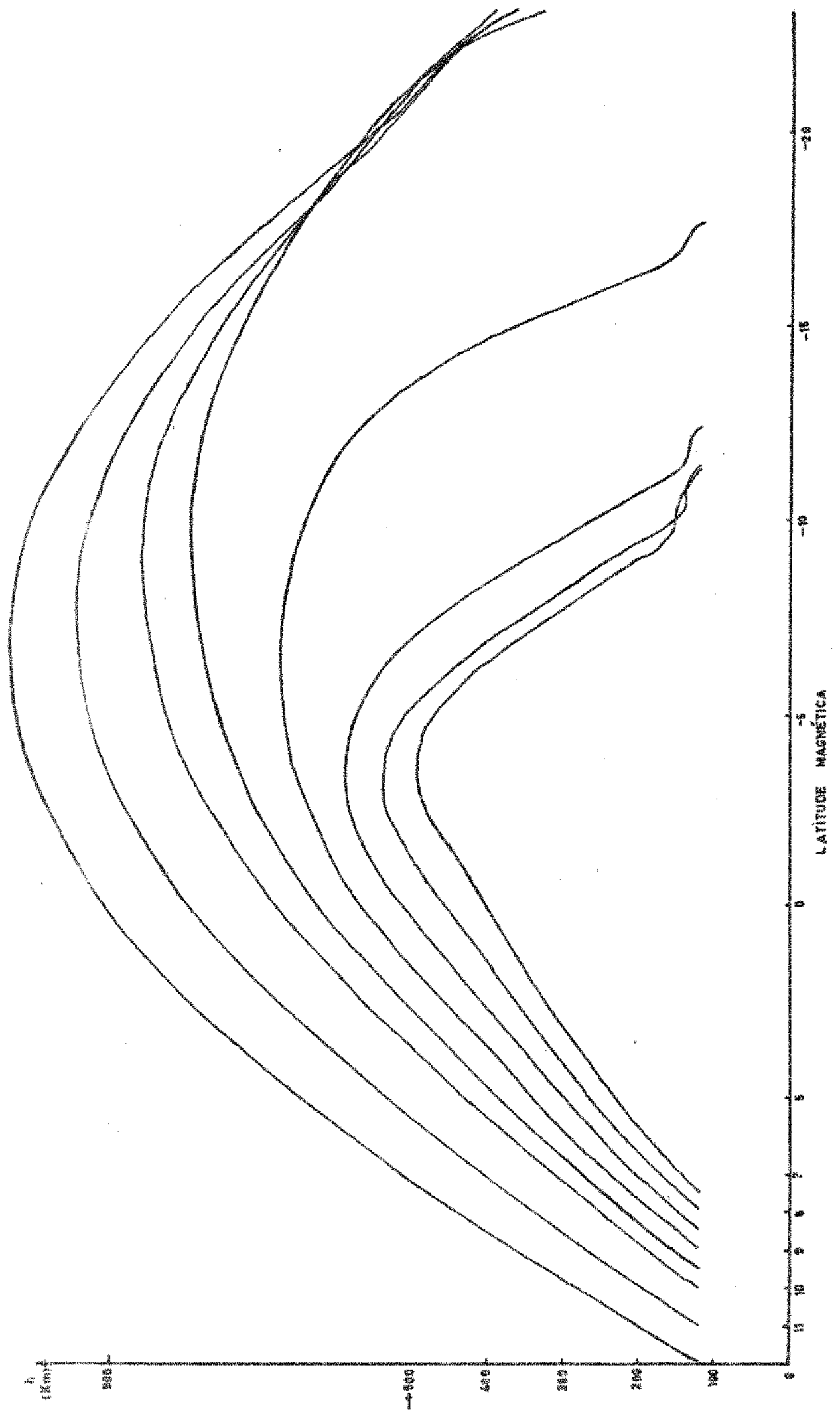


FIG. II — TRAJETÓRIAS DE ONDAS DE VLF PARTINDO DE DIVERSAS LATITUDES MAGNÉTICAS NO HEMISFÉRIO NORTE (PERÍODO NOTURNO)

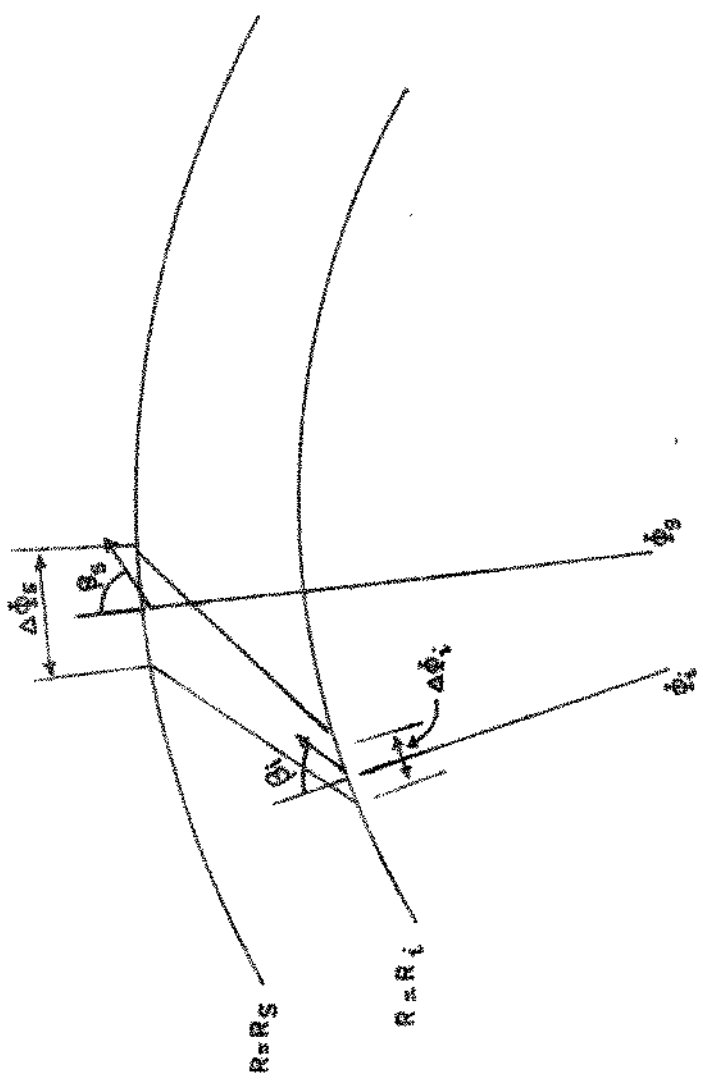
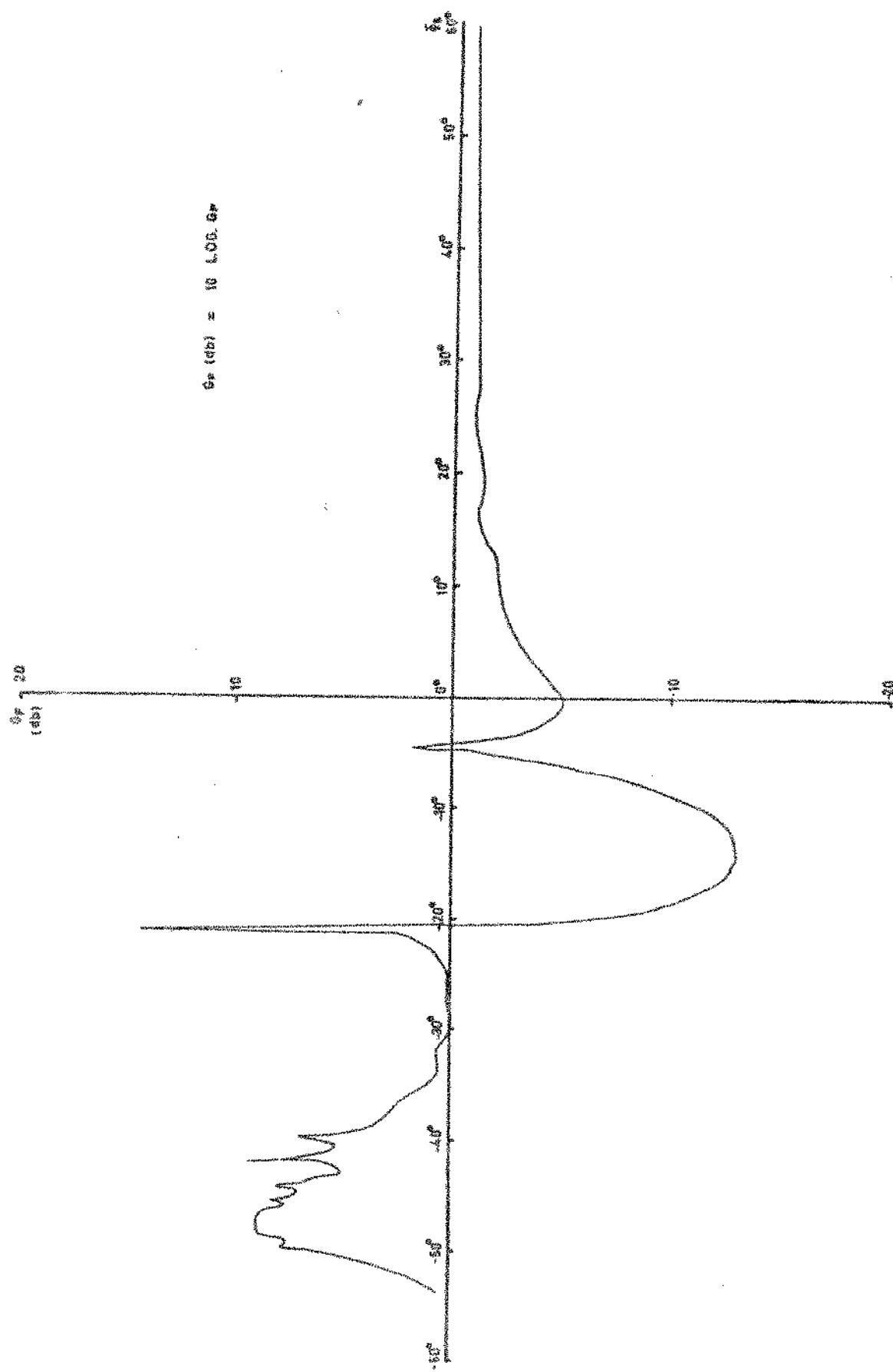


FIG. 12 — USO DE RAIOS INDICANDO OS PARÂMETROS NO CÁLCULO DE Φ_F

diano magnético. Esta hipótese será admitida válida nos desen-/volvimentos subsequentes e corresponde à não existência de variações longitudinais do perfil eletrônico (e iônico). Isto é certamente incorreto nas regiões de transição entre dia e noite onde sabemos que ocorrem gradientes longitudinais da concentração de partículas ionizadas. Este fato é o responsável pela divisão entre período diurno e noturno neste estudo, não incluindo, desta forma, a região de transição.

Todos os elementos da expressão (3.1) podem ser determinados pelo programa de traçado de raios; ao calcularmos os valores numéricos de G_F verificamos que os mesmos podem ser maiores ou menores que a unidade, correspondendo, portanto, à convergência e divergência dos raios respectivamente.

Exprimindo o ganho de focalização em decibeis obtemos os gráficos das figuras 13 e 14 que correspondem ao período noturno e diurno respectivamente. Em ambos os gráficos observamos um aumento da desfocalização dos raios provenientes do hemisfério norte quando caminhamos do hemisfério norte para o sul. A menos de uma pequena focalização em torno de -5° de latitude, esta tendência continua até atingirmos -14° (ponto de máxima desfocalização). A partir desta latitude o ganho de focalização começa a aumentar atingindo um máximo em torno de -21° para o período noturno e -29° para o período diurno. Após estas latitudes o ganho de focalização é normalmente maior que a unidade, correspondendo à focalização dos raios. Observar os picos de focalização que ocorrem para latitudes abaixo de -30° (principalmente no pe-



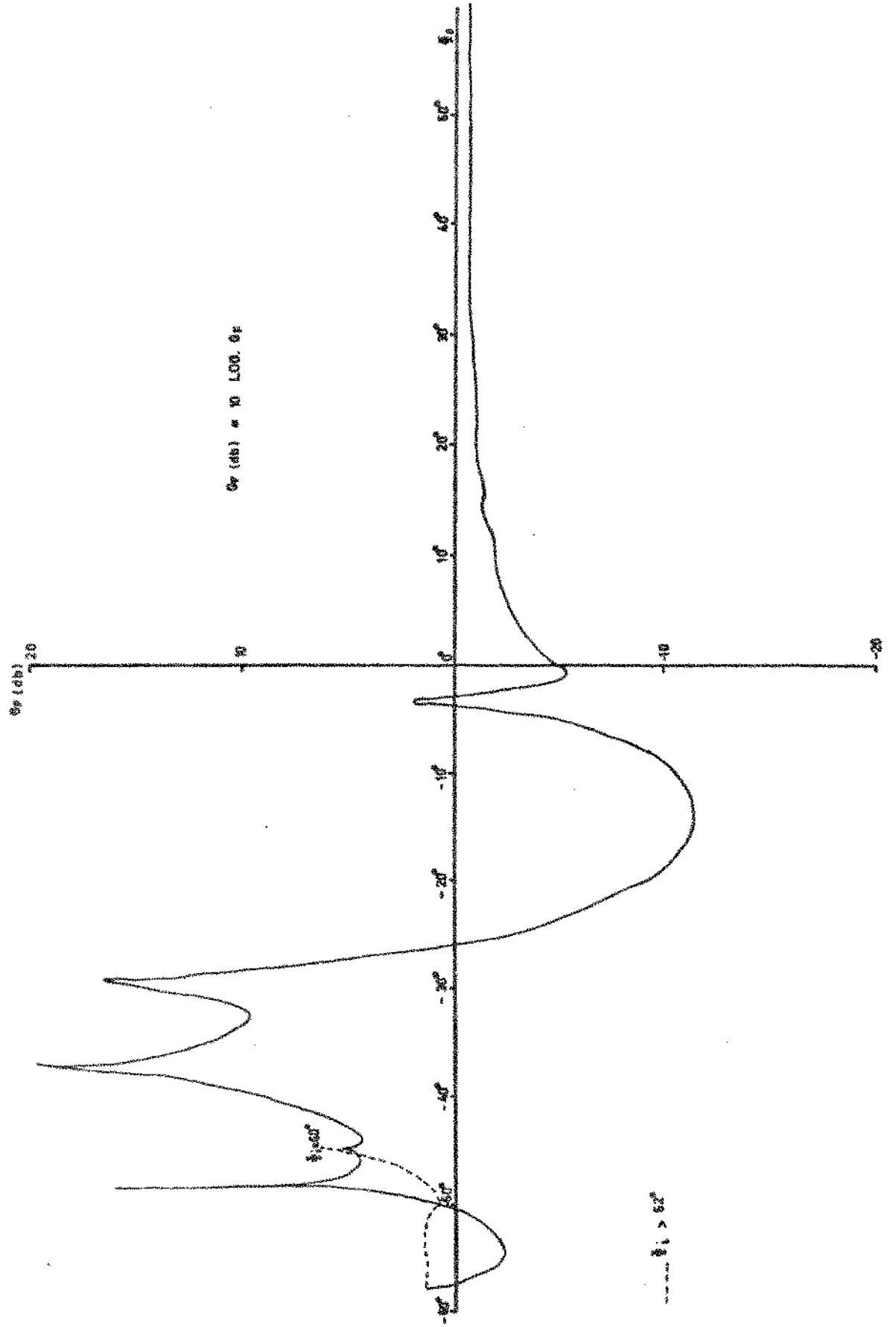


FIG. 14. CAMINHO DE FOCALIZAÇÃO PARA O PERÍODO G10 NO

riodo noturno) que podem acarretar "fading" na recepção feita pelo satélite. Para latitudes superiores a $+60^\circ$ o ganho de focalização é praticamente igual à unidade; a ausência das curvas de G_F para latitudes magnéticas abaixo de -60° é devida ao fato de não conseguirmos obter raios provenientes do hemisfério norte que atinjam esta região usando os modelos de densidade eletrônica expostos; este comportamento das ondas fora da faixa ($+60^\circ$, -60°) é explicado pela presença da plasmapausa em torno de $\sim \pm 60^\circ$ de latitude, caracterizada por uma densidade de elétrons bastante pequena que acarreta gradientes latitudinais bastante elevados; no traçado de raios para ondas acima de $+60^\circ$ obtemos trajetórias que apresentam muito pouca curvatura em direção ao equador acarretando um grande percurso para a onda, o que concorre para a sua absorção pelo meio.

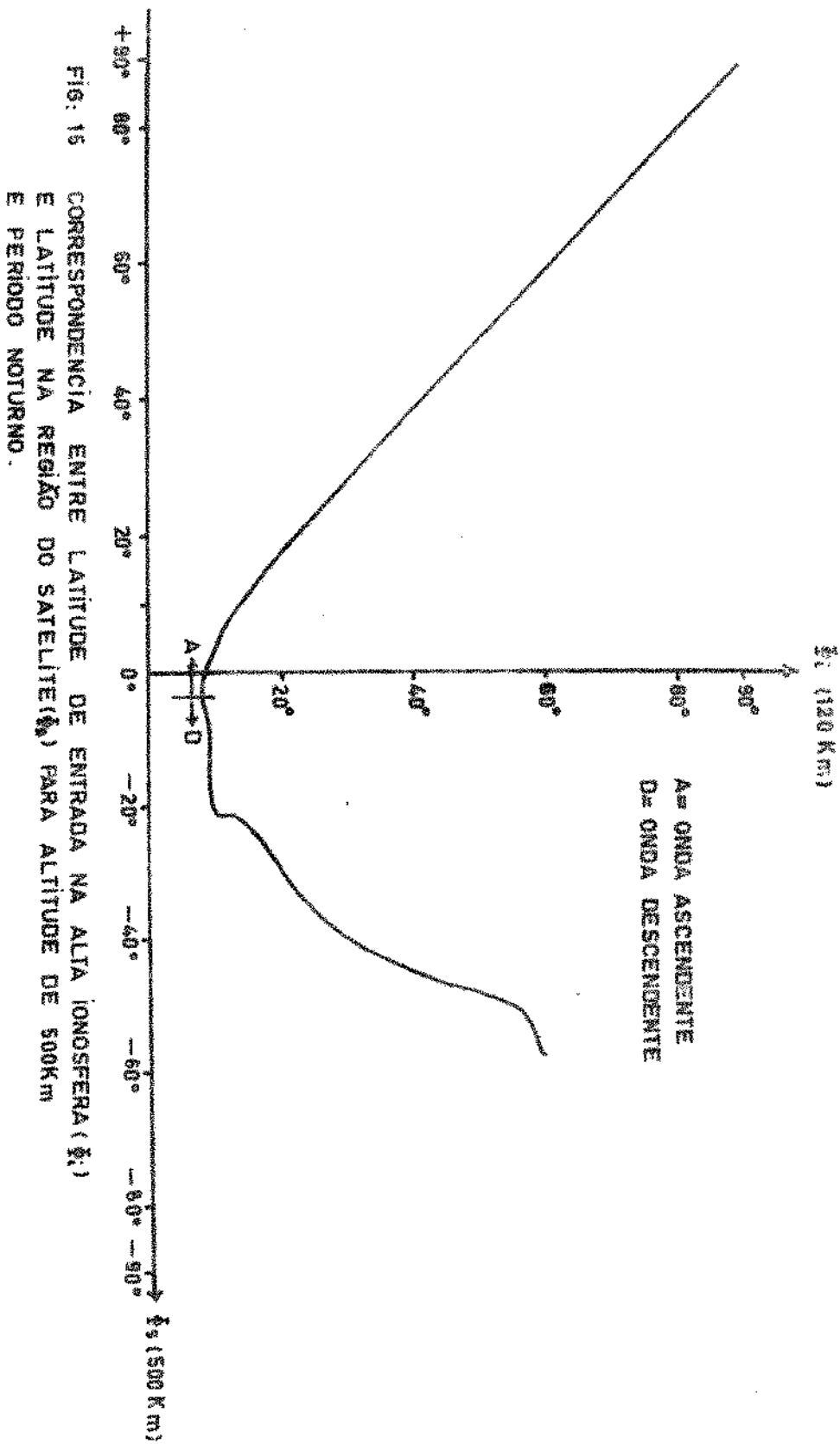
Outro resultado que podemos obter pelo traçado de raios é a correspondência entre a latitude de entrada do raio na alta ionosfera (Φ_i) e a latitude de chegada a uma altitude determinada (Φ_S). Convém observar que a cada valor de Φ_i haverá normalmente dois valores de Φ_S que irão satisfazer a condição acima: um deles corresponderá à onda durante sua trajetória ascendente e o outro correspondente à trajetória descendente; obtemos, dessa forma, os gráficos da Fig. 15 e 16 correspondentes ao período noturno e diurno respectivamente. Em ambos os casos verificamos que Φ_i e Φ_S para a onda possuem valores próximos entre si quando estamos no hemisfério norte magnético ($\Phi_S > 0$) correspondendo a um pequeno desvio da energia em direção ao equador ($\Phi_S \approx \Phi_i$) e a um ganho de focalização próximo da unidade. No hemisfério

sul ($\Phi_S < 0$) a onda sofre desfocalização acentuada nas regiões em que Φ_i é aproximadamente constante para variações sensíveis de Φ_S e focalização em regiões de Φ_S praticamente constante.

Como veremos no capítulo seguinte, para a previsão do campo magnético da onda a 500 Km de altitude precisamos ainda conhecer o índice de refração (μ), o ângulo (ψ) entre o vetor de propagação e o campo magnético terrestre, a girofrequência (f_H) e o ângulo (β_i) formado pela direção da energia com a vertical. Todos estes valores são fornecidos pelo programa de traçado de raios. Os valores de μ , ψ e f_H são para a altitude de 500 Km e β_i para 120 Km de altitude. Verificamos que o ângulo β_i varia entre -5° e -18° para todas as latitudes de entrada Φ_i no hemisfério norte; como iremos necessitar do cosseno deste ângulo no capítulo seguinte, podemos usar

$$\cos \beta_i \approx 1 \quad (3.2)$$

sem cometer erro apreciável na previsão do campo magnético da onda.



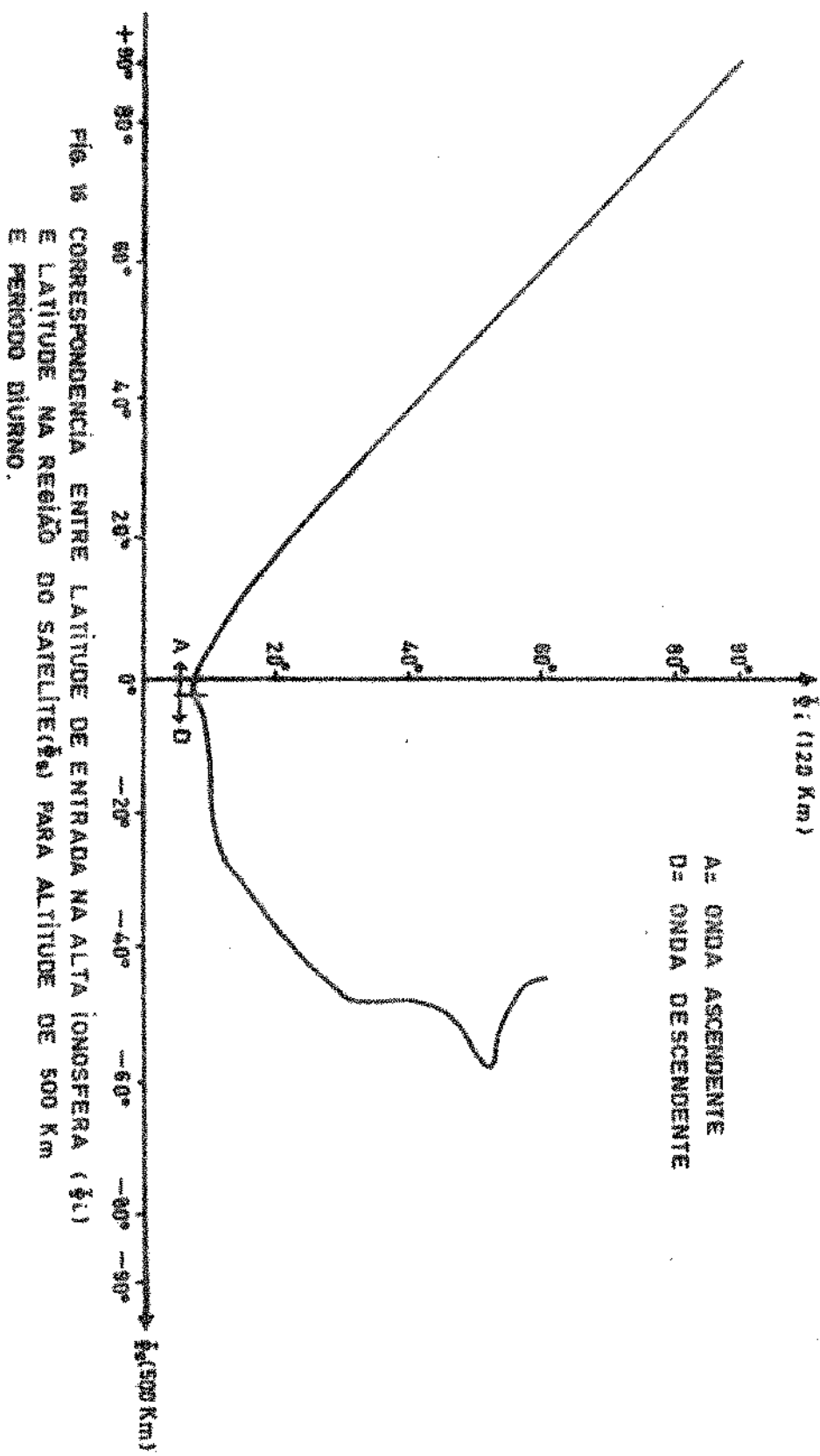


FIG. 16 CORRESPONDÊNCIA ENTRE LATITUDE DE ENTRADA NA ALTA IONOSFERA (θ_i)

E LATITUDE NA REGIÃO DO SATELITE(λ) PARA ALTITUDE DE 500 Km
E PERÍODO DIURNO.

IV - PROPAGAÇÃO DA ONDA DE VLF ABAIXO DA IONOSFERA
E NA BAIXA IONOSFERA

IV.1 - Percurso Abaixo da Ionosfera

Nesta região, limitada pela superfície terrestre e pela borda inferior da camada D da ionosfera, podemos supor que a onda se propaga como no espaço livre com exceção das eventuais reflexões nas duas superfícies que delimitam este guia de onda. Supondo que o raio da Terra seja igual a 6 372 Km e que a borda inferior da ionosfera (h) está a 70 Km de altitude, verificamos que o ponto da borda inferior da ionosfera mais distante do transmissor que podemos atingir por visada direta encontra-se a aproximadamente 1000 Km. Esta situação corresponde à onda saindo do transmissor tangente à superfície terrestre. Podemos dividir o problema da previsão da intensidade do campo magnético da onda na alta ionosfera em duas partes, conforme a distância entre transmissor e ponto de penetração da ionosfera seja menor ou maior que 1000 Km.

IV.1.1 - Distância menor que 1000Km entre Transmissor e Ponto de Penetração

Neste caso o problema foi estudado detalhadamente por Scarabucci (1969b), obtendo-se para o campo magnético da onda na região do satélite a expressão

$$H = \left(\frac{\mu_S \cdot G_F \cdot P \cdot \cos I}{\cos \beta_i} \right)^{1/2} \cdot \frac{T_v \cdot \operatorname{senn}}{s} \quad (4.1)$$

onde P é a potência do transmissor dada em Kw , s é a distância entre transmissor e ponto de penetração em Km e H é o campo magnético da onda expresso em gamas. Na expressão acima i é o ângulo de incidência na ionosfera (ângulo entre a normal à onda e a vertical), T_v o coeficiente de transmissão na baixa ionosfera para polarização vertical da onda (obtido pelo programa de onda completa) e n é o ângulo entre a vertical e a direção da onda no transmissor. A geometria adotada está indicada na Fig. 17 onde mostramos a trajetória de um raio (direção da energia) entre o transmissor terrestre T e o satélite S localizado na alta ionosfera.

Na expressão (4.1) já conhecemos μ_S , G_F e $\cos\beta_i$ pelo programa de traçado de raios, T_v pode ser calculado pelo programa de onda completa, P é conhecido pela escolha da estação transmissora e os demais parâmetros são determinados por considerações geométricas (Scarabucci, 1969b):

$$s = \{h^2 + 2R_E(R_E + h)[1 - \cos(d/R_E)]\}^{1/2} \quad (4.2)$$

$$\tan I = \frac{\sin(d/R_E)}{(h/R_E) + 1 - \cos(d/R_E)} \quad (4.3)$$

$$n = I + \frac{d}{R_E} \quad (4.4)$$

onde R_E é o raio da Terra e n , I , d e h estão indicados na Fig. 18.

Os valores numéricos do campo magnético da onda obtidos por esta teoria praticamente coincidem com os dados registrados pelo satélite OGO-4 (vide Scarabucci, 1969b).

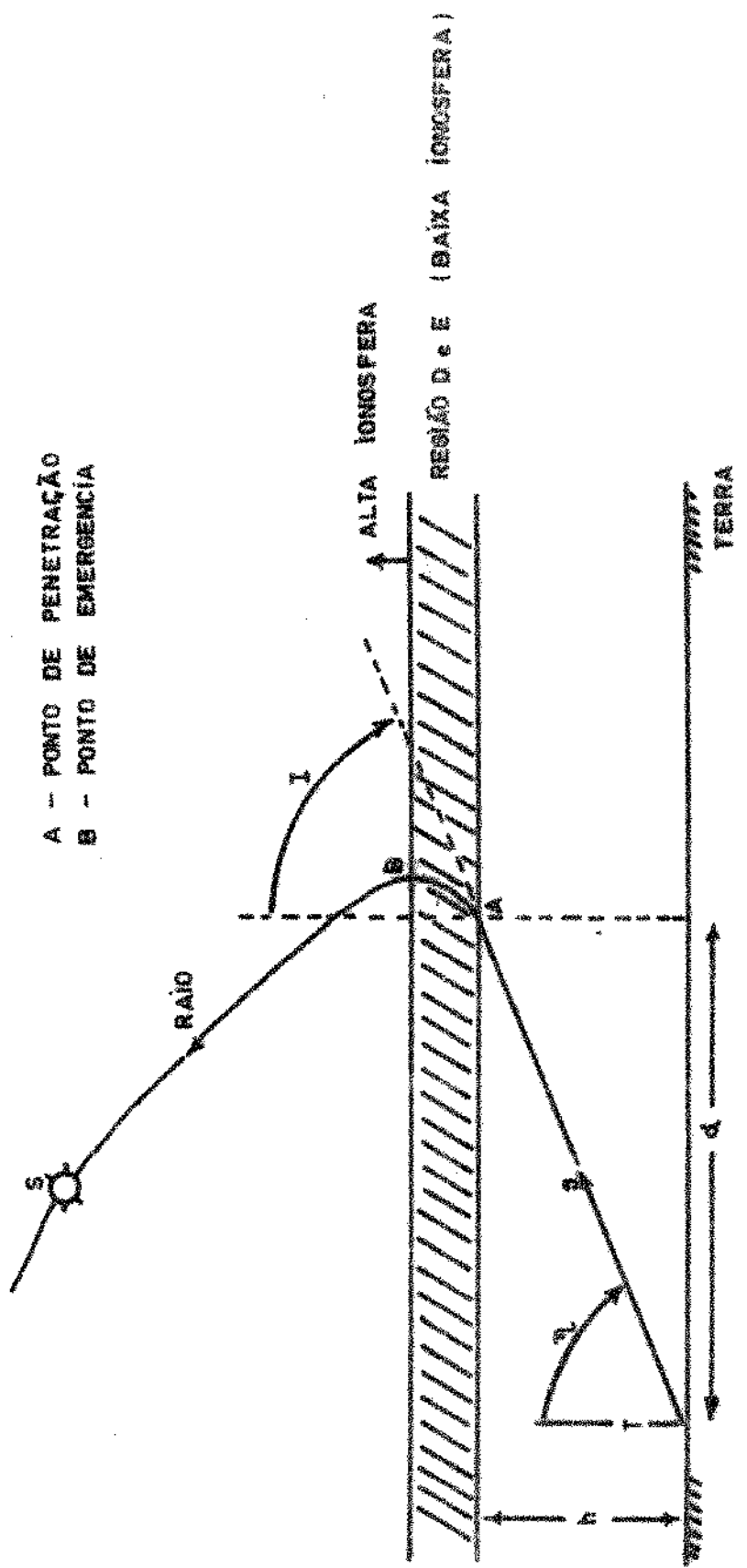


FIG. 17 - TRAJETÓRIA DE UM RAIO ENTRE TRANSMISSOR Y
E SATELITE S. A CURVATURA DA TERRA NÃO
ESTÁ INDICADA.

IV.1.2 - Atenuação no Guia de Onda Superfície Terrestre - Baixa Ionosfera.

Quando a onda de VLF percorre distância maior que 1000 Km no guia de onda formado pela superfície da Terra e a baixa ionosfera, deve ocorrer pelo menos uma reflexão da onda dentro deste guia. Há, desta forma, o aparecimento de modos de propagação que podem ser especificados através de números inteiros positivos (n). O modo que sofre menor atenuação no guia é caracterizado por $n=1$ e corresponde ao número mínimo de reflexões nas bordas do guia. Na análise desenvolvida a seguir iremos supor que a potência irradiada pelo transmissor irá se propagar segundo este modo. O cálculo teórico da atenuação sofrida pelos diversos modos ao se propagarem neste guia é bastante complexo. Adotamos neste trabalho duas maneiras distintas para o cálculo da atenuação total sofrida pela onda ao percorrer o referido guia:

a - utilizando a teoria modal (Wait, 1964);

b - utilizando a atenuação causada pelas reflexões intermediárias e o espalhamento dos raios no guia.

Para conhecermos o coeficiente de atenuação pela teoria modal devemos especificar vários parâmetros tais como frequência da onda, modo de propagação, altura da ionosfera, condutividade da superfície terrestre ($\sigma_{\text{mar}} \approx 4500 \text{ mmho/m}$ e $\sigma_{\text{sol}} \approx 5 \text{ mmho/m}$), além da direção de propagação. Utilizando para todas estas variáveis valores razoáveis podemos obter valores médios para o coeficiente de atenuação.

ciente de atenuação (α) válidos para o período diurno e noturno:

$$\alpha_{\text{dia}} \approx -3,0 \text{ db/1000 Km} \quad (4.5)$$

$$\alpha_{\text{noite}} \approx -2,4 \text{ db/1000 Km}$$

Verifica-se, desta forma, que a atenuação total (Γ) sofrida pela onda entre dois pontos do guia distanciados de mais de 1000 Km é maior durante o período diurno. Para distâncias menores que 1000 Km entre transmissor e ponto de penetração na baixa ionosfera consideramos atenuação total nula.

Outra forma de calcular a atenuação total do fluxo de potência quando se distancia do transmissor é verificar o que ocorre em cada ponto de reflexão no guia e o efeito do espalhamento dos raios neste guia. Para obter a atenuação (Γ_R) devida apenas às reflexões adotamos o seguinte procedimento:

a - conhecendo-se a distância (d) entre transmissor e ponto de penetração, determina-se o número mínimo de reflexões nas bordas do guia antes da onda atingir o ponto de penetração;

b - como a onda irradiada pelo transmissor possui polarização vertical, os coeficientes de reflexão de Budden indicam que a maior parte do fluxo de potência após cada reflexão mantém-se ainda no plano de incidência (vide seção IV.3.2); nos cálculos abaixo consideramos que a polarização da onda é sempre vertical;

c - para o cálculo do coeficiente de reflexão no solo utilizamos o coeficiente de Budden $||R||$ pois foi suposto polarização vertical antes e após a reflexão. A expressão analítica deste coeficiente é (Budden, 1966).

$$||R|| = \frac{n_2^2 \cdot \cos \theta_i - n_1(n_2^2 - n_1^2 \sin^2 \theta_i)^{1/2}}{n_2^2 \cdot \cos \theta_i + n_1(n_2^2 - n_1^2 \sin^2 \theta_i)^{1/2}} \quad (4.6)$$

onde θ_i é o ângulo formado pelo vetor de propagação e a vertical no solo, n_1 é o índice de refração do ar (igual a um) e n_2 é o índice de refração do solo que pode ser calculado pela expressão

$$n_2^2 = \frac{\epsilon_s}{\epsilon_0} - j \cdot \frac{\sigma}{\omega \epsilon_0} \quad (4.7)$$

onde ϵ_s é a permitividade do solo. ϵ_s a permitividade do espaço livre e ω a frequência angular da onda. Utilizando-se para σ os valores indicados anteriormente e ângulos θ_i maiores que 80° , conclui-se que o módulo do coeficiente $||R||$ é praticamente igual à unidade. Nos cálculos feitos foi suposta reflexão perfeita no solo.

d - utilizando o programa de onda completa verificamos que o coeficiente de reflexão $||R||$ nos pontos de reflexão na ionosfera varia entre 0,30 e 0,70 para latitudes magnéticas entre 90° e 25° . Nos cálculos foi adotado um coeficiente de reflexão médio de 0,50.

e - para cada reflexão na ionosfera há uma atenuação de

$||R||^2$ no fluxo de potência da onda. Obtemos, desta forma, as atenuações apresentadas na tabela abaixo, onde N_{\min} é o número mínimo de reflexões na ionosfera.

d (Km)	N_{\min}	Γ_R (db)
0 a 1000	0	0
1000 a 3000	1	- 6
3000 a 5000	2	- 12
5000 a 7000	3	- 18
7000 a 9000	4	- 24
9000 a 11000	5	- 30

Para se conhecer a atenuação total deve-se determinar a parcela correspondente ao espalhamento dos raios ao se afastarem do transmissor. Para isso considera-se dois raios partindo do transmissor e formando um ângulo $\Delta\xi$ entre si. A uma certa distância d_1 do transmissor estes raios estarão distanciados de x (sobre a superfície esférica) e a uma distância d_2 (maior que d_1) a distância é de y entre os mesmos. Estaremos interessados em situações em que $y > x$ para propagação dentro do guia. Chamando de a o raio da Terra, temos:

$$\cos\left(\frac{x}{a}\right) = \cos^2\left(\frac{d_1}{a}\right) + \sin^2\left(\frac{d_1}{a}\right)\cdot\cos(\Delta\xi) \quad (4.8)$$

$$\therefore \cos\left(\frac{x}{a}\right) = 1 + \sin^2\left(\frac{d_1}{a}\right) \cdot [\cos(\Delta\xi) - 1] \quad (4.9)$$

$$\text{e } \cos\left(\frac{y}{a}\right) = 1 + \sin^2\left(\frac{d_2}{a}\right) \cdot [\cos(\Delta\xi) - 1] \quad (4.10)$$

$$\text{Logo: } \frac{\cos\left(\frac{x}{a}\right) - 1}{\cos\left(\frac{y}{a}\right) - 1} = \left[\frac{\sin\left(\frac{d_1}{a}\right)}{\sin\left(\frac{d_2}{a}\right)} \right]^2 \quad (4.11)$$

Expandindo os cossenos que aparecem na expressão acima em série de potências e tomando apenas os dois primeiros termos do desenvolvimento, obtemos

$$\frac{x}{y} \approx \frac{\sin\left(\frac{d_1}{a}\right)}{\sin\left(\frac{d_2}{a}\right)} \quad (4.12)$$

Como iremos estar interessado no fluxo de potência da onda, podemos calcular esta quantidade conhecendo-se a potência irradiada no setor considerado (P_s) e a área de interesse. Chamando de p_1 o fluxo de potência à distância d_1 do transmissor, p_2 o fluxo de potência à distância d_2 do transmissor e h a altura da ionosfera, obtemos

$$\begin{aligned} \frac{p_1}{p_2} &= \frac{\frac{P_s}{A_1}}{\frac{P_s}{A_2}} = \frac{A_2}{A_1} = \frac{y \cdot h}{x \cdot h} = \frac{y}{x} \\ p_2 &= p_1 \cdot \frac{x}{y} \end{aligned} \quad (4.13)$$

Logo, a atenuação (E) causada pelo espalhamento dos raios é dada por

$$E = 10 \log_{10} \left(\frac{x}{y} \right) \quad (\text{db}) \quad (4.14)$$

Considerando as atenuações devidas às reflexões intermediárias e ao espalhamento dos raios obtemos uma atenuação total (Γ) dada por

$$\Gamma = \Gamma_R + E \quad (\text{db}) \quad (4.15)$$

Nos cálculos, p_1 foi feito igual ao fluxo de potência antes da primeira reflexão e p_2 igual ao fluxo de potência no ponto de penetração. Para distâncias menores que 1000 Km Γ foi suposto nulo.

Resumindo esta seção: foram apresentados dois métodos para calcular a atenuação total sofrida por uma onda ao percorrer uma distância d entre transmissor e ponto de penetração. No primeiro método (teoria dos modos) a atenuação total Γ é dada por

$$\Gamma = \Gamma_w = \alpha \left(\frac{d-1000}{1000} \right) \quad (\text{db}) \quad (4.16)$$

e no segundo método a atenuação é obtida pela expressão (4.15).

IV.2 - Campo da Onda de VLF na Alta Ionosfera

Nos cálculos feitos a seguir iremos utilizar como incógnita o campo magnético H da onda. O campo elétrico pode ser obtido conhecendo-se o campo magnético da onda e as propriedades do meio. No caso em que a distância entre transmissor e ponto de penetração na baixa ionosfera é menor que 1000 Km, a previsão do campo magnético da onda na alta ionosfera é dada pela expressão (4.1). Para distâncias superiores a 1000 Km podemos avaliar a intensidade do campo magnético fazendo as considerações abaixo.

O fluxo de potência (p) irradiado por um dipolo vertical de comprimento bem menor que o comprimento de onda da radiação pode ser considerado como sendo puramente radial e com valor dado por (Scarabucci, 1969b).

$$p = \frac{3P \cdot \sin^2 \eta}{4\pi s^2} \quad (4.17)$$

Para a estação transmissora NAA que iremos considerar nos cálculos, as hipóteses acima são verdadeiras e temos para potência irradiada o valor $P = 1\text{Mw} = 10^6\text{w}$. Chamando de p_i o fluxo de potência incidente antes da primeira reflexão na ionosfera, podemos utilizar as atenuações (Γ) obtidas na seção IV.1.2 para o cálculo do fluxo de potência no local de penetração na baixa ionosfera (p_ϕ). Teremos desta forma

$$\Gamma = 10 \log_{10} \left(\frac{p_\phi}{p_i} \right) \quad (4.18)$$

$$\therefore P_\phi = p_i \cdot 10^{-|I|/10} \quad (4.19)$$

As componentes verticais dos fluxos incidente e emergente na baixa ionosfera podem ser relacionadas através do coeficiente de transmissão desta região. Admitindo que a polarização da onda que penetra na baixa ionosfera seja próxima da polarização vertical podemos escrever (justificação na seção IV.3.2).

$$T_v^2 = \frac{P'_z}{P_\phi \cdot \cos I} \quad (4.20)$$

onde T_v é o coeficiente de transmissão para polarização vertical da onda, P'_z é a componente vertical do fluxo de potência emergente da baixa ionosfera e I é o ângulo de incidência no ponto de penetração abaixo da ionosfera.

O fluxo de potência de um ponto genérico da alta ionosfera (p'') está relacionado com o fluxo emergente da baixa ionosfera (P') pelo ganho de focalização G_F , isto é

$$G_F = \frac{P''}{P'} = \frac{P''}{P'_z / \cos \beta_i} \quad (4.21)$$

Admitindo válida esta relação, estamos desprezando a atenuação sofrida pela onda acima de 120 Km que, para valores normais de frequência de colisão, não ultrapassa 3 db (Scarabucci, 1969b).

A relação entre o fluxo de potência médio na alta ionosfera (p'') e o campo magnético na frente de onda (H_w) foi obtida por Brice (1964) utilizando a aproximação Q.L. (quase longitudinal).

Esta aproximação é boa na prática a não ser que o vetor de propagação forme um ângulo com o campo magnético terrestre próximo do cone de ressonância. Chamando de H_w a amplitude da componente do campo magnético na frente de onda (caso análogo para E_w) , Brice mostrou que

$$H_w = \frac{\mu}{Z_0} E_w = \frac{\mu}{Z_0} A \cdot \frac{Z_0^{1/2}}{X^{1/4}} \cdot (Y_L - 1)^{3/4} \quad (4.22)$$

$$\text{onde } A = \frac{(p^n)^2}{[(Y_L - 1)^2 + \frac{1}{4} Y_T^2]^{1/4}} \quad (4.23)$$

Substituindo o valor de A na expressão (4.22) e usando o fato de que $\mu^2 \approx \frac{X}{Y_L - 1}$ chegamos à expressão

$$H_w^2 = \frac{p^n \cdot \mu_s}{Z_0} \quad (4.24)$$

$$\text{onde } \mu_s = \mu \cdot \frac{Y_L - 1}{[\frac{Y_T^2}{4} + (Y_L - 1)^2]^{1/2}} \quad (4.25)$$

Nas expressões acima temos:

$$Y = \frac{f_H}{f}$$

$$Y_L = Y \cdot \cos \psi \quad (4.26)$$

$$Y_T = Y \cdot \sin \psi$$

onde f é a frequência da onda ($= 17800$ Hz) e μ , f_H e ψ são obtidos pelo programa de traçado de raios. Na figura 18 está indicada a variação do índice de refração μ e de μ_s com a latitude magnética do satélite (Φ_s) a 500 Km de altitude.

Como a ionosfera é considerada um meio não magnético (com permeabilidade magnética igual a do vácuo), o campo magnético da onda não possui componente na direção de propagação e portanto, $H = H_w$. Como estamos considerando que a onda se propaga em um plano que coincide com o meridiano magnético e a antena do satélite é um "loop" paralelo a este plano, iremos medir no satélite o campo magnético total da onda. Podemos reescrever (4.24) na forma

$$P'' = \frac{Z_o \cdot H^2}{\mu_s} \quad (4.27)$$

Utilizando (4.20), (4.21) e (4.27) obtemos para o campo magnético da onda na região do satélite a seguinte expressão

$$H = T_v \left(\frac{\mu_s \cdot G_F \cdot \cos I}{Z_o \cdot \cos \beta_i} \cdot P_\phi \right)^{1/2} \quad (\text{A/m}) \quad (4.28)$$

onde T_v é determinado pelo programa de onda completa, $Z_o \approx 377 \Omega$, $\cos I \approx \cos 80^\circ = 0,17$, P_ϕ é expresso em watts/m² e os demais parâmetros já foram especificados anteriormente. Para exprimir o campo magnético em gamas (γ) devemos multiplicar o resultado obtido em (4.28) por $4\pi \cdot 10^2$; substituindo os valores numéricos das grandezas supostas constantes na expressão (4.28) obtemos

$$H \approx 27 \cdot T_v \cdot (\mu_s \cdot G_F \cdot P_\phi)^{1/2} \quad (\gamma) \quad (4.29)$$

Para exprimir H em decibeis relativos a 1 gama ($db\gamma$) basta calcular

$$H(db\gamma) = 20 \log_{10} H(\gamma) \quad (4.30)$$

ou
$$H(db\gamma) = 20 \log 27 \cdot T_v + 10 \log \mu_s + 10 \log G_F + \\ + 10 \log p_i + \Gamma \quad (4.31)$$

onde a atenuação Γ é uma quantidade sempre negativa, definida pela equação (4.15) ou (4.16).

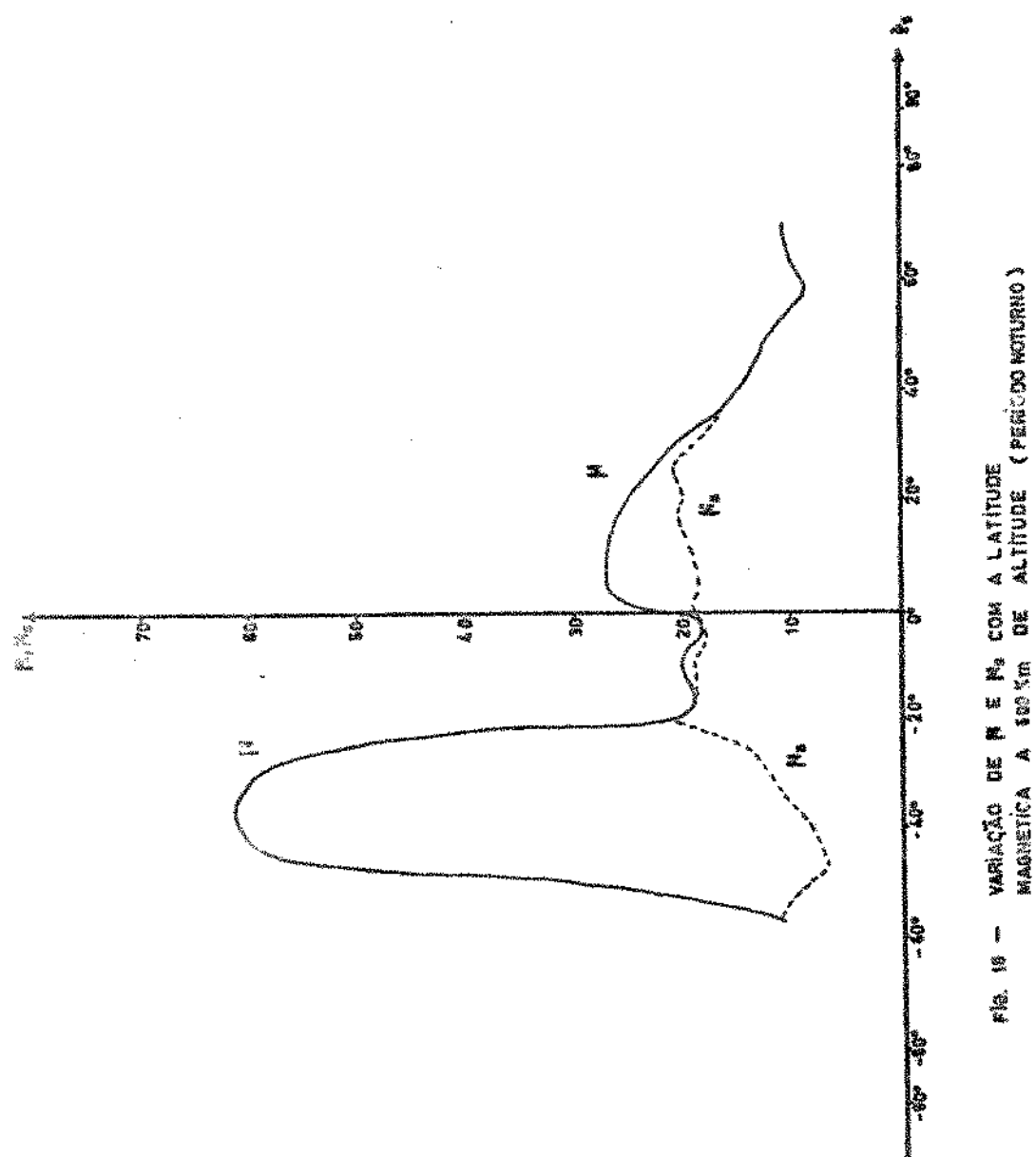


FIG. 18 — VARIACAO DE H E H_s COM A LATITUDE MAGNETICA A 100 Km DE ALTITUDE (PERIODO NOTURNO)

IV.3 - Programa de Onda Completa

IV.3.1 - Dados Necessários

Este programa de computador (Apêndice A) integra a equação diferencial (2.45) obtendo os campos elétrico e magnético da onda implícitos no vetor coluna \vec{E} (vide (2.46)). O programa (Scarabucci, 1969a) requer como dados de entrada as seguintes informações:

a - frequência da onda considerada (no caso $17,8 \cdot 10^3$ Hz);

b - girofrequência (f_H) e ângulos de inclinação magnética (DIP), azimute magnético (χ_R) e incidência (I) no local de propagação da onda (baixa ionosfera); a girofrequência e o ângulo DIP são obtidos utilizando-se a aproximação do dipolo centrado (seção II.2) com $f_{H_0} = 870$ KHz;

c - densidade de eletrons e frequência de colisão entre eletrons e partículas neutras: foram utilizados os perfis deduzidos por Deeks (seção II.1.1);

d - dados relativos ao método de integração da equação (2.45) tais como: intervalo de integração, altitude de início e fim da integração, altura abaixo da qual a frequência de plasma é feita igual a zero (isto é, onde a densidade eletrônica é suposta nula);

Com estas informações o programa de onda completa fornece os campos E e H da onda ponto a ponto na baixa ionosfera, os coeficientes de transmissão e reflexão para os diversos modos de polarização da onda incidente (penetrante, não penetrante, horizontal, vertical) e os coeficientes de reflexão de Budden (1966).

IV.3.2 - Resultados

Quando o ponto de penetração da onda na baixa ionosfera encontra-se a uma distância maior que 1000 Km do transmissor, o vetor de propagação da onda forma um ângulo de incidência próximo de 80° em cada ponto de reflexão da onda na borda inferior da ionosfera. Para determinar o fluxo de potência refletido (p_r) na primeira incidência na ionosfera deve-se conhecer o coeficiente de reflexão para polarização vertical da onda (R_v), pois a onda é transmitida com este tipo de polarização. Podemos calcular este coeficiente conhecendo os coeficientes de Budden; como sabemos que a onda incidente possui o campo elétrico no plano de incidência e que a onda refletida pode ter a direção do campo elétrico em uma direção genérica, podemos escrever

$$|R_v|^2 = ||R_{||}|^2 + ||R_{\perp}|^2 \quad (4.32)$$

onde, no 2º membro, foram utilizados dois dos quatro coeficientes de reflexão de Budden. Nestes coeficientes o índice que precede R indica a situação do campo elétrico da onda com relação ao plano de incidência (paralelo ou normal ao mesmo) antes da reflexão e o segundo índice dá a situação após a reflexão. Os

valores de todos os coeficientes de reflexão de Budden podem ser determinados pelo programa de onda completa. Para este cálculo, devemos conhecer, entre outras coisas, o valor do ângulo de incidência I na ionosfera ($= 80^\circ$) e o ângulo de inclinação magnética (DIP na Fig. 9); o valor do DIP local (entre 350 e 1000 Km do transmissor) foi suposto igual ao valor do mesmo no local do transmissor NAA, isto é, 72° (aproximação do dipolo para o campo magnético da Terra); verificamos que o erro máximo que se comete no DIP é aproximadamente 5° , o que não influí de maneira apreciável no cálculo do coeficiente de reflexão nestas latitudes. O coeficiente de reflexão R_v irá variar conforme a direção seguida pela onda ao deixar o transmissor. A caracterização desta direção pode ser feita através do azimute magnético no transmissor. Utilizando $I = 80^\circ$ e $DIP = 72^\circ$ obtemos o gráfico da Fig. 19 ao se variar o ângulo de azimute magnético no transmissor (χ_{NAA}). Analisando esta figura, verificamos que a propagação da onda de oeste para leste ($\chi_{NAA} = +90^\circ$) é melhor que a de leste para oeste ($\chi_{NAA} = -90^\circ$) com respeito ao guia formado pela Terra e baixa ionosfera. Este resultado está de acordo com as conclusões fornecidas por Wait (1964) para propagação no referido guia, apesar de terem sido obtidas por método diverso. Observar que R_v possui um valor relativamente elevado (entre 0,5 e 0,6) devido ao ângulo de incidência da onda na baixa ionosfera ter valor bastante elevado ($I = 80^\circ$). Verificamos também que as direções menos convenientes para propagação da onda dentro do guia ocorrem para ângulos azimutais de $\sim 40^\circ$ e $\sim 170^\circ$ no transmissor.

Outro parâmetro que devemos conhecer para obter o campo magnético da onda na alta ionosfera é o coeficiente de transmis-

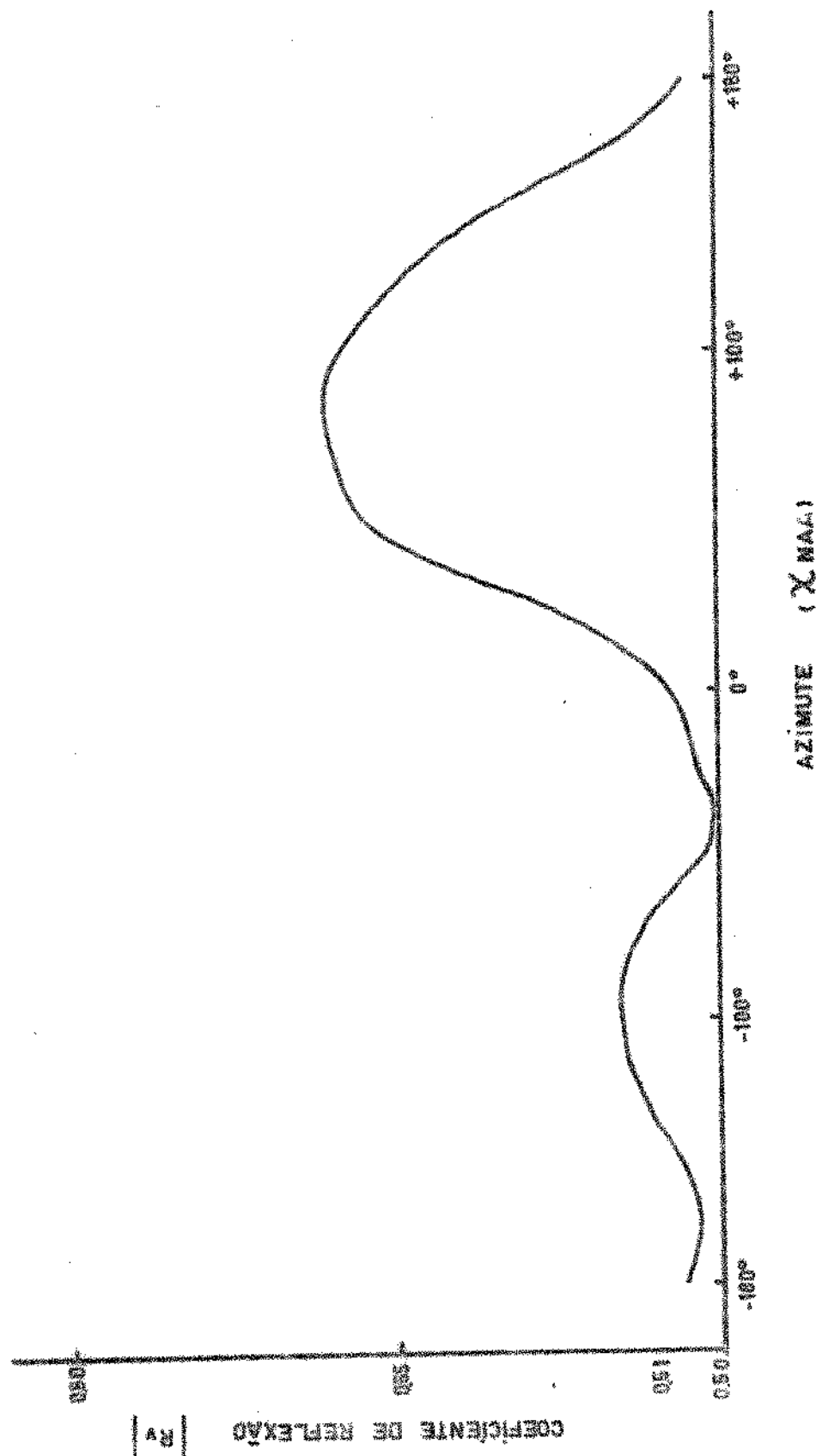


Fig. 16 - VARIAÇÃO DO COEFICIENTE DE REFLEXÃO PARA POLARIZAÇÃO VERTICAL DA Onda (R_v) COM RELAÇÃO AO AZIMUTE MAGNÉTICO NO TRANSMISSOR (χ_{\max}) FIXADO DIP = 72° , Y = 30°

são da onda na baixa ionosfera (vide (4.20)). Para o cálculo desse coeficiente devemos especificar a polarização da onda incidente e o valor do ângulo de inclinação magnética (DIP) e de azimute (χ_R) no ponto de penetração. Para decidir sobre o tipo de polarização da onda incidente no ponto de penetração especificamos na figura 20 a variação dos coeficientes de reflexão de Budden $||R||$ e $||R_{\perp}||$ com o azimute na primeira reflexão na ionosfera. Sabemos que o campo elétrico da onda antes da reflexão é paralelo ao plano de incidência e observando a Fig. 20 notamos que o campo elétrico após a reflexão deverá ainda permanecer praticamente neste plano pois $||R||$ é no mínimo duas vezes maior que $||R_{\perp}||$. Devido a este fato iremos simplificar o problema supondo polarização vertical no ponto de penetração. No capítulo seguinte iremos comentar sobre esta simplificação. Para o cálculo do coeficiente de transmissão para polarização vertical (T_v) é necessário ainda especificar os ângulos de DIP e χ_R . Fixando o DIP e variando o azimute χ_R entre -180° e $+180^{\circ}$ obtemos os gráficos da Fig. 21. Este procedimento equivale a fixar um ponto na borda inferior da baixa ionosfera e verificar como varia o coeficiente de transmissão T_v para ondas vindas de todas as direções.

Devemos observar os seguintes fatos ao analizar a Fig. 21:

a - todos os coeficientes de transmissão T_v foram obtidos para ângulo de incidência fixo de 80° . Isto significa que as curvas obtidas não valem para regiões de penetração na baixa ionosfera próximas do transmissor;

b - para $DIP = 90^{\circ}$, isto é, para a situação em que o campo

magnético é vertical (polo norte e sul magnéticos) existe uma simetria perfeita para ondas provenientes de qualquer direção. Isto faz com que o coeficiente de transmissão permaneça constante (no caso $T_v \approx 0,18$) com respeito a variações do ângulo azimutal;

c - para ângulos de DIP pequenos (entre 0° e 8°), isto é, em regiões próximas do equador magnético, o coeficiente de transmissão é praticamente nulo devido ao vetor de propagação ser aproximadamente normal ao campo magnético terrestre, acarretando grande absorção da onda ao percorrer a baixa ionosfera. Concluimos, portanto, que o campo magnético da onda na alta ionosfera para estas latitudes magnéticas será devido a ondas vindas pela alta ionosfera e não pelo guia de onda;

d - as curvas para os demais ângulos de DIP apresentam comportamento semelhantes, tendo um ponto de máximo próximo de $\pm 180^\circ$ quando, então, o vetor de propagação forma um ângulo mínimo com a direção do campo magnético terrestre;

e - como podemos observar, as curvas não são simétricas com relação ao ângulo de azimute igual a zero, com exceção dos casos particulares em que DIP = 90° e DIP entre 0° e 8° . O ponto de mínimo das curvas ocorre para ângulos azimutais positivos, correspondendo a regiões localizadas a leste do transmissor;

f - o valor do ângulo de DIP que acarreta transmissão máxima através da baixa ionosfera é aproximadamente 28° . Nestas condições o azimute vale aproximadamente 180° . Esta conclusão também é válida para polarização horizontal e modo penetrante.

Convém lembrar que os gráficos das figuras 19, 20 e 21 foram obtidos utilizando-se o perfil noturno para a densidade eletrônica (Fig. 2), a frequência de colisão indicada na Fig. 3 e a aproximação do dipolo centrado para o campo magnético terrestre. Esta última imposição influí no valor de inclinação magnética (DIP) e na girofrequência (f_H) a uma certa altitude; no caso fixamos a altitude em 100 Km.

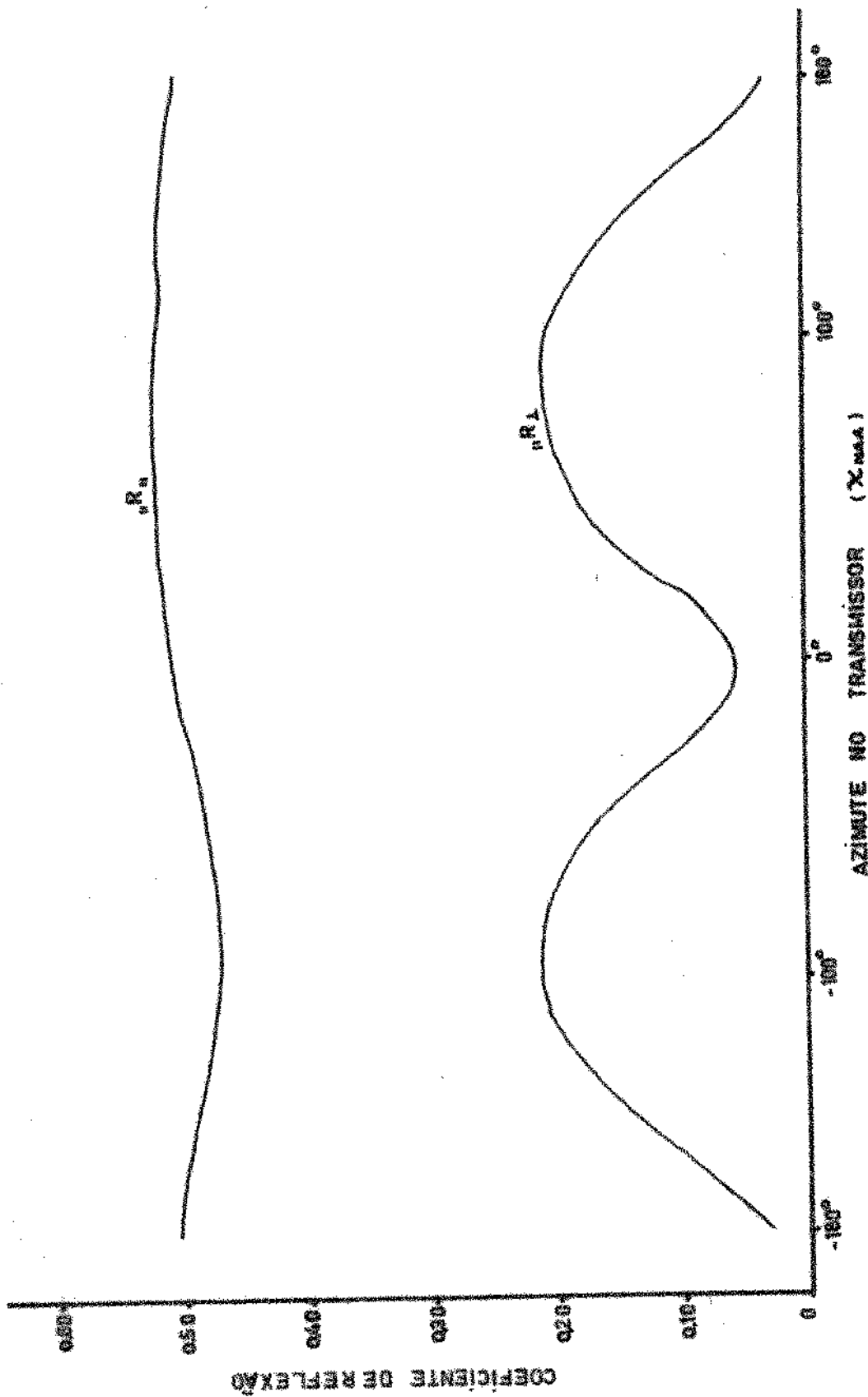


FIG. 20 VARIAÇÃO DOS COEFICIENTES DE REFLEXÃO R_u E R_L
COM O AZIMUTE A 1000 Km DO TRANSMISSOR

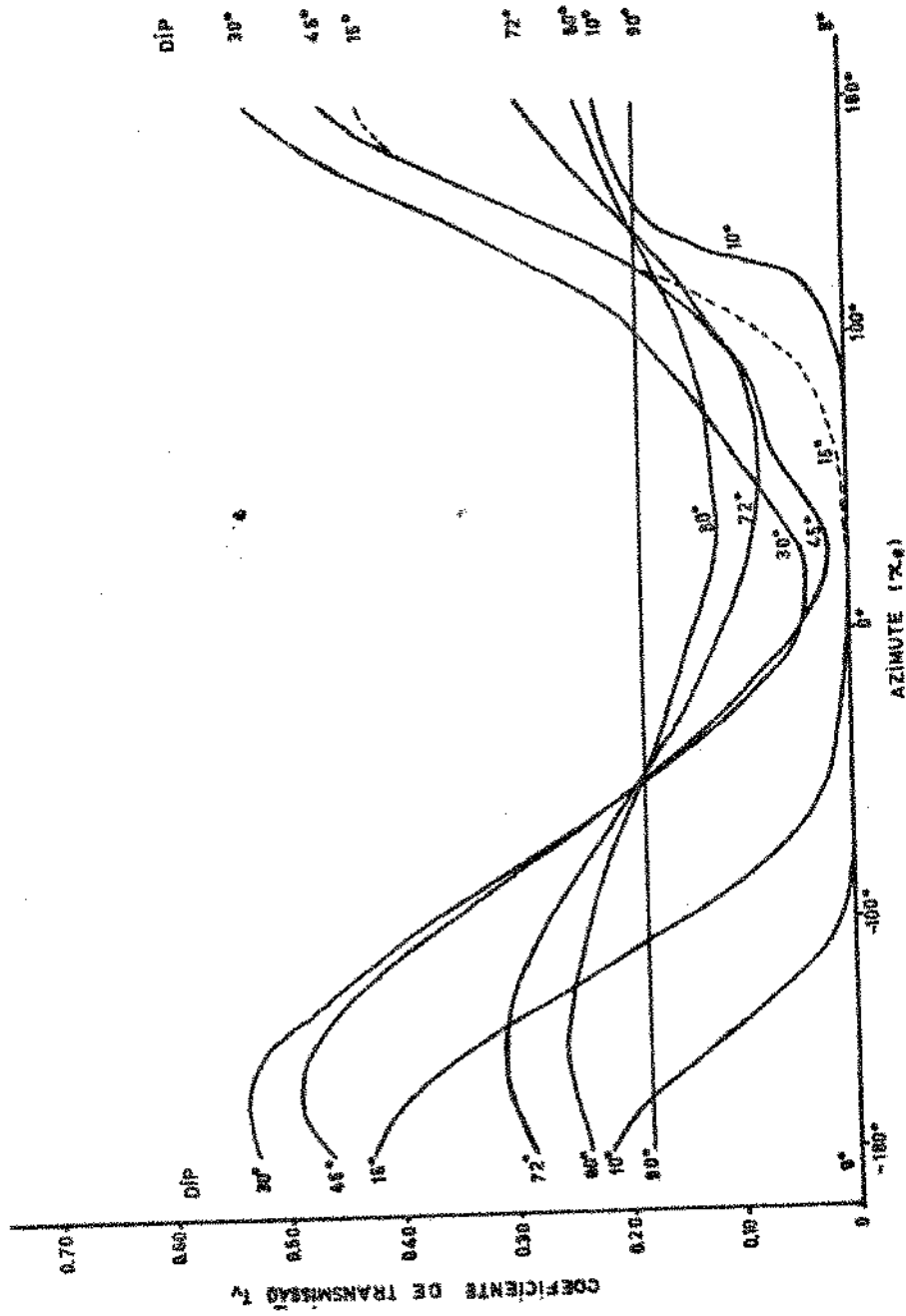


FIG. 21 - VARIACAO DO COEFICIENTE DE TRANSMISSAO PARA POLARIZACAO VERTICAL (TV) COM RELACAO AO AZIMUTE MAGNETICO NO PONTO DE PENETRACAO (ZM) PARA VARIOS ANGULOS DE INCLINACAO MAGNETICA (GIP) * PERIODO NOTURNO.

V. Mapeamento das intensidades do Campo da Onda de VLF

V.1 - Processo Utilizado

Iremos fazer a previsão das intensidades do campo magnético da onda na alta ionosfera apenas para o período noturno. Para o período diurno o procedimento utilizado é o mesmo que o indicado abaixo, variando apenas a quantidade numérica associada a cada um dos parâmetros.

Procedimento:

i - fixa-se um ponto de emergência da baixa ionosfera no hemisfério norte geográfico. Conhece-se, desta forma, as coordenadas geográficas deste ponto e sua altitude (120 Km). Nos cálculos variamos a latitude entre 0° e 70° em intervalos de 10° e a longitude em uma faixa de 180° , centrada na estação NAA com intervalos de 20° .

ii - Como conhecemos as coordenadas geográficas da estação NAA e do polo norte magnético, determinamos (Apêndice C) a distância (d) entre transmissor e ponto de penetração (suposto com as mesmas coordenadas do ponto de emergência), ângulo de azimute magnético no transmissor (X_{NAA}) e no ponto de penetração (X_R), além da attenuação total (Γ) no percurso considerado.

iii - Conhecendo-se as coordenadas geográficas do ponto de

emergência, pode-se ainda calcular as coordenadas magnéticas (Φ_i, Λ_i) e o ângulo de inclinação magnética(DIP) neste ponto (Apêndice D).

iv - Fixada a latitude magnética Φ_i obtemos as duas latitudes magnéticas (Φ_s) na região do satélite (correspondendo à onda ascendente e descendente) utilizando o gráfico da Fig. 15. O conhecimento da longitude magnética de todos estes pontos é dispensável por considerarmos propagação ao longo do meridiano magnético na alta ionosfera.

v - Com o valor da latitude magnética no satélite Φ_s (altitude de 500 Km) obtemos o ganho de focalização G_F (Fig. 13) e o valor de μ_s (Fig. 18).

Conforme a distância d (ítem ii) seja maior ou menor que 1000 Km temos dois caminhos a seguir para determinarmos a intensidade do campo magnético da onda na alta ionosfera.

$d < 1000$ Km

vi - O campo magnético da onda é calculado utilizando a expressão (4.1) onde μ_s e G_F já foram determinados anteriormente, $P = 10^3$ (pois a potência deve ser especificada em Kw nesta expressão), T_v é determinado pelo programa de onda completa (Apêndice A) conhecendo-se os ângulos de DIP e X_R , β_i é obtido pelo programa de

traçado de raios (Apêndice B) e os demais parâmetros (I , n , s) são obtidos pelas expressões (4.2), (4.3) e (4.4).

$d > 1000$ Km

vi - O coeficiente de transmissão para polarização vertical da onda (T_v) é obtido por interpolação na Fig.21 conhecendo-se o ângulo DIP e o azimute X_R .

vii - Conhecendo-se d (ítem ii) determinamos a distância s entre transmissor e ponto de primeira reflexão; conhecendo-se s podemos calcular o fluxo de potência antes da primeira reflexão (p_i) e a atenuação total (Γ) no guia (com um dos dois métodos expostos na seção IV.1.2).

viii - com todos os parâmetros acima conhecidos, calculamos a intensidade do campo magnético da onda na alta ionosfera (expresso em dBy) pela expressão (4.31).

A título de exemplo vamos indicar um cálculo da intensidade do campo magnético da onda na alta ionosfera para distância maior que 1000 Km entre transmissor e ponto de penetração na ionosfera.

Cálculo típico.

Dado o ponto de penetração (R): latitude geográfica: 30°
longitude geográfica: -100°

1) obtemos a latitude magnética de entrada na baixa ionosfera

$\Phi_i = 40^\circ$ e o ângulo de inclinação magnética DIP = 59° (Apêndice D).

2) com $\Phi_i = 40^\circ$ obtemos a latitude magnética no satélite (Fig.15)

$$\Phi_s(500 \text{ Km}) = \begin{cases} 39^\circ & (\text{onda ascendente}) \\ -45^\circ & (\text{onda descendente}) \end{cases}$$

3) conhecendo-se Φ_s obtemos

$$a = \mu_s \text{ no satélite (Fig. 18)} \quad \begin{cases} 14,3 & (\text{onda ascendente}) \\ 4,4 & (\text{onda descendente}) \end{cases}$$

b = ganho de focalização G_F no satélite

$$(\text{Fig. 13}) \quad \begin{cases} 0,8 & (\text{onda ascendente}) \\ 4,4 & (\text{onda descendente}) \end{cases}$$

4) conhecendo-se as coordenadas geográficas do transmissor T

($\phi_{NAA} = 44,7^\circ$, $\lambda_{NAA} = -67,3^\circ$) determina-se (Apêndice C)

a = distância entre T e R d = 3300 Km

b = atenuação total Γ entre T e R

b.1 - pela teoria modal : (vide seção IV.1.2)

$$\Gamma = a_{\text{noite}} \left(\frac{d-1000}{1000} \right) = -2,4 \times 2,3 = -5,5 \text{ db}$$

b.2 - por reflexões intermediárias e espalhamento

(vide seção IV.1.2)

$$\Gamma_R = -12 \text{ db} \quad s = \frac{d}{5} = 660 \text{ Km}$$

$$E = 10 \log_{10} \frac{\sin(\frac{d}{a})}{\sin(\frac{s}{a})} = -6,8 \text{ db}$$

$$\Gamma = \Gamma_R + E = -18,8 \text{ db}$$

c = azimute magnético em T e em R

$$\chi_{NAA} = -108^\circ \quad \chi_R = -137^\circ$$

5) conhecendo-se s podemos calcular (por (4.17))

$$P_I = 10 \log p_i = -62,7 \text{ db}$$

6) Da figura 21, utilizando $\chi_R = -137^\circ$ e DIP = 59° obtemos
 $T_v = 0,37$

7) calculamos o campo magnético em dbγ pela expressão

$$\begin{aligned} H(\text{db}\gamma) &= 20 \log_{10} 27T_v + 10 \log \mu_s + 10 \log G_F + P_I + \Gamma \\ &= 20 - 62,7 + 10 \log \mu_s + 10 \log G_F + \Gamma \\ &= -42,7 + 10 \log \mu_s + 10 \log G_F + \Gamma \end{aligned}$$

a = onda ascendente

a.1 = atenuação dada por espalhamento + reflexões

$$H = -42,7 + 11,5 - 1 - 18,8 = -51,0 \text{ db}\gamma$$

a.2 = atenuação dada pela teoria modal:

$$H = -51,0 + 13,3 = -37,7 \text{ db}\gamma$$

b = onda descendente

b.1 = atenuação dada por espalhamento + reflexões

$$H = -42,7 + 6,4 + 7,6 - 18,8 = -47,5 \text{ db}\gamma$$

b.2 = atenuação dada pela teoria modal

$$H = -47,5 + 13,3 = -34,2 \text{ db}\gamma$$

Logo a 500 Km de altitude temos:

$$\text{Para } \Phi_s = 39^\circ \quad \begin{cases} H = -51,0 \text{ db}\gamma & \text{se } \Gamma = \Gamma_R + E \\ H = -37,7 \text{ db}\gamma & \text{se } \Gamma = \Gamma_w \end{cases}$$

$$\text{Para } \Phi_s = -45^\circ \quad \begin{cases} H = -47,5 \text{ db}\gamma & \text{se } \Gamma = \Gamma_R + E \\ H = -34,2 \text{ db}\gamma & \text{se } \Gamma = \Gamma_w \end{cases}$$

Em todos os cálculos feitos sempre o campo magnético da onda calculado com o uso da atenuação dada pela teoria modal deu valor maior que o calculado com a atenuação devida às reflexões intermediárias e espalhamento. Como veremos na seção seguinte (V.2) o uso da atenuação da teoria modal resulta, geralmente, em uma previsão teórica do campo magnético bem superior ao campo magnético medido.

V.2 - Comparação entre Resultados Teóricos e Experimentais

Utilizando o processo de cálculo que foi indicado na seção anterior (com $\Gamma = \Gamma_R + E$) calculamos a intensidade do campo magnético da onda a 500 Km de altitude em mais de 100 pontos para o período noturno, supondo a estação NAA transmitindo à meia noite. Esta última condição (transmissão à meia noite) não é necessária e foi adotada para que o mapeamento obtido fosse simétrico com relação ao transmissor. Interpolando os valores obtidos levantamos o mapeamento indicado na Fig. 22. Nesta figura a região noturna está compreendida entre as longitudes geográficas de $+20^\circ$ e -160° aproximadamente (linhas verticais traçadas); nela indicamos várias curvas de mesma intensidade de campo magnético da onda (em $\text{db}\gamma$) a 500 Km de altitude juntamente com as intensidades em alguns pontos isolados; para facilitar a visualização nas análises a serem feitas mais adiante, indicamos os paralelos correspondentes a 0° , -20° e -60° de latitude magnética. A linha AB corresponde aproximadamente a duas passagens do satélite OGO-4 (de A para B), que serão utilizadas na comparação entre resultados teóricos e experimentais.

Analizando a Fig. 22 verificamos que no hemisfério norte as intensidades de campo magnético diminuem sistemáticamente ao se afastar do transmissor sobre um plano geocêntrico, com exceção da região situada a nordeste da estação NAA onde as linhas do campo magnético da onda se apresentam bastante sinuosas. Logo abaixo do equador magnético (na faixa de 0° a 20° de latitude magnética) existe uma região onde a intensidade do campo magnético é muito pequena (abaixo de $-70 \text{ db}\gamma$). Na Fig. 22 indica-

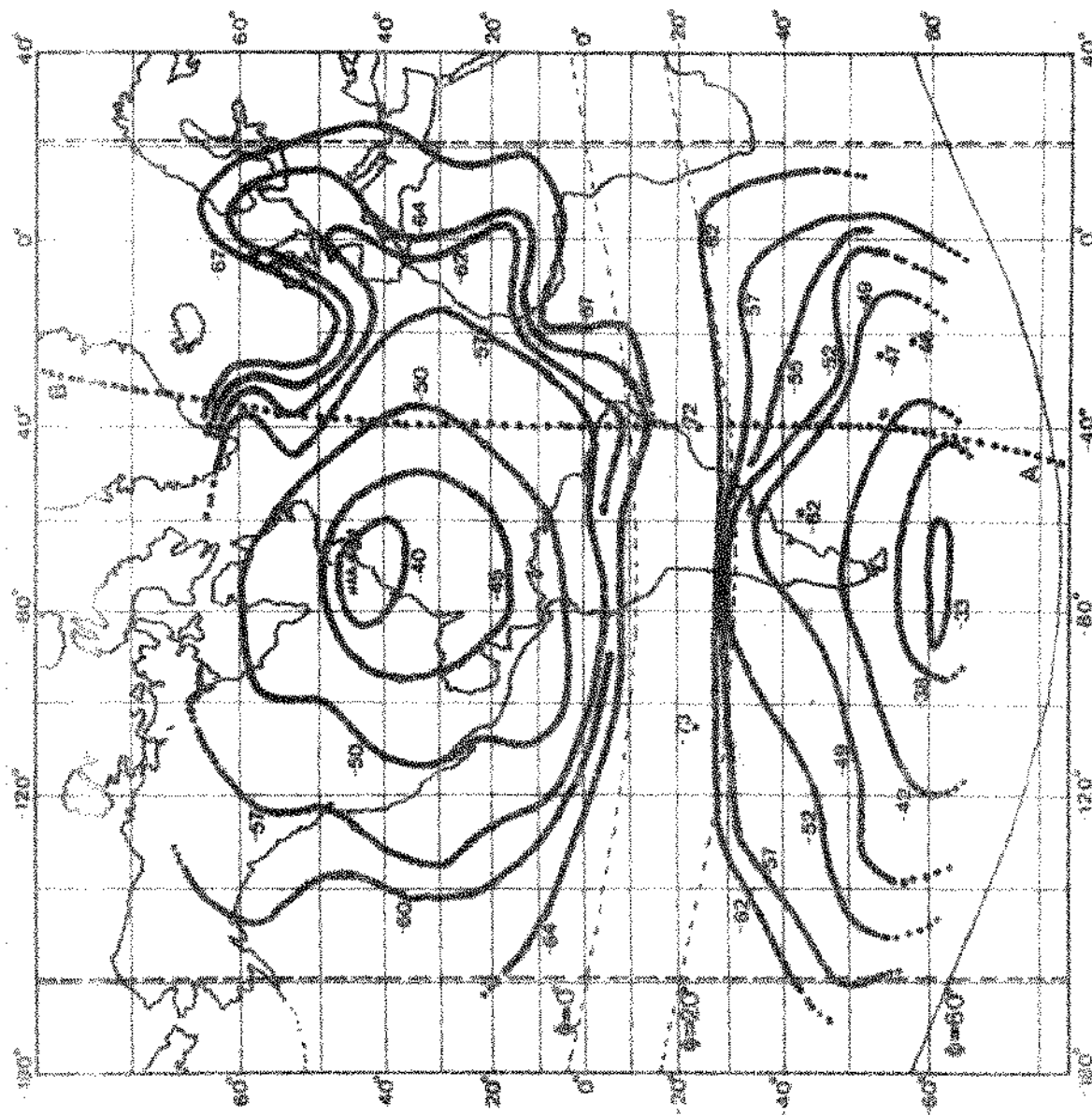


FIG. 22 - MAPAMENTO DAS INTENSIDADES DE CAMPO MAGNÉTICO EM DEZ PARA ESTAÇÃO NAA E SATELITE A 600 KM DE ALTURA.

mos apenas dois pontos isolados nesta região ($-72 \text{ db}\gamma$ e $-73 \text{ db}\gamma$); este comportamento é devido à grande desfocalização dos raios nesta área; analisando o comportamento do ganho de focalização (Fig. 13) verificamos que a região de mínima intensidade do campo magnético da onda deve ocorrer em aproximadamente -14° de latitude magnética pois os demais fatores que influem na intensidade do campo (T_v , μ_s , Γ e p_i) não variam de maneira apreciável nesta região. No hemisfério sul existe uma região conjugada magnéticamente ao transmissor em que a intensidade do campo magnético da onda é muito alto (vide curva de $-33 \text{ db}\gamma$, por exemplo). O aumento do campo (quase simétrico com relação ao hemisfério norte) ao se afastar do equador magnético na direção sul reflete o fato de os raios se propagarem na alta ionosfera próximos das linhas de força do campo magnético terrestre. Todas as linhas de mesma intensidade de campo magnético indicadas no hemisfério sul não deverão cruzar o paralelo de latitude magnética igual a -60° devido à localização da plasmopausa nesta região (vide seção III.2).

Na Fig. 23 mostramos as medidas feitas pelo satélite OGO-4 nos dias 17 de janeiro (revolução 2543) e 19 de fevereiro (revolução 3028) de 1968, correspondendo às curvas 1 e 2 respectivamente; na escala vertical indicamos a intensidade do campo magnético da onda em decibeis abaixo de 1 gama ($\text{db}\gamma$) e na escala horizontal indicamos a posição do satélite através da latitude e longitude geográficas e da latitude magnética. Ambas as passagens ocorrem para o período noturno e sobre a linha AB indicada na Fig. 22, correspondendo a um período de aproximadamente 45 minutos de registro. Na região em torno do equador onde ocorre o mínimo na intensidade de campo a hora universal era 03.55 UT (~ zero hora local

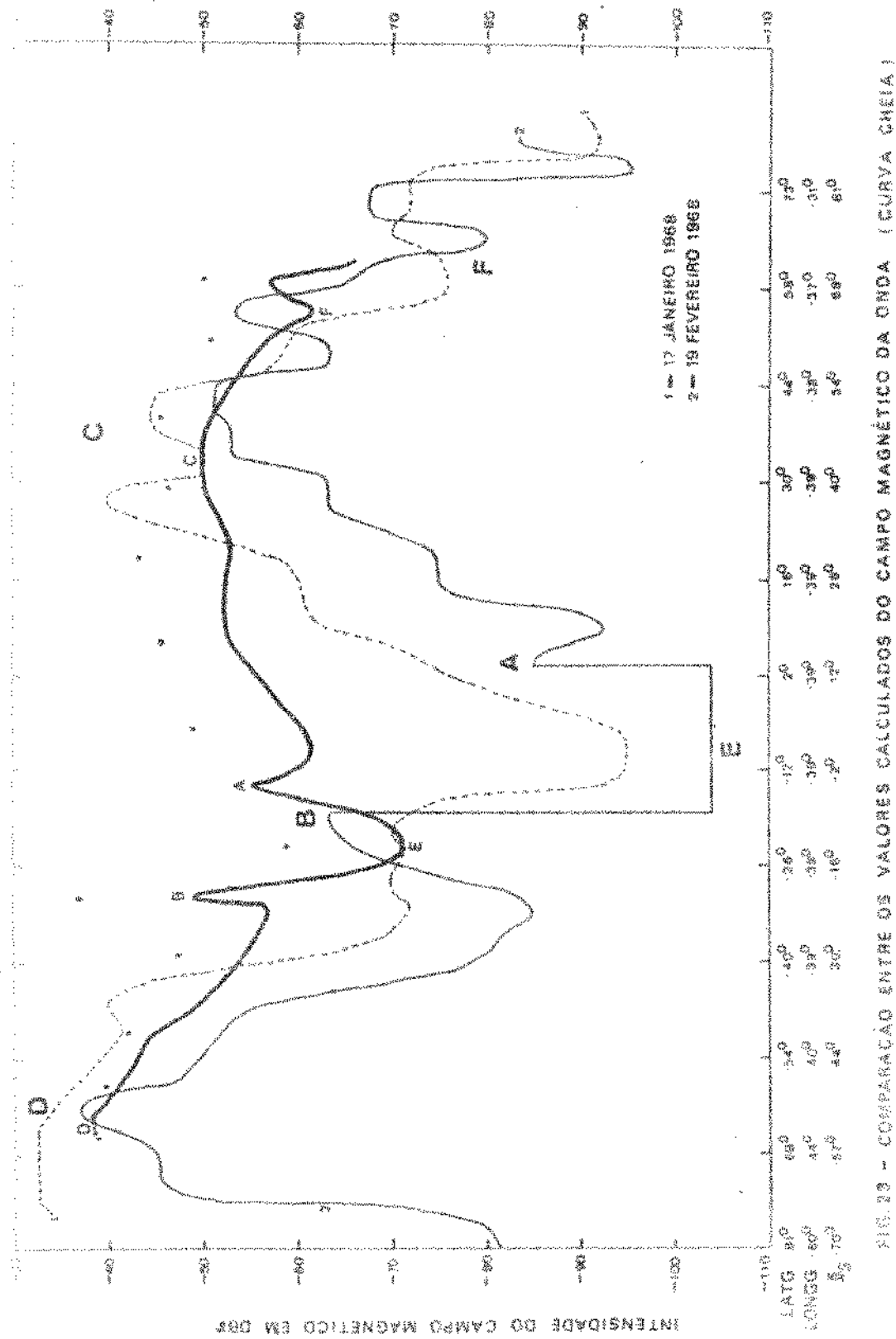


FIG. 28 - COMPARAÇÃO ENTRE OS VALORES CALCULADOS DO CAMPO MAGNÉTICO DA ONDA (CURVA CHICA) E OS VALORES MEDIOS PELO SATELITE OG-4.

na estação transmissora NAA) para a revolução 2543 (17 jan 1968) e 00.52 UT (~21 horas na NAA) para a revolução 3028 (19 fev 1968). A curva cheia é teórica e foi obtida lendo-se as intensidades de campo sobre a linha AB; na região de grande desfocalização, no entanto, não há possibilidade de observarmos diretamente sobre a linha AB as variações mostradas na curva teórica da Fig. 23.

Os pontos isolados acima da curva teórica são obtidos utilizando-se a atenuação dada pela teoria modal (Wait, 1964). Verifica-se que a atenuação proporcionada por esta teoria é insuficiente na maioria das vezes e será abandonada nas análises seguintes.

Ambas as curvas experimentais apresentam uma grande queda na intensidade do campo em latitudes próximas do equador magnético (região E da Fig. 23); na curva 2 esta queda é tão acentuada que leva o receptor à bordo do satélite abaixo do seu limiar de detecção (de ~104 db γ). Ao se distanciar desta região de grande desfocalização em direção norte ou sul ocorrem picos na intensidade de campo (regiões A e B) que estão bastante visíveis na curva 2. Nas regiões mais próximas do transmissor e em sua região conjugada no hemisfério sul (região C e D respectivamente) a intensidade do campo magnético da onda é elevada. É interessante notar que em ambas as curvas a intensidade do campo é maior no hemisfério conjugado do que nas proximidades do transmissor. Na curva 1 esta intensidade é tão elevada que leva o receptor à saturação (~32 db γ). Observar, contudo, que o satélite em seu deslocamento de A para B (Fig. 22) não passa apenas por curvas conjugadas magnéticamente.

Todo o comportamento visto no parágrafo acima é reproduzido pela curva teórica. As regiões de equivalência estão indicadas com letras menores na curva teórica do que na curva experimental. As variações observadas nas regiões A, E e B são devidas em grande parte ao ganho de focalização dos raios. Os picos A e B são também devidos ao coeficiente de transmissão elevado na região A e que implica magnéticamente na região B.

A região C possui intensidade elevada devido à baixa attenuação na região compreendida entre a superfície terrestre e a borda inferior da baixa ionosfera antes da penetração na ionosfera; o valor de μ_s e T_v possuem também contribuição apreciável nesta região.

A região D possui intensidade mais elevada que C por ser o mapeamento da região C no hemisfério sul mais um ganho alto de focalização dos raios.

O vale que ocorre na região F é devido ao baixo coeficiente de transmissão na baixa ionosfera para esta direção; este fato pode ser claramente observado na região compreendida entre os paralelos $+50^\circ$ e $+60^\circ$ e os meridianos -20° e -50° geográficos na Fig. 22. A aproximação das curvas em direção ao transmissor indica diminuição da intensidade de campo. Esta fenômeno já havia sido notado anteriormente (Scarbucci, correspondência particular); esta é, porém, a primeira vez que se dá uma justificativa teórica para o fato.

Para regiões mais ao norte de F o campo decresce devido principalmente ao aumento da atenuação no guia de onda e ao baixo coeficiente de transmissão.

Observar que nas regiões C e D a concordância numérica entre os resultados teóricos e os dados experimentais é excelente. Na Fig. 24 reproduzimos a Fig. 23 com a curva teórica deslocada de 14° geográficos em direção ao norte para se verificar a analogia de comportamento entre teoria e dados experimentais; as setas indicam a região F das três curvas.

Os dois fatos discrepantes entre as curvas experimentais e a teórica são:

a - alta intensidade de campo prevista pela curva teórica em regiões próximas do equador.

b - a região de alta desfocalização na curva teórica ocorre aproximadamente 14° ao sul da região equivalente da curva experimental.

Para verificar a razão destas duas discrepâncias devemos analisar certas hipóteses feitas para se obter a curva teórica:

19) Scarabucci (1969b) mostra que a intensidade e localização da região de desfocalização podem ser ajustadas variando-se a escala de altura do hidrogênio e a região em que ocorre a transição entre O^{+} e H^{+} na ionosfera. Como o estudo feito não é restrito a esta região de desfocalização, não foi tentado este ajuste.

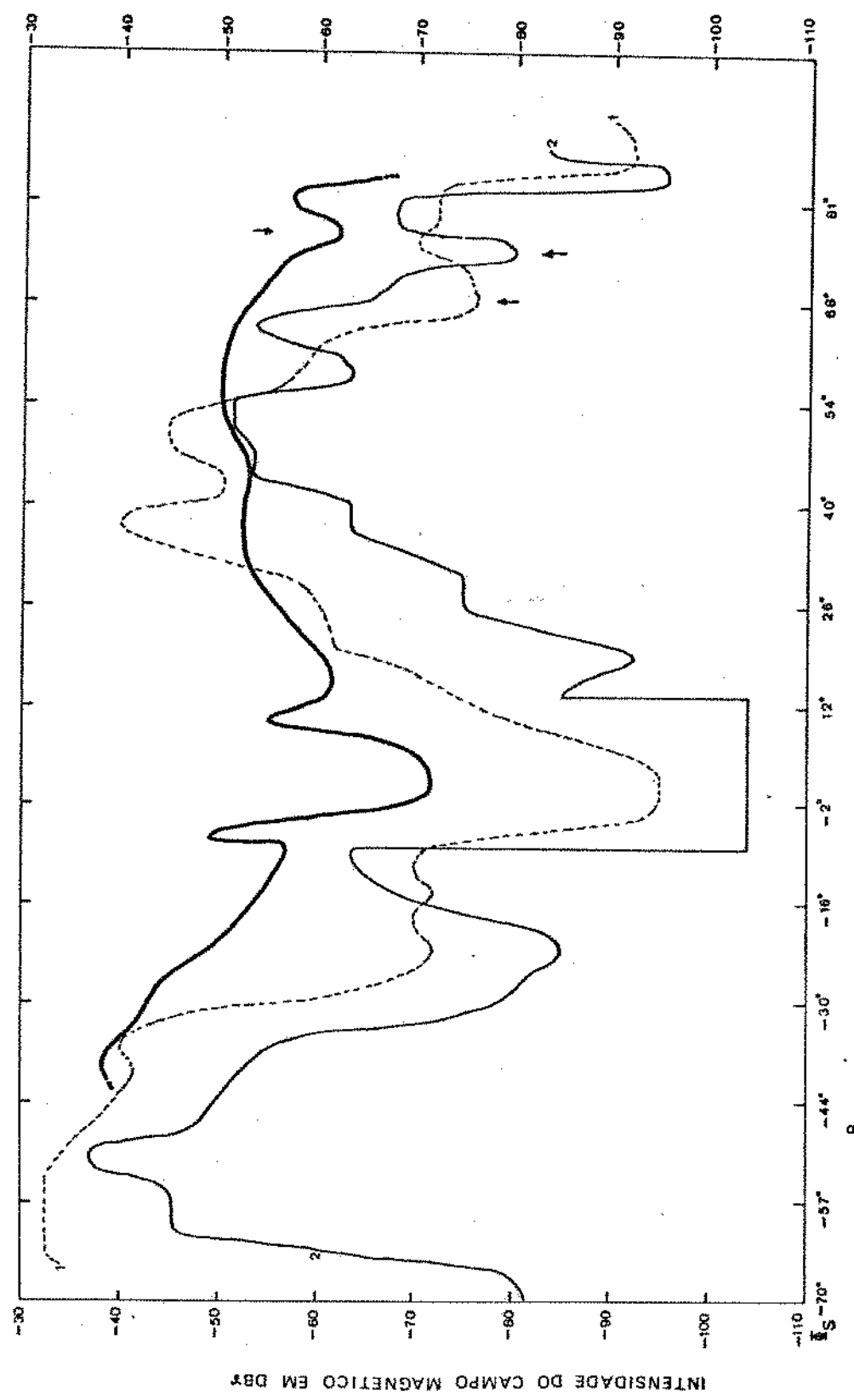


FIG. 24 - REPETIÇÃO DA FIGURA 23 COM A CURVA CALCULADA DESLOCADA A FIM DE COINCIDIR A REGIÃO DE DESFOCALIZAÇÃO EQUATORIAL.

29) - Os dados experimentais são obtidos para altitudes que variam entre 400 e 900 Km, enquanto que os resultados teóricos são válidos apenas para a altitude de 500 Km; ao analisarmos as curvas 1 e 2, verificamos que na curva 2 o satélite encontrava-se a ~870 Km de altitude na região E (da Fig.23) e na curva 1 o satélite encontrava-se a ~600 Km de altitude na mesma região. Estas informações adicionais parecem sugerir os seguintes fatos

a - ao diminuir a altitude na região de desfocalização o campo magnético aumenta; desta forma é lícito esperar que para a altura de 500 Km a intensidade do campo aumenta.

b - ao diminuir a altitude o centro da região de desfocalização desloca-se para o sul; este fato justificaria um certo deslocamento da curva teórica a 500 Km para o sul (não todo o deslocamento obtido).

Um outro fato que parece indicar as curvas 1 e 2 é a diminuição da largura da região de desfocalização com a diminuição da altura.

39) - A atenuação calculada utilizando-se as reflexões intermediárias entre transmissor e ponto de penetração supõe sempre polarização vertical da onda incidente na ionosfera. Esta aproximação é bas-

tante razoável próximo do transmissor (vide Fig. 20). Porém, após várias reflexões (pontos afastados do transmissor) ocorrem situações em que $| | | R_{\perp} | | |$ é maior que $| | | R_{||} | | |$ e a aproximação usada não é mais válida. Quando este fato ocorre mais que uma vez no percurso considerado, podemos esperar uma inversão na polarização da onda (de polarização vertical para horizontal) e para o cálculo do campo magnético da onda neste caso, a aproximação mais razoável é utilizar-se o coeficiente de transmissão para polarização horizontal; com este procedimento verifica-se que a curva teórica na região de desfocalização cai de aproximadamente 5 db.

Para verificar a faixa de valores possíveis para o campo magnético da onda, podemos utilizar o módulo dos quatro coeficientes de reflexão de Budden e calcular em cada ponto de reflexão na ionosfera os fluxos de potência paralelos e normais ao plano de incidência (antes e após cada reflexão). O valor máximo do campo é obtido somando-se sempre as componentes de fluxo de potência situadas em um mesmo plano (interferência construtiva) e o valor mínimo é obtido subtraindo-se sempre as referidas componentes (interferência destrutiva). Este cálculo é bastante trabalhoso por necessitar do valor de DIP e azimute em cada ponto de reflexão. Para o cálculo do fluxo de potência transmitido pela baixa ionosfera utiliza-se o coeficiente de transmissão vertical para a componente do fluxo segun-

do esta direção e caso análogo para a componente horizontal. Alguns cálculos feitos mostram que a faixa de valores possíveis do campo magnético da onda na alta ionosfera aumenta ao aumentar a distância percorrida no guia de onda. Não foi notada melhora sensível na previsão do campo magnético da onda utilizando este processo.

49) - O perfil eletrônico utilizado certamente não está ajustado criteriosamente aos perfis existentes nos dois dias considerados nas curvas experimentais. Em particular, a modulação adotada para o perfil eletrônico é simétrica com relação ao equador magnético; esta aproximação deverá ser razoável durante o equinócio, quando, então, o sol encontra-se no plano do equador geográfico da Terra. Como em ambas as curvas experimentais estamos no inverno no hemisfério norte, a densidade, eletrônica deve ser menor neste hemisfério, desfazendo a simetria suposta no modelo utilizado.

V.3 - Conclusões

Analisando a teoria exposta e comparando os resultados obtidos com dados experimentais verificamos que:

- 1º) as variações da intensidade de campo magnético da onda na alta ionosfera podem ser previstas com razoável precisão pelo método exposto neste trabalho. Os principais fatores que influem na determinação dos campos na alta ionosfera são o coeficiente de transmissão, o ganho de focalização e as perdas que ocorrem no espaço Terra - baixa ionosfera, i.é., perdas por reflexos e espalhamento;
- 2º) o ganho de focalização prevê os picos de intensidade de campo magnético da onda que ocorrem na saída da região de desfocalização em torno do equador (regiões A e B da Fig. 23);
- 3º) em uma faixa de aproximadamente 30° próxima da latitude do transmissor e em sua região conjugada (faixa de aproximadamente 20° de latitude na Fig. 23) a previsão teórica da intensidade de campo magnético da onda e os resultados experimentais estão em excelente concordância;

49) é dada uma justificativa teórica ao fenômeno de mí-nimo relativo na intensidade de campo magnético da onda que é observado a leste do transmissor;

50) para pontos de penetração afastados do transmissor, o modelo teórico prevê uma intensidade de campo magnético maior que o medido; são feitas algumas suges-tões para melhorar o ajuste entre o modelo teórico e os resultados experimentais nesta região (seção V.2).


```

63 CONTINUE
      DELTA = -2.000*X*Y*Z*CD*SD*C*C
      EPSY = X*A1*X*A1*UPX + Y*YY*YC*C1 - XY2*(C*CD*AN)*A2
      C
      C BETA = BETA/ALPHA
      GAMA = GAMA/ALPHA
      DELTA = DELTA/ALPHA
      EPSY = EPSY/ALPHA
      65 CONTINUE
      ALPHA = 0.750*BETA*BETA ~ 2.0*DODGARA
      C
      C IF(CD*BASIBETAEQ.0., AND CD*BASIS(DELTA).EQ.0.) GO TO 20
      C
      C THE RESOLVENT CUBIC
      C
      P = ~GAMA
      QQ = BETA*BETA + 4.00*BEPSSY
      R = ~BETABETA*EPSY + 4.00*GAMA*EPSY ~ BETA*Y*DELTA
      C
      AA = QQ - 3.3333333333333330-01*P*P
      BB = 1.P+P/1.320011 + 3.3333333333333330-01*P*QQ + R
      C
      QQ = CD*RESR + 2.000*B8*RR + (AA*AA*AA/2.750011)
      AL = -0.500*RR + 50
      A2 = -0.500*RR - 50
      A1 = 3.3333333333333330-01*CD*BS(A1)
      AT = CD*EP(A1)
      XI = AT - 3.3333333333333330-01*(AA*AT) + P
      C
      THE SOLUTION FOR Q
      C
      RR = 0.2200*DELTA*RRETA - GAMA + XI
      20 IF (CD*BS(R1,L1,1.0D-70) GO TO 21
      RR = CD*BS(R1)
      ABC = (RT*GAMA ~ 2.00*DELTA ~ 0.2500*BS*Y*TA*BETA)/RA
      ON = CD*ORTALPHA ~ RR*RR + ABC
      EE = CD*ORTALPHA - RR*RR - ABC
      GO TO 22
      C
      21 XI = GAMA
      ABC = CD*ORT(X*XI) ~ 4.00*D0*EP3(Y)*Z*0.0D0
      DD = CD*ORTALPHA ~ ABC
      EE = CD*ORTALPHA ~ ABC
      22 IF (CD*BS(D0,L1,1.0D-70) GO=0.0D0 + A1*0.0D0
      IF (C*BS(EE,L1,1.0D-70) RE= 0.0D0 + A1*0.0D0
      A1 = ~0.7500*HEA + 0.500*RR
      A2 = -0.2500*RRETA ~ 0.500*RR
      C
      THE FOUR ROOTS
      C
      Q111 ~ A1 + 0.500*RR
      Q121 ~ A1 - 0.500*RR
      Q131 ~ A2 + 0.500*RR
      Q141 ~ A2 - 0.500*RR
      C
      DC 23 1*1.4
      A1 = 0.0D0*Q111
      QR(11) = 0.500*Q111 + A1
      23 QR(11) = -A1*0.500*Q111 ~ A1
      C
      PRINT 600, QR(11)+Q111,QR(21,Q112),QR(3),QR(3),QR(4),QR(4)
      C
      C CHOOSING EIGENVALUES FOR UPGOING WAVES AT THE TOP
      C
      J = 0
      DO 24 1=1,4
      IF (QR(11) ~ A1*Q111) GO TO 24
      J = J + 1
      QR(J) = QR(11)
      Q1(J) = Q111
      C
      24 CONTINUE
      C
      QQ = Q111 ~ Q112
      IF (QR(11) ~ 25.1*26)
      25 Q111 = QR(11) + A1*Q111
      QR(2) = QR(2) + A1*Q112
      GO TO 27
      C
      26 Q111 = QR(12) - A1*Q112
      QR(2) = QR(11) + A1*Q111
      C
      C Q111 CORRESPONDS TO THE UPGOING WAVE EIGENVECTOR AT THE TOP
      C
      C Q112 CORRESPONDS TO THE TRAVELING WAVE EIGENVECTOR AT THE TOP
      C
      C COMPUTATION OF THE EIGENVECTORS AT THE TOP
      C
      27 ALPHA = U*U*UU - V*V*VV - XX*UXU ~ Y*V*VY
      B1 = XX*UXY*V*VY
      B2 = XX*UYV*V*VY/ALPHA
      B3 = U*U*UU - V*V*VY/ALPHA
      B4 = XX*V*VY*V*VY/ALPHA
      B5 = XX*V*VY*V*VY/ALPHA
      T11 = -A1*A1*RR1
      T12 = A1*RR2
      T13 = A1*RR3
      T14 = 1.0D0 - B1*B1
      T21 = A1*RR1
      T22 = -A1*A2*B2
      T23 = 1.0D0 - B2*B2
      T41 = 1.0D0 - B3*B3
      T42 = -A1*RR3
      T43 = A1*RR4
      00 35 1=nv2
      A6 = Q111 + T11
      A1 = T1111 - T111*RR6 ~ T14*T41
      A2 = T1111 - T221*RR6 ~ T13*T42
      A3 = T12*RR6 + T16*T42
      A4 = T21*RR6 + T15*T41
      A5 = T23*RR6 - T13*T41
      A6 = T13*RR6 - T14*T41
      C
      STARTING EIGENVECTORS
      C
      V211 = 1.000
      V212 = 0.000
      C

```



```

1 3.05096518E429311D0*AUX218,143,83286476046791000*x2
C   2D + H
15M2 = 6
GO TO 1
235 DN 235 1e+6
Y1(1) = AUX1(6,1) + 1.74160282626904D-01*AUX1(5,1)
1 5.51716052867129E-01*AUX1(4,1) + 205355939652300*AUX1(7,1)
2 1.711838215100D-01*AUX1(6,1)
235 Y2(1) = AUX1(6,1) + 1.74160282626904D-01*AUX2(5,1)
1 5.5171605286729E-01*AUX2(4,1) + 205355939652300*AUX2(7,1)
2 1.711838215100D-01*AUX2(6,1)
? = 2D
GO TO (45,65,85), ISW1
C   C   C   C   C   C   C   C   C   C   C   C   C   C   C   C   C   C
C   295 NORT = ~ 1
300 IF (N = ~) 315,305,315
C   N = B CAUSES THE ROWS OF AUX TO CHANGE THEIR STORAGE LOCATIONS
C   305 DO 310 N=2,7
DO 310 N=2,7
AUX1(N-1,1) = AUX1(N,1)
AUX2(N-1,1) = AUX2(N,1)
AUX1(N+6,1) = AUX1(N+5,1)
AUX2(N+6,1) = AUX2(N+5,1)
310 N = ?
315 N = N + 1
C   COMPUTATION OF NEXT VECTOR Y
C   DO 320 I=1,N
X1 = AUX1(1+N-1,1) + 1.3333333333333004H*(AUX1(1+N+6,1)*AUX1(1+N+6,1)-
AUX2(1+N-1,1) + AUX1(1+N+5,1) + AUX1(1+N+4,1) + AUX1(1+N+3,1)-
AUX2(1+N-1,1) + 0.933333333332200H*AUX2(1+N+6,1)*AUX2(1+N+5,1)-
1  AUX1(1+N-1,1) * AUX2(1+N+6,1) + AUX2(1+N+5,1) + AUX2(1+N+4,1)-
1  Y1(1) = X1-9.25E193541074380-01*AUX1(1,1)
Y2(1) = X2-9.25E193471074380-01*AUX2(1,1)
AUX1(1,1) = X1
AUX2(1,1) = X2
330 AUX2(1,1) = X2
C   PREDICTOR IS NOW GENERATED IN ROW 15 OF AUX. MODIFIED PREDICTOR
C   IS GENERATED IN Y. X1 AND X2 ARE AUXILIARY STORAGE.
C   15M2 = 9
GO TO 1
C   DERIVATIVE OF MODIFIED PREDICTOR IS GENERATED IN DY
C   335 DO 340 I=1,8
X1 = C1250U*(19.000*AUX1(N-1,1) + AUX1(N+5,1)) + 3.0000H*(DY1(1))
1  AUX1(N+6,1) + AUX1(N+5,1) - AUX2(N-1,1) + 3.0000H*(DY2(1))
X2 = C1250D*(19.000*AUX2(N-1,1) - AUX2(N+5,1)) + 3.0000H*(DY2(1))
1  AUX1(15,1) + AUX2(15,1) - X1
AUX2(15,1) = AUX1(15,1) - X1
Y1(1) = X1 + 7.4380165228256200-G2*AUX1(15,1)
Y2(1) = X2 + 7.4380165228256200-G2*AUX2(15,1)
340 DEL1 = 0.000
DEL1 = 0.345 1e-78
DEL1 = DEL1*0.125D0*DAB5(AUX1(15,1))
345 0.6172 = DEL12 + 0.125D0*DAB5(AUX2(15,1))
00 350 N=1,B
LL = N - B
HS1 = 0.000
HS2 = 0.000
DD 349 L = 1,6
LL = LL + B
HS1 = HS1 + WILL1*YL1
HS2 = HS2 + WILL2*YL1
349 DYL1 = HS1
350 DYL2 = HS2
NORT = 4#RT + 1
IF (NORT,NE,-4) GO TO 360
CALL BRAIN
NORT = 0
350 X1 = 2 - HEIGHT1*STEP1
IF (DAB5(X1) - 1.0D-06) 365,365,300
C   N WILL BE DOUBLED
C   365 Z = HEIGHT1*STEP1
N = N + 4
DD 370 K = 1,8
AUX1(1,1) = AUX1(6,1)
AUX2(1,1) = AUX2(6,1)
AUX1(5,1) = AUX1(4,1)
AUX2(5,1) = AUX2(4,1)
AUX1(6,1) = AUX1(2,1)
AUX2(6,1) = AUX2(2,1)
AUX1(5,1) = AUX1(3,1)
AUX2(5,1) = AUX2(3,1)
AUX1(1,1) = AUX1(1,1)
AUX2(1,1) = AUX2(1,1)
AUX1(13,1) = AUX1(13,1)
AUX2(13,1) = AUX2(13,1)
AUX1(12,1) = AUX1(9,1)
AUX2(12,1) = AUX2(9,1)
X1 = AUX1(4,1) + GS1(113,1)
X2 = AUX2(4,1) + GS2(113,1)
X1*X2*X3
X2 = X2 + X2 + X2
AUX1(15,1) = 8.9429629629629630H*(Y1(1) - AUX1(5,1))
1 3.3411111111111111100**H*DY1(1) + X1 + AUX1(12,1)
370 AUX2(15,1) = 8.9469869826276300**H*DY2(1) - AUX2(5,1)
1 3.36111111111100**H*DY2(1) + X2 + AUX2(12,1)
1 STEP = 1STEP + 1
GO TO 300
500 RETURN
END

```

```

C SUBROUTINE MATRIX
C
C      REAL * 8 DEP, DLOG, DCOS, DSIN, DSQRT, DMAT, DMINI, DABBS, CDABBS
C      COMPLF = 16.0F0, CPHI, CBORI, DCPLS, DCORI, DEPLS, DECORI
C      REAL * 8 Y180, V2TRI, BY3, BY10Y2, BY11, BY115, BY1, AUX2[15, 8], WEIGHT[20, 1]
C      1  ASTRAL, MENT, STEP, Z, DELT1, DELT2, HEAD, STEP, Z, DELT1
C      COMMON/USAYF/ Y, XAY, YAY, AL, AH, AN, C, CA, ED, SS, SA, SU, FREQ
C      COMMON/PRKZL/Y, YAY, YAZ, AL, AN, C, CA, ED, SS, SA, SU, FREQ
C      COMPLEX/MAG/AL001, DENS1001, COLFRE(100)
C      COMMON/TAY/TAY1, DEN1, COLFRE
C      REAL * 8 VTK1, PLT, PLASTX
C      COMMON/PRF/ PLT, PLASTX
C      REAL * 8 PHANG, A1M, DIP, JZ, N1, N2, N3, N4, N5, N6, N7, N8, N9, N10, N11, N12, N13, N14, N15, N16, N17, N18, N19, N20, N21, N22, N23, N24, N25, N26, N27, N28, N29, N30, N31, N32, N33, N34, N35, N36, N37, N38, N39, N40, N41, N42, N43, N44, N45, N46, N47, N48, N49, N50, N51, N52, N53, N54, N55, N56, N57, N58, N59, N60, N61, N62, N63, N64, N65, N66, N67, N68, N69, N70, N71, N72, N73, N74, N75, N76, N77, N78, N79, N80, N81, N82, N83, N84, N85
C      COMPLEX/16/ALPHA, RI, R2, R3, R4, R5, R6, R7, R8, R9, R10, R11, R12, R13, R14, R15, R16, R17, R18, R19, R20, R21, R22, R23, R24, R25, R26, R27, R28, R29, R30, R31, R32, R33, R34, R35, R36, R37, R38, R39, R40, R41, R42, R43, R44, R45, R46, R47, R48, R49, R50, R51, R52, R53, R54, R55, R56, R57, R58, R59, R60, R61, R62, R63, R64, R65, R66, R67, R68, R69, R70, R71, R72, R73, R74, R75, R76, R77, R78, R79, R80, R81, R82, R83, R84, R85
C      IF (Z < GT, -PLASTX) GO TO 1
C      RETURN
C      1  IF (Z - ZAXIS(MAT1)) .5, 10, 15
C      5  NEAT = NRAT - 1
C      GO TO 1
C      10  EDENS = EXP(DENS1001/MAT1)
C      FCOL = EXP(CPLFRE(MAT1))
C      GO TO 20
C
C      15  MA = (ZAXIS(MAT1) - Z/ZAXIS(MAT1)) - 2*Z(X514)
C      EDENS = DENS(MAT1) + A(DENS(MAT1)) - DENS(MAT1)
C      FCOL = COLFRE(MAT1) + A(COLFRE(MAT1)) - COLFRE(MAT1)
C      ELDENS = EXP(EDENS)
C      FCOL = EXP(FCOL)
C
C      20  XA = FATT*ELDENS
C      ZA = FCOL*FCOL
C      WA = 1.0D0 - A(ZA)
C      ALPHA = XA*DENS*ZA - Y180*Z2 - XAY*(U4*Z2 - VA2*Z2)
C      B1 = XAY*VTK1/ALPHA
C      B2 = XAY*VTK2/ALPHA
C      B3 = XAY*VTK3/ALPHA
C      B4 = XAY*VTK4/ALPHA
C      B5 = XAY*VTK5/ALPHA
C      MATRIX T IS COLUMNWISE STORED

```

```

      SUBROUTINE BRAIN
      REAL*8 DFP,DLOG,DCOS,TANH,DABS,COSB
      COMPLEX*16 CDFK,P,CBLOG,CDOSRT,DCOMPLX,BDNG
      REAL*8 YY,YYI,YYZ,AL,AK,AN,C,CA,CD,S,SA,SB,FREQ
      COMMON/BRAY/YY,YYI,YYZ,AL,AK,AN,C,CA,CD,S,SA,SB,FREQ
      COMPLEX*16 AI
      COMMON/IMAG/AI
      REAL*8 YY1,B1,Y21(1),DY2,B1,DX1(1),B1,AUX1(15,8),HEIGHT(20),
      1 HSTART,END,STEP,I,DELT1,DELT2
      COMMON/USARY/YY1,DY1,DY2,AUX1,AUX2,HEIGHT,HSTART,END,STEP,Z,DELT1
      1 ,DELT2
      COMPLEX*8 E1(*,21),F1(*,21),DE1(*,21),DE2(*,21),ADRT1(2)
      COMPLEX*8 F1A(*,21),F1B(*,21),M,DIP
      COMPLEX*8 F1A1(*,21),F1B1(*,21),M,DIP
      COMMON/CANDA/FLANG,A1M,DIP,JZ,MARINA,KTRN,KSTOP
      DIMENSION ERKRN(15),FADR21(15),SCALE150,AL1121
      READ*# TEST1,TEST2,BNDW
      COMPLEX*16 ADRN,EC,C,HELP,C,F1(*,1),F2(*,4),DF1(4),DF2(4),CRT
      COMMON/OUTP/NSCALE,ERRDR1,ERRDR2,AKT
      COMMON/OUTP/NSCALE,ERRDR1,ERRDR2,AKT

      C
      C
      TEST1 = 0.5*DD0*0.5*SQRT(Y111)*#2 + Y115)*#2 + Y113)*#2 + Y117)*#2
      IF (TEST1.LT.1.0D0) GO TO 5
      DO 1 J=1,6
      Y111 = Y111*1.0D-03
      0.111 = DY111*1.0D-03
      DO 1 J=1,15
      ADRT1(J,1) = AUX1(J,1)*1.0D-03
      1 NA = NA + 1
      NSCAL1(NA) = 2
      C
      C
      J2 = JZ + 1
      IF(JZ.GT.1) JZ=2
      A1(JZ) = 7
      17 (ERKRN,NF=4) GO TO 7
      17 (ERKRN,NF=4) GO TO 7
      PSTM 100, Y2(1),Y2(5),Y2(3),Y2(7),Y2(11)-DEL1,DEL2,TEST1,TEST2
      100 FIRMAT(E15,5)
      17 ST12 = 0.5*DD0*DSQR((Y2(1))*#2 + Y2(5))*#2 + Y2(3))*#2 + Y2(7))*#2
      ERKRN(JZ) = DELT1*TEST1
      ERKRN(2,JZ) = DELT2*TEST2
      7 ANDR = 0.0D0 + A1*0.0D0
      10 ID = 1*4
      L111 = Y111 + A1*Y111*#4
      F111 = D111 * A1*D111 + A1*D111*#4
      I111 = Y2(1) + A1*Y2(1)*#4
      D211 = D2(1) + A1*D2(1) + A1*D2(1)*#4
      K112JZ = F111
      DEL11,J11 = F111
      DEL11,J11 = F111
      E1C = Y111 - A1*Y111*#4
      ANDR = ANDR + E1C*2*11
      10 DENDR = BENDN + Y111*Y111 + Y111*Y111*#4
      CRT = -ANDR/DENDR
      10

```



```

TV = TP* SORTINGF

C   FIRST SET OF INPUTS - REFLECTION COEFFICIENTS
C   TRANSMISSION COEFFICIENTS
C   POLARIZATIONS

C   PRINT 100, TP, TH, TV
C   PRINT 200, HPRN, PREM
C   PRINT 300, PPRP, PREM

C   COMPUTATION OF CHENEY'S REFLECTION COEFFICIENTS

C   Delta = UPX2*UPY1 - UPX1*UPY2
A11 = CC*UPY2 + SS*UPX2
A12 = CC*UPY1 + SS*UPX1
A21 = CC*UPX2 - SS*UPY2
A22 = CC*UPX1 - SS*UPY1
R11 = CC*OBY1 * SS*OBY1
R12 = CC*OBY1 * SS*OBY1
R21 = CC*OBY2 * SS*OBY2
R22 = CC*OBY2 + SS*OBY2

TRT = 412*B21 - A11*B11*DELTA
TPR = 412*B22 - A11*B11*DELTA
PRI = 412*B21 - A11*B11*VOLTA
PRP = 412*B22 - A11*B11/DELTA

C   TRANSREALITY
C   TRT = A11*B11*DELTA
C   TPR = A11*B11*VOLTA
C   PRI = A11*B11*DELTA
C   PRP = A11*B11/DELTA

PAPERFAIRPREP
PAPERFAIRPRINT
PAPERFAIRPRINT
ABSTRT = CANTPRINT
ABSTRP = CANTPRINT
ABSPRT = CANTPRINT
ABSPRP = CANTPRINT
PRINT 400, TRT, PRI, ABSTRT, TRP, PRP, ABSPRT, ABSPRP
RETURN
END

```

```

C      70 IF (NLT,FIRST) GO TO 25
C      C      SET UP INITIAL VALUES.
C      C      DIMENSION X(10),Y(10)
C      COMMON RM,MASS,RADRA,GRAD,NUM,FAC,MODE,FIRST,STOP,PLOT,GFO
C      COMMON R,MASS,RADRA,GRAD,NUM,FAC,MODE,FIRST,STOP,PLOT,GFO
C      REAL MASS
C      LOGICAL FIRST,SKP,STOP,PLOT
C      FORMAT (I10.2,I10.2)   FORMAT (E10.2,E10.2)   FORMAT (E10.2,E10.2)
C      11 DEGREE5/7,  FREQUENCY =*,F10.2+, KM2 /J+
C      2*,F10.2,* INPUT LATITUDE =,F10.2/J+
C      KONE672.0
C      MASS=186.0
C      RADGRA=37.29575
C      GRAD=0.745329E-02
C      MODE = 2
C      SKP = .FALSE.
C      KOUNT = 1
C      N = 6
C      READ (5,1,END=200) FRL,GFO,45SB,PREL,WEIGHT,MOD12,WEIGHT
C      WRITE (6,5) FRL,WEIGHT,MOD12,WEIGHT,MOD12
C      STOP=.FALSE.
C      FRAST=.TRUE.
C      X0121=X(0,0)-X(12)*XGRAD
C      X0121=0.0
C      X0141 = 0.0
C      X0151=0.0
C      X0161 = 0.0
C      YGEND11 = 500.
C      TGEND11 = 180.
C      TGEND151 = 30.0
C      TGEND11=TEEND11+80
C      TEEND12=TEEND11+80
C      DELTAXDE1A=GRAD
C      TINIT=0.0
C      HMMNSQR=1/FAC
C      CALL ADAMS IN,TINIT,YGEND11,KOUNT,RELB,A5SB,SKP,XG1
C      500 CALL EXIT
C      C      END OF MAIN PROGRAM.
C      END
C      SUBROUTINE ADAMS (N,INIT,TEND,M,KMNT,RELB,A5SB,SKP,XG1)
C      C      ADAMS PREDICTOR-CORRECTOR SUBROUTINE.
C      C      DIMENSION X(10),Y(10),X1B,S1,T1B,S1,T1B,AK11,AK151
C      COMMON RM,MASS,RADRA,GRAD,NUM,FAC,MODE,FIRST,STOP,PLOT,GFO
C      COMMON FESCA,PB,5
C      REAL MASS
C      LOGICAL FIRST,SKP,STOP,PLOT

```

```

991 COMPUTE
    TINITI
    910 IF (TTEMP-KOUNT) >21,870,870
    921 CONTINUE
    T=H
    930 CALL FUNCTY(P11,J1,1310)
    C TEST WHETHER COMPUTED VALUES SHOULD BE PRINTED OUT.
    C BEGIN ANDS METHOD.
    X=KTEMP+P11
    KTEMP=P11
    GO TO 1200

1160 J=S
    CALL ESC(J)
    IF (P11,J1,1310) .EQ. (P11,J1,1310) AND P12,J1,1310
    X=1211.0R,P11,J1,1310,0) GO TO 1350
    IF (STOP) GO TO 1350
    1190 KTEMP=0
    GO TO 1201 J=1,N
    X01J=P11,J1,1310
    1201 CONTINUE
    TINITI=T
    1200 IF (TTEMP-KOUNT) >40,1160,1160
    C TEST WHETHER THE INTERVAL CAN BE DOUBLED.
    C P0 IS PREDICTOR VALUE.
    C P1 IS THE CORRECTOR VALUE.
    940 DU 960 I=1,A
    XPI1=1.5*P11,J1,1310+3.0*P11,J1,1310+35.0*P11,J1,1310-
    159.0*P11,J1,3+3.0*P11,J1,2-9.0*P11,J1,1
    960 CONTINUE
    T=F/H
    CALL FUNCTY(P11,J1,1310)
    C TEST WHETHER THE INTERVAL CAN BE DOUBLED.
    C P0 IS THE CORRECTOR VALUE.
    C P1 IS THE PREDICTOR VALUE.
    DU 1010 T=N
    P11,5+P11,4+P11,3+P11,2+P11,1
    P11,5+P11,4+P11,3+P11,2+P11,1
    1010 CONTINUE
    IF (TSKIP) GO TO 1040
    1030 J=5
    GO TO 1120 I=1,N
    P11,4+P11,3+P11,2+P11,1
    DU 1120 J=2,5
    P11,4+P11,3+P11,2+P11,1
    1120 CONTINUE
    IF (TSKIP) GO TO 930
    C TEST WHETHER THE INTERVAL CAN BE DOUBLED.
    1210 CONTINUE
    IF (T>13-D8) 1240,1240,320
    1240 1270 I=1,N
    P11,1=I,I
    1250 CONTINUE
    WRITE 16,1291 H
    1291 FFORMAT=1,T1000,2H+,E11.4

370 CALL ESC(J)
    IF (P11,J1,1310) .EQ. (P11,J1,1310) AND P12,J1,1310
    X=1211.0R,P11,J1,1310,0) GO TO 1350
    IF (STOP) GO TO 1350
    900 KTEMP=0
    GO TO 901 J=1,N
    X01J=P11,J1,1310

```



```

      SUBROUTINE DEVSIRCLAT(ND,ALPHA,RL,RH,Y,GL,WOT)
      COMMON/RDASS/RDGRA,GRAD,ADM,FRC,MODE,FIRST,STOP,PLOT,GFO
      COMMON/PDATA/LILAT,C,ESENS,MENR,MDY1,MDY2,ND16
      DIMENSION ALPHAL(ND),MDY1(6),MDY2(6),ND16
      REAL R1,R2,R3,R4,R5,R6,R7,R8,R9,R10
      LOGICAL FIRST,STOP,PLOT
      IF(I.NG).NOT.IFIRST GO TO 10
      NDIM = 3
      RFDAG = 100.0*MM*HT*MGR, NR=NR120, PDX,PNE,PHYD,MDEN,MLAT
      FORMAT(1SF10.2,1SF9.2,1I2)
      RH = RH + RD
      RT = HT + RD
      B = RD/RT
      A1 = -RD*HT/G - 0.17402
      A2 = 0.25*A1
      A3 = 0.25*A2
      A4 = 0.25*A3
      A5 = 0.25*A4
      A6 = 0.25*A5
      A7 = 0.25*A6
      A8 = 0.25*A7
      A9 = 0.25*A8
      A10 = 0.25*A9
      A11 = 0.25*A10
      A12 = 0.25*A11
      A13 = 0.25*A12
      A14 = 0.25*A13
      A15 = 0.25*A14
      A16 = 0.25*A15
      A17 = 0.25*A16
      A18 = 0.25*A17
      A19 = 0.25*A18
      A20 = 0.25*A19
      A21 = 0.25*A20
      A22 = 0.25*A21
      A23 = 0.25*A22
      A24 = 0.25*A23
      A25 = 0.25*A24
      A26 = 0.25*A25
      A27 = 0.25*A26
      A28 = 0.25*A27
      A29 = 0.25*A28
      A30 = 0.25*A29
      A31 = 0.25*A30
      A32 = 0.25*A31
      A33 = 0.25*A32
      A34 = 0.25*A33
      A35 = 0.25*A34
      A36 = 0.25*A35
      A37 = 0.25*A36
      A38 = 0.25*A37
      A39 = 0.25*A38
      A40 = 0.25*A39
      A41 = 0.25*A40
      A42 = 0.25*A41
      A43 = 0.25*A42
      A44 = 0.25*A43
      A45 = 0.25*A44
      A46 = 0.25*A45
      A47 = 0.25*A46
      A48 = 0.25*A47
      A49 = 0.25*A48
      A50 = 0.25*A49
      A51 = 0.25*A50
      A52 = 0.25*A51
      A53 = 0.25*A52
      A54 = 0.25*A53
      A55 = 0.25*A54
      A56 = 0.25*A55
      A57 = 0.25*A56
      A58 = 0.25*A57
      A59 = 0.25*A58
      A60 = 0.25*A59
      A61 = 0.25*A60
      A62 = 0.25*A61
      A63 = 0.25*A62
      A64 = 0.25*A63
      A65 = 0.25*A64
      A66 = 0.25*A65
      A67 = 0.25*A66
      A68 = 0.25*A67
      A69 = 0.25*A68
      A70 = 0.25*A69
      A71 = 0.25*A70
      A72 = 0.25*A71
      A73 = 0.25*A72
      A74 = 0.25*A73
      A75 = 0.25*A74
      A76 = 0.25*A75
      A77 = 0.25*A76
      A78 = 0.25*A77
      A79 = 0.25*A78
      A80 = 0.25*A79
      A81 = 0.25*A80
      A82 = 0.25*A81
      A83 = 0.25*A82
      A84 = 0.25*A83
      A85 = 0.25*A84
      A86 = 0.25*A85
      A87 = 0.25*A86
      A88 = 0.25*A87
      A89 = 0.25*A88
      A90 = 0.25*A89
      A91 = 0.25*A90
      A92 = 0.25*A91
      A93 = 0.25*A92
      A94 = 0.25*A93
      A95 = 0.25*A94
      A96 = 0.25*A95
      A97 = 0.25*A96
      A98 = 0.25*A97
      A99 = 0.25*A98
      A100 = 0.25*A99
      A101 = 0.25*A100
      A102 = 0.25*A101
      A103 = 0.25*A102
      A104 = 0.25*A103
      A105 = 0.25*A104
      A106 = 0.25*A105
      A107 = 0.25*A106
      A108 = 0.25*A107
      A109 = 0.25*A108
      A110 = 0.25*A109
      A111 = 0.25*A110
      A112 = 0.25*A111
      A113 = 0.25*A112
      A114 = 0.25*A113
      A115 = 0.25*A114
      A116 = 0.25*A115
      A117 = 0.25*A116
      A118 = 0.25*A117
      A119 = 0.25*A118
      A120 = 0.25*A119
      A121 = 0.25*A120
      A122 = 0.25*A121
      A123 = 0.25*A122
      A124 = 0.25*A123
      A125 = 0.25*A124
      A126 = 0.25*A125
      A127 = 0.25*A126
      A128 = 0.25*A127
      A129 = 0.25*A128
      A130 = 0.25*A129
      A131 = 0.25*A130
      A132 = 0.25*A131
      A133 = 0.25*A132
      A134 = 0.25*A133
      A135 = 0.25*A134
      A136 = 0.25*A135
      A137 = 0.25*A136
      A138 = 0.25*A137
      A139 = 0.25*A138
      A140 = 0.25*A139
      A141 = 0.25*A140
      A142 = 0.25*A141
      A143 = 0.25*A142
      A144 = 0.25*A143
      A145 = 0.25*A144
      A146 = 0.25*A145
      A147 = 0.25*A146
      A148 = 0.25*A147
      A149 = 0.25*A148
      A150 = 0.25*A149
      A151 = 0.25*A150
      A152 = 0.25*A151
      A153 = 0.25*A152
      A154 = 0.25*A153
      A155 = 0.25*A154
      A156 = 0.25*A155
      A157 = 0.25*A156
      A158 = 0.25*A157
      A159 = 0.25*A158
      A160 = 0.25*A159
      A161 = 0.25*A160
      A162 = 0.25*A161
      A163 = 0.25*A162
      A164 = 0.25*A163
      A165 = 0.25*A164
      A166 = 0.25*A165
      A167 = 0.25*A166
      A168 = 0.25*A167
      A169 = 0.25*A168
      A170 = 0.25*A169
      A171 = 0.25*A170
      A172 = 0.25*A171
      A173 = 0.25*A172
      A174 = 0.25*A173
      A175 = 0.25*A174
      A176 = 0.25*A175
      A177 = 0.25*A176
      A178 = 0.25*A177
      A179 = 0.25*A178
      A180 = 0.25*A179
      A181 = 0.25*A180
      A182 = 0.25*A181
      A183 = 0.25*A182
      A184 = 0.25*A183
      A185 = 0.25*A184
      A186 = 0.25*A185
      A187 = 0.25*A186
      A188 = 0.25*A187
      A189 = 0.25*A188
      A190 = 0.25*A189
      A191 = 0.25*A190
      A192 = 0.25*A191
      A193 = 0.25*A192
      A194 = 0.25*A193
      A195 = 0.25*A194
      A196 = 0.25*A195
      A197 = 0.25*A196
      A198 = 0.25*A197
      A199 = 0.25*A198
      A200 = 0.25*A199
      A201 = 0.25*A200
      A202 = 0.25*A201
      A203 = 0.25*A202
      A204 = 0.25*A203
      A205 = 0.25*A204
      A206 = 0.25*A205
      A207 = 0.25*A206
      A208 = 0.25*A207
      A209 = 0.25*A208
      A210 = 0.25*A209
      A211 = 0.25*A210
      A212 = 0.25*A211
      A213 = 0.25*A212
      A214 = 0.25*A213
      A215 = 0.25*A214
      A216 = 0.25*A215
      A217 = 0.25*A216
      A218 = 0.25*A217
      A219 = 0.25*A218
      A220 = 0.25*A219
      A221 = 0.25*A220
      A222 = 0.25*A221
      A223 = 0.25*A222
      A224 = 0.25*A223
      A225 = 0.25*A224
      A226 = 0.25*A225
      A227 = 0.25*A226
      A228 = 0.25*A227
      A229 = 0.25*A228
      A230 = 0.25*A229
      A231 = 0.25*A230
      A232 = 0.25*A231
      A233 = 0.25*A232
      A234 = 0.25*A233
      A235 = 0.25*A234
      A236 = 0.25*A235
      A237 = 0.25*A236
      A238 = 0.25*A237
      A239 = 0.25*A238
      A240 = 0.25*A239
      A241 = 0.25*A240
      A242 = 0.25*A241
      A243 = 0.25*A242
      A244 = 0.25*A243
      A245 = 0.25*A244
      A246 = 0.25*A245
      A247 = 0.25*A246
      A248 = 0.25*A247
      A249 = 0.25*A248
      A250 = 0.25*A249
      A251 = 0.25*A250
      A252 = 0.25*A251
      A253 = 0.25*A252
      A254 = 0.25*A253
      A255 = 0.25*A254
      A256 = 0.25*A255
      A257 = 0.25*A256
      A258 = 0.25*A257
      A259 = 0.25*A258
      A260 = 0.25*A259
      A261 = 0.25*A260
      A262 = 0.25*A261
      A263 = 0.25*A262
      A264 = 0.25*A263
      A265 = 0.25*A264
      A266 = 0.25*A265
      A267 = 0.25*A266
      A268 = 0.25*A267
      A269 = 0.25*A268
      A270 = 0.25*A269
      A271 = 0.25*A270
      A272 = 0.25*A271
      A273 = 0.25*A272
      A274 = 0.25*A273
      A275 = 0.25*A274
      A276 = 0.25*A275
      A277 = 0.25*A276
      A278 = 0.25*A277
      A279 = 0.25*A278
      A280 = 0.25*A279
      A281 = 0.25*A280
      A282 = 0.25*A281
      A283 = 0.25*A282
      A284 = 0.25*A283
      A285 = 0.25*A284
      A286 = 0.25*A285
      A287 = 0.25*A286
      A288 = 0.25*A287
      A289 = 0.25*A288
      A290 = 0.25*A289
      A291 = 0.25*A290
      A292 = 0.25*A291
      A293 = 0.25*A292
      A294 = 0.25*A293
      A295 = 0.25*A294
      A296 = 0.25*A295
      A297 = 0.25*A296
      A298 = 0.25*A297
      A299 = 0.25*A298
      A300 = 0.25*A299
      A301 = 0.25*A300
      A302 = 0.25*A301
      A303 = 0.25*A302
      A304 = 0.25*A303
      A305 = 0.25*A304
      A306 = 0.25*A305
      A307 = 0.25*A306
      A308 = 0.25*A307
      A309 = 0.25*A308
      A310 = 0.25*A309
      A311 = 0.25*A310
      A312 = 0.25*A311
      A313 = 0.25*A312
      A314 = 0.25*A313
      A315 = 0.25*A314
      A316 = 0.25*A315
      A317 = 0.25*A316
      A318 = 0.25*A317
      A319 = 0.25*A318
      A320 = 0.25*A319
      A321 = 0.25*A320
      A322 = 0.25*A321
      A323 = 0.25*A322
      A324 = 0.25*A323
      A325 = 0.25*A324
      A326 = 0.25*A325
      A327 = 0.25*A326
      A328 = 0.25*A327
      A329 = 0.25*A328
      A330 = 0.25*A329
      A331 = 0.25*A330
      A332 = 0.25*A331
      A333 = 0.25*A332
      A334 = 0.25*A333
      A335 = 0.25*A334
      A336 = 0.25*A335
      A337 = 0.25*A336
      A338 = 0.25*A337
      A339 = 0.25*A338
      A340 = 0.25*A339
      A341 = 0.25*A340
      A342 = 0.25*A341
      A343 = 0.25*A342
      A344 = 0.25*A343
      A345 = 0.25*A344
      A346 = 0.25*A345
      A347 = 0.25*A346
      A348 = 0.25*A347
      A349 = 0.25*A348
      A350 = 0.25*A349
      A351 = 0.25*A350
      A352 = 0.25*A351
      A353 = 0.25*A352
      A354 = 0.25*A353
      A355 = 0.25*A354
      A356 = 0.25*A355
      A357 = 0.25*A356
      A358 = 0.25*A357
      A359 = 0.25*A358
      A360 = 0.25*A359
      A361 = 0.25*A360
      A362 = 0.25*A361
      A363 = 0.25*A362
      A364 = 0.25*A363
      A365 = 0.25*A364
      A366 = 0.25*A365
      A367 = 0.25*A366
      A368 = 0.25*A367
      A369 = 0.25*A368
      A370 = 0.25*A369
      A371 = 0.25*A370
      A372 = 0.25*A371
      A373 = 0.25*A372
      A374 = 0.25*A373
      A375 = 0.25*A374
      A376 = 0.25*A375
      A377 = 0.25*A376
      A378 = 0.25*A377
      A379 = 0.25*A378
      A380 = 0.25*A379
      A381 = 0.25*A380
      A382 = 0.25*A381
      A383 = 0.25*A382
      A384 = 0.25*A383
      A385 = 0.25*A384
      A386 = 0.25*A385
      A387 = 0.25*A386
      A388 = 0.25*A387
      A389 = 0.25*A388
      A390 = 0.25*A389
      A391 = 0.25*A390
      A392 = 0.25*A391
      A393 = 0.25*A392
      A394 = 0.25*A393
      A395 = 0.25*A394
      A396 = 0.25*A395
      A397 = 0.25*A396
      A398 = 0.25*A397
      A399 = 0.25*A398
      A400 = 0.25*A399
      A401 = 0.25*A400
      A402 = 0.25*A401
      A403 = 0.25*A402
      A404 = 0.25*A403
      A405 = 0.25*A404
      A406 = 0.25*A405
      A407 = 0.25*A406
      A408 = 0.25*A407
      A409 = 0.25*A408
      A410 = 0.25*A409
      A411 = 0.25*A410
      A412 = 0.25*A411
      A413 = 0.25*A412
      A414 = 0.25*A413
      A415 = 0.25*A414
      A416 = 0.25*A415
      A417 = 0.25*A416
      A418 = 0.25*A417
      A419 = 0.25*A418
      A420 = 0.25*A419
      A421 = 0.25*A420
      A422 = 0.25*A421
      A423 = 0.25*A422
      A424 = 0.25*A423
      A425 = 0.25*A424
      A426 = 0.25*A425
      A427 = 0.25*A426
      A428 = 0.25*A427
      A429 = 0.25*A428
      A430 = 0.25*A429
      A431 = 0.25*A430
      A432 = 0.25*A431
      A433 = 0.25*A432
      A434 = 0.25*A433
      A435 = 0.25*A434
      A436 = 0.25*A435
      A437 = 0.25*A436
      A438 = 0.25*A437
      A439 = 0.25*A438
      A440 = 0.25*A439
      A441 = 0.25*A440
      A442 = 0.25*A441
      A443 = 0.25*A442
      A444 = 0.25*A443
      A445 = 0.25*A444
      A446 = 0.25*A445
      A447 = 0.25*A446
      A448 = 0.25*A447
      A449 = 0.25*A448
      A450 = 0.25*A449
      A451 = 0.25*A450
      A452 = 0.25*A451
      A453 = 0.25*A452
      A454 = 0.25*A453
      A455 = 0.25*A454
      A456 = 0.25*A455
      A457 = 0.25*A456
      A458 = 0.25*A457
      A459 = 0.25*A458
      A460 = 0.25*A459
      A461 = 0.25*A460
      A462 = 0.25*A461
      A463 = 0.25*A462
      A464 = 0.25*A463
      A465 = 0.25*A464
      A466 = 0.25*A465
      A467 = 0.25*A466
      A468 = 0.25*A467
      A469 = 0.25*A468
      A470 = 0.25*A469
      A471 = 0.25*A470
      A472 = 0.25*A471
      A473 = 0.25*A472
      A474 = 0.25*A473
      A475 = 0.25*A474
      A476 = 0.25*A475
      A477 = 0.25*A476
      A478 = 0.25*A477
      A479 = 0.25*A478
      A480 = 0.25*A479
      A481 = 0.25*A480
      A482 = 0.25*A481
      A483 = 0.25*A482
      A484 = 0.25*A483
      A485 = 0.25*A484
      A486 = 0.25*A485
      A487 = 0.25*A486
      A488 = 0.25*A487
      A489 = 0.25*A488
      A490 = 0.25*A489
      A491 = 0.25*A490
      A492 = 0.25*A491
      A493 = 0.25*A492
      A494 = 0.25*A493
      A495 = 0.25*A494
      A496 = 0.25*A495
      A497 = 0.25*A496
      A498 = 0.25*A497
      A499 = 0.25*A498
      A500 = 0.25*A499
      A501 = 0.25*A500
      A502 = 0.25*A501
      A503 = 0.25*A502
      A504 = 0.25*A503
      A505 = 0.25*A504
      A506 = 0.25*A505
      A507 = 0.25*A506
      A508 = 0.25*A507
      A509 = 0.25*A508
      A510 = 0.25*A509
      A511 = 0.25*A510
      A512 = 0.25*A511
      A513 = 0.25*A512
      A514 = 0.25*A513
      A515 = 0.25*A514
      A516 = 0.25*A515
      A517 = 0.25*A516
      A518 = 0.25*A517
      A519 = 0.25*A518
      A520 = 0.25*A519
      A521 = 0.25*A520
      A522 = 0.25*A521
      A523 = 0.25*A522
      A524 = 0.25*A523
      A525 = 0.25*A524
      A526 = 0.25*A525
      A527 = 0.25*A526
      A528 = 0.25*A527
      A529 = 0.25*A528
      A530 = 0.25*A529
      A531 = 0.25*A530
      A532 = 0.25*A531
      A533 = 0.25*A532
      A534 = 0.25*A533
      A535 = 0.25*A534
      A536 = 0.25*A535
      A537 = 0.25*A536
      A538 = 0.25*A537
      A539 = 0.25*A538
      A540 = 0.25*A539
      A541 = 0.25*A540
      A542 = 0.25*A541
      A543 = 0.25*A542
      A544 = 0.25*A543
      A545 = 0.25*A544
      A546 = 0.25*A545
      A547 = 0.25*A546
      A548 = 0.25*A547
      A549 = 0.25*A548
      A550 = 0.25*A549
      A551 = 0.25*A550
      A552 = 0.25*A551
      A553 = 0.25*A552
      A554 = 0.25*A553
      A555 = 0.25*A554
      A556 = 0.25*A555
      A557 = 0.25*A556
      A558 = 0.25*A557
      A559 = 0.25*A558
      A560 = 0.25*A559
      A561 = 0.25*A560
      A562 = 0.25*A561
      A563 = 0.25*A562
      A564 = 0.25*A563
      A565 = 0.25*A564
      A566 = 0.25*A565
      A567 = 0.25*A566
      A568 = 0.25*A567
      A569 = 0.25*A568
      A570 = 0.25*A569
      A571 = 0.25*A570
      A572 = 0.25*A571
      A573 = 0.25*A572
      A574 = 0.25*A573
      A575 = 0.25*A574
      A576 = 0.25*A575
      A577 = 0.25*A576
      A578 = 0.25*A577
      A579 = 0.25*A578
      A580 = 0.25*A579
      A581 = 0.25*A580
      A582 = 0.25*A581
      A583 = 0.25*A582
      A584 = 0.25*A583
      A585 = 0.25*A584
      A586 = 0.25*A585
      A587 = 0.25*A586
      A588 = 0.25*A587
      A589 = 0.25*A588
      A590 = 0.25*A589
      A591 = 0.25*A590
      A592 = 0.25*A591
      A593 = 0.25*A592
      A594 = 0.25*A593
      A595 = 0.25*A594
      A596 = 0.25*A595
      A597 = 0.25*A596
      A598 = 0.25*A597
      A599 = 0.25*A598
      A600 = 0.25*A599
      A601 = 0.25*A600
      A602 = 0.25*A601
      A603 = 0.25*A602
      A604 = 0.25*A603
      A605 = 0.25*A604
      A606 = 0.25*A605
      A607 = 0.25*A606
      A608 = 0.25*A607
      A609 = 0.25*A608
      A610 = 0.25*A609
      A611 = 0.25*A610
      A612 = 0.25*A611
      A613 = 0.25*A612
      A614 = 0.25*A613
      A615 = 0.25*A614
      A616 = 0.25*A615
      A617 = 0.25*A616
      A618 = 0.25*A617
      A619 = 0.25*A618
      A620 = 0.25*A619
      A621 = 0.25*A620
      A622 = 0.25*A621
      A623 = 0.25*A622
      A624 = 0.25*A623
      A625 = 0.25*A624
      A626 = 0.25*A625
      A627 = 0.25*A626
      A628 = 0.25*A627
      A629 = 0.25*A628
      A630 = 0.25*A629
      A631 = 0.25*A630
      A632 = 0.25*A631
      A633 = 0.25*A632
      A634 = 0.25*A633
      A635 = 0.25*A634
      A636 = 0.25*A635
      A637 = 0.25*A636
      A638 = 0.25*A637
      A639 = 0.25*A638
      A640 = 0.25*A639
      A641 = 0.25*A640
      A642 = 0.25*A641
      A643 = 0.25*A642
      A644 = 0.25*A643
      A645 = 0.25*A644
      A646 = 0.25*A645
      A647 = 0.25*A646
      A648 = 0.25*A647
      A649 = 0.25*A648
      A650 = 0.25*A649
      A651 = 0.25*A650
      A652 = 0.25*A651
      A653 = 0.25*A652
      A654 = 0.25*A653
      A655 = 0.25*A654
      A656 = 0.25*A655
      A657 = 0.25*A656
      A658 = 0.25*A657
      A659 = 0.25*A658
      A660 = 0.25*A659
      A661 = 0.25*A660
      A662 = 0.25*A661
      A663 = 0.25*A662
      A664 = 0.25*A663
      A665 = 0.25*A664
      A666 = 0.25*A665
      A667 = 0.25*A666
      A668 = 0.25*A667
      A669 = 0.25*A668
      A670 = 0.25*A669
      A671 = 0.25*A670
      A672 = 0.25*A671
      A673 = 0.25*A672
      A674 = 0.25*A673
      A675 = 0.25*A674
      A676 = 0.25*A675
      A677 = 0.25*A676
      A678 = 0.25*A677
      A679 = 0.25*A678
      A680 = 0.25*A679
      A681 = 0.25*A680
      A682 = 0.25*A681
      A683 = 0.25*A682
      A684 =
```

```

SUBROUTINE PLASMA(F1,F2,F3);
REAL LLAT
COMMON RGMSS,RSER,RRD,RUN,FKC,MODE,FIRST,STOP,PLOT,GEO
LOGICAL FIRST
IF(.NOT.FIRST) GO TO 10
READ(1001,D11) SIG,RR,HO
WRITE(6,2001) D11,D13,SIG,RR,HO,R
SIG = SIGGRAD
10 LAT = 1.5707963*CLAT
CLAT = COSLAT
S = SINLAT
L = REFRACTC
T = L/SIN(L)
COSF = T
SINF = S*SIGN1(O-COSF)*COSF
F10 = ATAN(SINF/COSF)
A = F10/516
AA = -0.5*A
FN = D01*D11*EXP(1)
DNDFN = -(FN-G01)*F10/1516*516
X = DNDFN
2 = 0.5*RAD(1.0-Y/R0)
Z1 = -L/FN
Z2 = -L/FN
FH = EXP(Z1+Z2)
FL = FN*FH
U = 1.0/SIN(L-1.0)
U1 = 0.5*SIGN(R)
F2 = U1*X
U2 = -U1*S/C
F3 = U2*X
U3 = 2*X/FN
F3 = F3+U3*U3
Z2 = 1.0-LL.GEN1
U4 = 0.5*Z2*SIGN(R)
F2 = F2+U3*U4
C FORMATS
100 FORMATT55,0
200 FORMATT11,11,11,LATITUDINAL VARIATION GIVEN BY -"/" D01 =",F7.2,
* O1 =",F7.2, SIGMA =",F7.2, R0 =",F7.2, HO =",F7.2,
* R =",F7.2,/",/
30 RETURN
END

```

APÊNDICE C - Determinação da Distância entre Dois Pontos da Superfície Terrestre e do Ângulo Azimutal no Transmissor e Receptor.

A Terra é suposta uma esfera de raio $R_E = 6372$ Km. Para a determinação de distâncias e ângulos sobre esta esfera basta conhecer duas propriedades dos triângulos esféricos

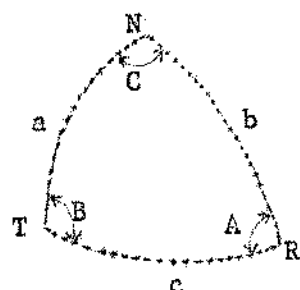
i) $\frac{\sin A}{\sin a} = \frac{\sin B}{\sin b} = \frac{\sin C}{\sin c}$ (lei dos senos)

ii) $\cos a = \cos b \cdot \cos c + \sin b \cdot \sin c \cdot \cos A$

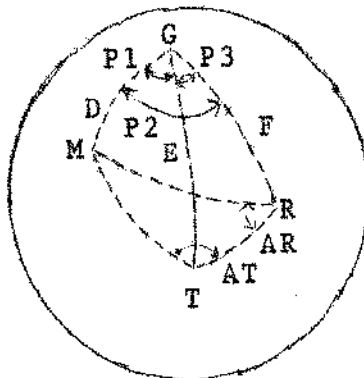
e análogamente para $\cos b$ e $\cos c$.

(lei dos cossenos)

onde os ângulos A , B , C e os lados a , b , c estão indicados no triângulo esférico NTR abaixo



Como estamos interessados na determinação da distância entre transmissor e receptor (no caso, ponto de penetração na baixa ionosfera) e do azimute magnético nestes pontos devemos usar a geometria da figura abaixo



onde $T \equiv$ transmissor, $R \equiv$ receptor, $G \equiv$ polo norte geográfico, $M \equiv$ polo norte magnético ($\phi_o = 78,3^\circ$, $\lambda_o = -69^\circ$).

Inicialmente conhecemos as latitudes e longitudes geográficas deste 4 pontos; os ângulos P_1 , P_2 e P_3 são determinados fazendo-se a diferença entre as longitudes correspondentes; os lados D , E e F (expressos em unidades de ângulo) são obtidos como complemento das latitudes dos pontos M , T e R respectivamente, pois estamos interessados em pontos T e R situados no hemisfério norte. Conhecendo-se P_1 , P_2 , P_3 , D , E , F podemos calcular os lados do triângulo MTD pela lei dos cossenos e, em seguida, obter os ângulos A_T e A_R . O ângulo correspondente ao lado TR (expresso em radianos) deve ser multiplicado pelo raio da Terra para se obter a distância entre transmissor e receptor. Os ângulos azimutais no transmissor (x_T) e no receptor (x_R) são iguais a A_T e A_R ou seus suplementos conforme a posição relativa destes dois pontos. Para verificar se estes ângulos são positivos ou negativos usamos a referência adotada na Fig. 9. O programa abaixo calcula a distância TR (em quilômetros) os ângulos A_T e A_R , a atenuação $\Gamma (= \Gamma_w)$ em decibeis e a posição relativa entre T e R (parâmetro ONDE).


```
32  CDSL = CDSL-F
    OUT = E,
    GO TO 34
33  CDSL = CDSL+F
    OUT = G,
    GO TO 34
34  AA = Q,
    MODE = 3,
    GO TO 26
35  BB = C2,
    OUT = 3,
    GO TO 26
36  GO TO 26
37  OUT = 3,
    GO TO 26
38  OUT = C ~ 10uG,
    AT = D*ALF2/100B,
    GO TO 50
39  STOP
40  ENO
```

```

C APLICAICE D
C CONVERSAO DE COORDENADAS GEOGRAFICAS PARA MAGNETICAS E
C VICE-VERSA - CALCULO DO ANGULO DIP. APROXIMACAO DO DIPOLO
C EXTERNO PARA O CAMPO MAGNETICO TERRRESTRE. ( VIDE CAP. II )
C
C REAL,LATM,MLAT,LMAT,LAMC
C PI=3.14159
C GRBHE=PI/180
C RDCOS=180./PI
C WRITE(15,100)
C READ(1,200) F1,L,A
C IF(F1<-99.,60,5,50)
C 60 FIG1=78.3
C FIG1=FIG1*54.6
C LAMC=LAM
C LAM=LAM-LAMC
C F1=F1*GRAD
C LAM=LAM*GRAD
C LATM=GRAD
C SIN(LATM)=SIN(LAT)*COS(LAM)+COS(LAT)*COS(LAM)*COS(F1)
C COS(LATM)=COS(LAT)*SIN(LAM)*COS(F1)
C IF(COS(LAM)<12.2*12
C 12 M1=MATM*SIN(F1)/COS(F1)
C 3 P1=MATM*ARCSIN(M1)
C XTAU1 = ARCSIN(P1)
C DIP = ARCSIN(XTAU1)
C IF(COS(XTAU1)<16.1*16
C 16 S1=MATM*ARCSIN(P1)
C COSTA1=COS(XTAU1)*SIN(LAM)/COS(F1)
C COSTA2=COS(XTAU1)*SIN(LAM)*COS(F1)
C IF(COS(XTAU1)>16.4*16
C 14 M1=MATM*SIN(F1)/COS(F1)
C 6 LAM=LAM-LAMC
C IF(SIN(XTAU1)>30.40*50
C 51 XTAU1 = PI*PI*GRAD
C XTAU1 = LAMC
C WRITE(15,300) M1,F1,XTAU1,DIP,LAMC
C SIN(F1)=SIN(F1)*COS(LAM)+COS(F1)*SIN(LAM)
C COS(F1)=COS(F1)*COS(LAM)-SIN(F1)*SIN(LAM)
C IF(COS(XTAU1)<17.7*17
C 17 RF1=ARCSIN(M1)/COS(F1)
C 20 SIN(F1)=M1*COS(F1)/COS(LAM)
C COS(F1)=SIN(F1)*COS(LAM)+COS(F1)*SIN(LAM)
C IF(COS(XTAU1)<19.5*19
C 19 X1=ARCSIN(M1)/COS(LAM)
C 10 RLA=X1+LAMC
C RF1=RF1*RUGR
C S1A=S1*A*RUGR
C WRITE(15,300) RF1,RLA
C GO TO 1
C M1=PI/2.
C GO TO 3
C 4 NLAMC=72.
C GO FG 6
C RF1=PI/2.
C GO TO 8
C EXP17.
C 7 RF1=PI/2.
C GO TO 10
C GO TO 10

```

R E F E R E N C I A S

BRICE, N.M., Discrete VLF emissions from the upper atmosphere, SEL-64-088. Radioscience Lab., Stanford Electronics Labs., Stanford Univ., 1964.

BUDDEN, K.G., Radio waves in the ionosphere. Cambridge University Press, London, 1966.

DEEKS, D.G., D - region electron distributions in middle latitudes deduced from the reflection of long radio waves. Proc. Roy. Soc. A, 291, 413, 1966a.

DEEKS, D.G., Generalized full wave theory for energy-dependent collision frequencies. J. Atmos. Terr. Phys., 28, 839, 1966b.

REDDY, B.M., BRACE, L.H. and FINDLAY, J.A., The ionosphere at 640 kilometers on quiet and disturbed days. J. Geophys. Res., 72, 2709, June 1967.

SCARABUCCI, R.R., Analytical and numerical treatment of wave propagation in the lower ionosphere, SEL-69-046. Radioscience Lab., Stanford Electronics Labs., Stanford Univ., August 1969a.

SCARABUCCI, R.R., Interpretation of VLF signals observed on the OGO-4 satellite, SEL-69-065. Radioscience Lab., Stanford Electronics Labs., Stanford University, October 1969b.

STIX, T.H., The theory of plasma waves. McGraw Hill Book Company, New York, 1962.

WAIT, J.R., Electromagnetic waves in stratified media. Pergamon Press, New York, 1964.

WAIT, J.R. and SPIES, K.P., Characteristics of the earth-ionosphere waveguide for VLF radio waves, Technical note n° 300. National Bureau of Standards, U.S. Department of Commerce, 1964.

WALTER, F., Nonducted VLF propagation in the magnetosphere, SEL-69-061. Radioscience Lab., Stanford Electronics Labs., Stanford University, Stanford, California, 1969.

YILMAZ, E., Effects of ions on whistler-mode ray tracing, Radio Science, March 1966.

DAVIES, A., Ionospheric radio propagation, National Bureau of Standards, Monograph 80, 1965.